

Departament de Prehistòria, Història Antiga i Arqueologia
Universitat de Barcelona

Programa de Doctorat:
Ciències de l'Antiguitat (bienni 2003-2005)

**Estudi arqueomètric i arqueològic de la
producció i difusió d'àmfores vinàries de la
zona central i sud de la costa catalana
durant els segles I aC i I dC**

Verònica Martínez Ferreras

Tesi Doctoral dirigida per:

Dr. Jaume Buxeda i Garrigós
Professor agregat d'Arqueologia

ANNEX 1

INVENTARI DE LES ÀMFORES

TAULA 1. INVENTARI DE LES ÀMFORES DE CA L'ARNAU (CABRERA DE MAR)

MOSTRA	TIPUS	PART	UE	Color de la matriu i altres observacions
ACM001	Pascual 1	vora	superficial	Fig. 7.9: Pasta marró rosat
ACM002	Pascual 1	vora	superficial	Fig. 7.9: Pasta marró rosat
ACM003	Tarrac. 1E	vora	superficial	Fig. 7.9: Pasta ataronjada <i>sandvitx</i>
ACM004	Tarrac. 1D	vora	superficial	Fig. 7.8: Pasta vermella ataronjada
ACM005	Pascual 1	vora	superficial	Fig. 7.9: Pasta vermella ataronjada
ACM006	Pascual 1	vora	superficial	Fig. 7.9: Pasta marró rosat
ACM007	Pasc. 1/Tar. 1E	vora	superficial	Fig. 7.9: Pasta vermella ataronjada
ACM008	Pascual 1	vora	superficial	Fig. 7.9: Pasta clara
ACM009	Pascual 1	vora	superficial	Pasta clara
ACM010	Tarrac. 1 ?	nansa	superficial	Pasta clara
ACM011	Pascual 1 ?	nansa	superficial	Pasta clara
ACM012	Pascual 1 ?	nansa	superficial	Pasta clara
ACM013	Pascual 1 ?	nansa	superficial	Pasta marró rosat
ACM014	Pascual 1 ?	nansa	superficial	Pasta clara
ACM015	Tarrac. 1 ?	nansa	superficial	Pasta clara
ACM016	Pascual 1 ?	nansa	superficial	Pasta marró rosat
ACM017	Pascual 1 ?	pivot	superficial	Pasta marró rosat
ACM018	Pascual 1 ?	pivot	superficial	Pasta clara verdosa
ACM019	Pascual 1 ?	pivot	superficial	Pasta clara
ACM020	Pascual 1 ?	coll	superficial	Pasta clara
ACM022	Pascual 1 ?	coll	superficial	Pasta marró fosc
ACM023	Pascual 1 ?	paret	superficial	Pasta marró ataronjada
ACM024	Pascual 1 ?	paret	superficial	Pasta marró ataronjada
ACM025	Pascual 1 ?	paret	superficial	Pasta clara
ACM026	Pascual 1 ?	paret	superficial	Pasta marró ataronjada
ACM027	Pascual 1 ?	paret	superficial	Pasta gris fosc
ACM028	Pascual 1 ?	paret	superficial	Pasta marró rosat
ACM029	Pascual 1 ?	paret	superficial	Pasta clara verdosa
ACM030	Pascual 1 ?	paret	superficial	Pasta marró rosat
ACM031	Pascual 1 ?	paret	superficial	Fig. 7.7: Pasta vermella ataronjada
ACM032	Pascual 1 ?	paret	superficial	Pasta marró rosat
ACM033	Pascual 1 ?	paret	superficial	Pasta marró rosat
ACM034	Pascual 1 ?	paret	superficial	Pasta marró ataronjada
ACM035	Pascual 1 ?	paret	superficial	Pasta gris fosc
ACM039	Greco-itàlica	vora	CCA-1044	Fig. 7.7: Pasta marró ataronjada
ACM040	Dressel 1	vora	CCA 18	Fig. 7.7: Pasta vermella ataronjada
ACM041	Dressel 1	vora	CCA 1102	Fig. 7.7: Pasta vermella ataronjada

ACM042	Dressel 1	vora	CCA 1103-1	Fig. 7.7: Pasta vermella ataronjada
ACM043	Dressel 1	vora	CCA 1126-2	Fig. 7.7: Pasta ataronjada tipus <i>sandvitx</i>
ACM044	Dressel 1	vora	CCA 1134	Fig. 7.7: Pasta vermella ataronjada
ACM045	Dressel 1	vora	CCA 2000	Fig. 7.7: Pasta vermella ataronjada
ACM046	Tarrac. 1D	vora	CCA 1020-9	Fig. 7.8: Pasta vermella intens-granat
ACM047	Tarrac. 1D	vora	CCA 1020- 11	Fig. 7.8: Pasta vermella ataronjada
ACM048	Tarrac. 1D	vora	CCA 1020- 12	Fig. 7.8: Pasta vermella intens-granat
ACM049	Tarrac. 1D	vora	CCA 1020- 13	Fig. 7.8: Pasta vermella ataronjada
ACM050	Tarrac. 1D	vora	CCA 1020- 15	Fig. 7.8: Pasta vermella ataronjada
ACM051	Tarrac. 1D	vora	CCA 1020- 16	Fig. 7.8: Pasta vermella ataronjada
ACM052	Tarrac. 1D	vora	CCA 1020 - 17	Fig. 7.8: Pasta vermella ataronjada
ACM053	Tarrac. 1D	vora	CCA 1020 - 18	Fig. 7.8: Pasta marró rosat tipus <i>sandwitx</i>
ACM054	Tarrac. 1D	vora	CCA 1020 - 22	Fig. 7.8: Pasta vermella ataronjada
ACM055	Tarrac. 1D	vora	CCA 1020 - 24	Fig. 7.8: Pasta marró rosat
ACM056	Tarrac. 1D	vora	CCA 1020 - 25	Fig. 7.8: Pasta vermella ataronjada
ACM057	Tarrac. 1D	vora	CCA 1020 - 28	Fig. 7.8: Pasta vermella ataronjada
ACM058	Tarrac. 1D	vora	CCA 1020 - 29	Pasta vermella ataronjada
ACM059	Tarrac. 1D	vora	CCA 1020 - 30	Fig. 7.8: vermella ataronjada
ACM060	Tarrac. 1E	vora	CCA 1069 - 40	Fig. 7.8: Pasta vermella ataronjada
ACM061	Tarrac. 1E	vora	CCA 1069 - 48	Fig. 7.8: Pasta marró clar
ACM062	Tarrac. 1D	vora	CCA 1076 - 1	Fig. 7.8: Pasta vermella ataronjada
ACM063	Pasc. 1 Tar. 1E	vora	CCA 1079 - 1	Fig. 7.8: Pasta vermella ataronjada
ACM064	Tarrac. 1D	vora	CCA 1102 - 10	Fig. 7.8: Pasta vermella ataronjada
ACM065	Tarrac. 1C	vora	CCA 1116	Fig. 7.8: Pasta vermella ataronjada
ACM066	Pasc. 1/Tar. 1E	vora	CCA-1000	Pasta marró rosat
ACM067	Pasc. 1/Tar. 1E	vora	CCA-1000	Fig. 7.9: Pasta marró clar
ACM068	Pasc. 1/Tar. 1E	vora	CCA-1000	Fig. 7.9: Pasta marró rosat
ACM069	Pascual 1	vora	CCA-1000	Fig. 7.9: Pasta marró rosat
ACM070	Pascual 1	vora	CCA-1000	Fig. 7.9: Pasta marró clar
ACM071	Pasc. 1/Tar. 1E	vora	CCA-1000	Fig. 7.9: Pasta marró clar
ACM072	Pascual 1	vora	CCA-1000	Fig. 7.9: Pasta marró clar verdós

TAULA 2. INVENTARI DE LES ÀMFORES DE CAN PAU FERRER (CABRERA DE MAR)

MOSTRA	TIPUS	PART	UE	Color de la matriu i altres observacions
ACM073	Dressel 1	vora	CCPF 2015 - 62	Pasta vermella ataronjada
ACM074	Dressel 1	vora	CCPF 2015 - 88	Fig. 7.10
ACM075	Dressel 1	vora	CCPF 2015 - 90	Fig. 7.10: Pasta marró ataronjada
ACM076	Dressel 1	vora	CCPF 2015 - 92	Pasta vermella intens-granat
ACM077	Dressel 1	vora	CCPF 2015 - 93	Pasta vermella ataronjada
ACM078	Dressel 1	vora	CCPF 2015 - 94	Pasta vermella ataronjada
ACM079	Dressel 1	vora	CCPF 2015 - 95	Fig. 7.10: Pasta vermella ataronjada
ACM080	Dressel 1	vora	CCPF 2015 - 96	Fig. 7.10: Pasta vermella ataronjada
ACM081	Dressel 1	vora	CCPF 2015 - 97	Fig. 7.10
ACM082	Dressel 1	vora	CCPF 2015 - 98	Fig. 7.10: Pasta ataronjada tipus <i>sandwix</i>
ACM083	Dressel 1	vora	CCPF 2015 - 101	Pasta marró fosc
ACM084	Dressel 1	vora	CCPF 2015 - 103	Fig. 7.10: Pasta marró ataronjada
ACM085	Dressel 1	vora	CCPF 2015 - 104	Pasta marró ataronjada
ACM086	Dressel 1	vora	CCPF 2015 - 105	
ACM087	Dressel 1	vora	CCPF 2015 - 107	Fig. 7.10: Pasta ataronjada tipus <i>sandwix</i>
ACM088	Dressel 1	vora	CCPF 2015	Pasta marró clar
ACM089	Dressel 1	nansa	CCPF 2015 - 13	Pasta ataronjada tipus <i>sandwix</i>
ACM090	Dressel 1	nansa	CCPF 2015 - 54	Pasta ataronjada tipus <i>sandwix</i>
ACM091	Dressel 1	nansa	CCPF 2015 - 56	Pasta marró ataronjada
ACM092	Dressel 1	nansa	CCPF 2015 - 57	Pasta ataronjada tipus <i>sandwix</i>
ACM093	Dressel 1	pivot	CCPF 2015 - 66	Pasta ataronjada tipus <i>sandwix</i>
ACM094	Dressel 1	pivot	CCPF 2015 - 69	Pasta vermella ataronjada
ACM095	Dressel 1	pivot	CCPF 2015 - 70	Pasta marró ataronjada
ACM096	Dressel 1	pivot	CCPF 2015 - 71	Pasta vermella ataronjada
ACM097	Dressel 1	nansa	CCPF 2015 - 78	Pasta vermella ataronjada
ACM098	Dressel 1	espatlla	CCPF 2015 - 79	Pasta marró ataronjada
ACM099	Dressel 1	espatlla	CCPF 2015 - 80	Pasta vermella ataronjada
ACM100	Dressel 1	panxa	CCPF 2015	Pasta marró fosc (interior) - negre (exterior)
ACM101	Dressel 1	panxa	CCPF 2015	Pasta marró fosc (interior) - negre (exterior)
ACM102	Dressel 1	panxa	CCPF 2015	Pasta marró fosc
ACM103	Dressel 1	vora	CCPF 2015-100	Pasta marró ataronjada
ACM104	Dressel 1	nansa	CCPF 2015	Pasta clara
ACM105	Argila	-	-	Marró

TAULA 3. INVENTARI DE LES ÀMFORES DEL VILARENC (CALAFELL).

MOSTRA	TIPUS	PART	UE	Color de la matriu i altres observacions
ELV001	Dressel 1	vora	V. 97-5021	Fig. 7.16: Pasta clara
ELV002	Dressel 1	vora	V. 97-5021	Pasta clara
ELV003	Tarrac. 3	vora i coll	V.97-5001	Fig. 7.16: Pasta clara
ELV004	Tarrac. 3	vora i coll	V.97-5001	Fig. 7.16: Pasta clara
ELV005	Tarrac. 3	vora i coll	V.97-5001	Fig. 7.16: Pasta clara
ELV006	Tarrac. 3	vora	V.97-5021	Fig. 7.16: Pasta clara
ELV007	Tarrac. 3	vora i coll	V.99-5004	Fig. 7.16: Pasta clara
ELV008	Tarrac. 3	vora i coll	V.99-5004	Fig. 7.16: Pasta clara
ELV009	Tarrac. 3	vora i coll	V.99-5004	Pasta clara
ELV010	Tarrac. 3	vora	V.99-5004	Fig. 7.16: Pasta clara
ELV011	Tarrac. 3	vora	V.99-5004	Fig. 7.16: Pasta clara
ELV012	Tarrac. 3	vora	V.99-5004	Pasta clara
ELV013	Tarrac. 3	vora	V.99-5004	Fig. 7.16: Pasta clara
ELV014	Tarrac. 3	vora	V.99-5004	Pasta clara
ELV015	Tarrac. 3	vora	V.99-5004	Pasta clara
ELV016	Pascual 1	vora	VIL-02-6008	Fig. 7.18: Pasta clara
ELV017	Pascual 1	vora	VIL-02-6008	Fig. 7.18: Pasta clara
ELV018	Pascual 1	vora	VIL-02-6008	Fig. 7.18: Pasta clara
ELV019	Pascual 1	vora	VIL-02-6008	Fig. 7.18: Pasta clara
ELV020	Pascual 1	vora	VIL-02-6008	Fig. 7.18: Pasta clara
ELV021	Pascual 1	vora	VIL-02-6008	Fig. 7.18: Pasta clara
ELV022	Pascual 1	vora	VIL-02-6008	Fig. 7.18: Pasta clara
ELV023	Pascual 1	vora	VIL-02-6008	Fig. 7.18: Pasta clara
ELV024	Pascual 1	vora	VIL-02-6008	Pasta clara
ELV025	Pascual 1	vora	VIL-02-6008	Pasta clara
ELV026	Pascual 1	nansa	VIL-02-6008	Pasta clara
ELV027	Pascual 1	nansa	VIL-02-6008	Pasta clara
ELV028	Tarrac. 3	vora	VIL-5004	Pasta clara
ELV029	Tarrac. 3	vora	VIL-5004	Pasta clara
ELV030	Tarrac. 3	vora	VIL-5004	Pasta clara
ELV036	Pascual 1	vora	VIL-5004	Pasta clara
ELV037	Pascual 1	vora	VIL-5004	Pasta clara
ELV038	Pascual 1	vora	VIL-5004	Pasta clara
ELV044	Pascual 1	vora	VIL-5004-28	Fig. 7.17: Pasta clara
ELV045	Tarrac. 3	vora	VIL-5004-31	Fig. 7.17: Pasta clara
ELV046	Tarrac. 1D	vora	VIL-5004-32	Fig. 7.17: Pasta clara
ELV047	Base plana	vora	VIL-5004-33	Fig. 7.17: Pasta clara. Base plana i vora plana
ELV048	Base plana	vora	VIL-5004-34	Fig. 7.17: Pasta clara. Base plana, vora triangular i cos de gran diàmetre
ELV049	Base plana	vora	VIL-5004	Pasta clara. Base plana, vora triangular i cos de gran diàmetre
ELV050	Tarrac. 1D	vora	VIL-5004	Pasta clara
ELV051	Tarrac. 1D	vora	VIL-5004	Pasta clara
ELV052	Tarrac. 3	vora	VIL-5004	Pasta clara
ELV053	Tarrac. 1E / P1	nansa	VIL-5004	Pasta clara. Nanses llargues i gruixudes

TAULA 4. INVENTARI DE LES ÀMFORES DEL TALLER DEL BARRI ANTIC
(SAN BOI DE LLOBREGAT)

MOSTRA	TIPUS	PART	UE	Color de la matriu i altres observacions
SBL001	Pascual 1	vora	-	Fig. 7.23: Pasta marró clara
SBL002	Pascual 1	vora	-	Fig. 7.23: Pasta marró-taronja.
SBL003	Pascual 1	coll i llavi	-	Fig. 7.23: Pasta marró-taronja. Marca <i>Ivli Aniceti</i>
SBL004	Dressel 2-4	pivot	-	Fig. 7.23: marca <i>QVA</i>
SBL005	Pascual 1	nansa	-	Fig. 7.23: Pasta vermella
SBL006	Pascual 1	vora	BA235	Fig. 7.23: Pasta marró-taronja. Horitzó F
SBL007	Pascual 1	vora	BA235	Fig. 7.23: Pasta clara. Horitzó F
SBL008	Pascual 1	vora	BA235	Fig. 7.23: Pasta marró-taronja. Horitzó F
SBL009	Pascual 1	vora	BA235	Fig. 7.23: Pasta clara. Horitzó F
SBL010	Pascual 1	llavi	BA235	Fig. 7.23: Pasta clara. Horitzó F
SBL011	Pascual 1	coll	BA235	Pasta marró-taronja. Horitzó F
SBL012	Pascual 1	vora	BA248	Fig. 7.23: Pasta marró-taronja. Horitzó F
SBL013	Pascual 1	vora	BA248	Fig. 7.23: Pasta marró clara. Horitzó F
SBL014	Pascual 1	vora	UE225	Fig. 7.23: Pasta marró-taronja. Horitzó G
SBL015	Pascual 1	vora	UE225	Fig. 7.23: Pasta marró rosat. Horitzó G
SBL016	Pascual 1	vora	UE225	Fig. 7.23: Pasta marró-taronja. Horitzó G
SBL017	Pascual 1	vora	UE225	Fig. 7.23: Pasta marró clara. Horitzó G
SBL018	Pascual 1	vora	UE234	Fig. 7.23: Pasta marró-taronja. Horitzó G
SBL019	Pascual 1	vora	UE234	Fig. 7.23: Pasta marró-taronja. Horitzó G
SBL020	Pascual 1	vora	UE234	Fig. 7.24: Pasta marró-taronja. Horitzó G
SBL021	Pascual 1	vora	UE234	Fig. 7.24: Pasta clara. Horitzó G
SBL022	Pascual 1	vora	UE275	Fig. 7.24: Pasta marró-taronja. Horitzó G
SBL023	Pascual 1	vora	UE275	Fig. 7.24: Pasta marró clara. Horitzó G
SBL024	Pascual 1	vora	UE575	Fig. 7.24: Pasta marró-taronja. Horitzó G
SBL025	Pascual 1	vora	UE576	Fig. 7.24: Pasta marró-taronja. Horitzó G
SBL026	Pascual 1	vora	UE226	Fig. 7.24: Pasta marró-taronja. Horitzó J
SBL027	Pascual 1	vora	UE226	Fig. 7.24: Pasta marró-taronja. Horitzó J
SBL028	Pascual 1	vora	UE226	Fig. 7.24: Pasta marró-taronja. Horitzó J
SBL029	Pascual 1	vora	UE226	Fig. 7.24: Pasta marró-taronja. Horitzó J
SBL030	Pascual 1	vora	UE226	Fig. 7.24: Pasta marró clara. Horitzó J
SBL031	Pascual 1	vora	UE226	Fig. 7.24: Pasta marró-taronja. Horitzó J
SBL032	Pascual 1	vora	CDN97-259	Fig. 7.24: Pasta marró clara
SBL033	Pascual 1	vora	CDN97-259	Fig. 7.24: Pasta marró clara.
SBL034	Pascual 1	vora	CDN97-259	Fig. 7.24: Pasta vermella
SBL035	Pascual 1	vora	CDN97-259	Fig. 7.24: Pasta marró clara
SBL036	Pascual 1	vora	CDN97-259	Fig. 7.24: Pasta vermella
SBL037	Pascual 1	vora	CDN97-259	Fig. 7.24: Pasta marró clara

TAULA 5. INVENTARI DE LES ÀMFORES DEL MERCAT DE SANTA CATERINA I DEL CARRER GIRALT EL PELLICER (BARCELONA)

MERCAT DE SANTA CATERINA				
MOSTRA	TIPUS	PART	UE	Color de la matriu i altres observacions
CSC001	Pascual 1	vora	1/01-7809	Fig. 7.37: Pasta clara
CSC002	Pascual 1	vora	1/01-7809	Fig. 7.37: Pasta clara
CSC003	Pascual 1	vora	1/01-7809	Fig. 7.37: Pasta clara
CSC004	Pascual 1	vora	1/01-7809	Fig. 7.37: Pasta marró rosat
CSC005	Pascual 1	vora	1/01-7809	Fig. 7.37: Pasta clara
CSC006	Pascual 1	vora	1/01-7809	Fig. 7.37: Pasta clara
CSC007	Pascual 1	vora	1/01-7219	Fig. 7.37: Pasta clara
CSC008	Pascual 1	vora	1/01-7219	Fig. 7.37: Pasta clara
CSC009	Pascual 1	vora	1/01-7219	Fig. 7.37: Pasta clara
CSC010	Pascual 1	vora	1/01-7219	Fig. 7.37: Pasta clara
CSC011	Pascual 1	vora	1/01-7219	Fig. 7.37: Pasta clara
CSC012	Pascual 1	vora	1/01-7219	Fig. 7.37: Pasta clara
CSC013	Pascual 1	vora	1/01-7219	Fig. 7.37: Pasta clara
CSC014	Pascual 1	vora	1/01-7219	Fig. 7.37: Pasta clara
CSC015	Pascual 1	vora	1/01-7219	Fig. 7.37: Pasta clara
CSC016	Pascual 1	vora	1/01-7219	Fig. 7.37: Pasta clara
CSC017	Pascual 1	vora	1/01-7219	Fig. 7.37: Pasta clara
CSC018	Pascual 1	vora	1/01-7219	Fig. 7.37: Pasta vermella
CSC019	Pascual 1	vora	1/01-7219	Fig. 7.37: Pasta vermella
CSC020	Pascual 1	vora	1/01-7219	Fig. 7.37: Pasta vermella
CSC021	Pascual 1	vora	1/01-7219	Fig. 7.37: Pasta clara
CSC022	Pascual 1	vora	1/01-7219	Fig. 7.37: Pasta clara
CSC023	Pascual 1	vora	1/01-7219	Fig. 7.37: Pasta clara
CSC024	Pascual 1	vora	1/01-7219	Fig. 7.37: Pasta clara
CSC025	Pascual 1	vora	1/01-7219	Fig. 7.37: Pasta clara
CSC026	Pascual 1	vora	6/02-2565	Fig. 7.37: Pasta clara
CSC027	Pascual 1	vora	6/02-2565	Fig. 7.37: Pasta marró rosat
CSC095	argila			Pasta marró
CSC096	argila			Pasta marró
CSC097	argila			Pasta marró
CSC103		pivot	2-00-7219-1	Fig. 7.3 9: <i>LAETI</i> : Pasta clara
CSC104			2-00-7219-15	Fig. 7.3 9: <i>LAETI</i> : Pasta vermella
CSC105			2-00-7219-48	Fig. 7.3 9: <i>EPAPR</i> : Pasta vermella
CSC106			2-00-7219-50	Fig. 7.3 9: <i>EPAPR</i> : Pasta vermella
CSC107			2-00-7219-52	Fig. 7.3 9: <i>EPAPR</i> : Pasta vermella
CSC108			2-00-7219-54	Fig. 7.3 9: <i>EPAPR</i> : Pasta vermella

CSC109			2-00-7219-57	Fig. 7.3 9: <i>LESB</i> : Pasta clara
CSC110			2-00-7219-58	Fig. 7.3 9: <i>LESB</i> : Pasta clara
CSC111			2-00-7219-62	Fig. 7.3 9: <i>LESB</i> : Pasta clara
CSC112			2-00-7219-69	Fig. 7.3 9: <i>LAETI</i> : Pasta vermella
CSC113			2-00-7219-73	Fig. 7.3 9: <i>LAETI</i> : Pasta clara
CSC114			2-00-7219-77	Fig. 7.3 9: <i>P</i> : Pasta vermella
CSC115			2-00-7219-78	Fig. 7.3 9: <i>PLOC</i> : Pasta vermella
CSC116			2-00-7219-79	Fig. 7.3 9: <i>PLOC</i> : Pasta clara
CSC117			2-00-7219-80	Fig. 7.3 9: <i>PLOC</i> : Pasta vermella
CSC118			2-00-7219-81	Fig. 7.3 9: <i>THEOP</i> : Pasta clara
CSC119			2-00-7219-82	Fig. 7.3 9: <i>PLOC</i> : Pasta vermella
CSC120			2-00-7219-84	Fig. 7.3 9: <i>O</i> : Pasta clara

CARRER GIRALT EL PELLICER

MOSTRA	TIPUS	PART	UE	Color de la matriu i altres observacions
CSC028	Pascual 1	vora	6/02-2565	Fig. 7.38: Pasta clara
CSC029	Pascual 1	vora	18/01-5050	Fig. 7.38: Pasta clara
CSC030	Pascual 1	vora	18/01-5050	Fig. 7.38: Pasta clara
CSC031	Pascual 1	vora	18/01-5050	Fig. 7.38: Pasta clara
CSC032	Pascual 1	vora	18/01-5050	Fig. 7.38: Pasta clara
CSC033	Pascual 1	vora	18/01-5050	Fig. 7.38: Pasta clara
CSC034	Pascual 1	vora	18/01-5050	Fig. 7.38: Pasta clara
CSC035	Pascual 1	vora	18/01-5050	Fig. 7.38: Pasta clara
CSC036	Pascual 1	vora	18/01-5060	Fig. 7.38: Pasta clara
CSC037	Pascual 1	vora	18/01-5060	Fig. 7.38: Pasta clara
CSC038	Pascual 1	vora	18/01-5060	Fig. 7.38: Pasta clara
CSC039	Pascual 1	vora	18/01-5060	Fig. 7.38: Pasta clara
CSC040	Pascual 1	vora	18/01-5060	Fig. 7.38: Pasta clara
CSC041	Pascual 1	vora	18/01-5060	Fig. 7.38: Pasta clara
CSC042	Pascual 1	vora	18/01-5060	Fig. 7.38: Pasta clara
CSC043	Pascual 1	vora	18/01-5060	Fig. 7.38: Pasta clara
CSC044	Pascual 1	vora	18/01-5060	Fig. 7.38: Pasta clara
CSC045	Pascual 1	vora	18/01-5060	Fig. 7.38: Pasta clara
CSC046	Pascual 1	vora	18/01-5060	Fig. 7.38: Pasta clara
CSC047	Pascual 1	vora	18/01-5060	Fig. 7.38: Pasta clara
CSC048	Pascual 1	vora	18/01-5060	Fig. 7.38: Pasta clara
CSC049	Pascual 1	vora	18/01-6054	Fig. 7.38: Pasta clara
CSC050	Pascual 1	vora	18/01-7050	Fig. 7.38: Pasta clara
CSC051	Pascual 1	vora	18/01-7050	Fig. 7.38: Pasta clara
CSC052	Pascual 1	vora	18/01-7053	Fig. 7.38: Pasta clara

TAULA 6. INVENTARI DE LES ÀMFORES DEL TALLER DEL CARRER PRINCESA
(BARCELONA)

MOSTRA	TIPUS	PART	UE	Color de la matriu i altres observacions
CSC053	Pascual 1	meitat sup.	UE 503	Fig. 7.40: Pasta vermella rosat
CSC054	Pascual 1	meitat sup.	UE 582	Fig. 7.40: Pasta vermella rosat
CSC055	Pascual 1	meitat sup.	UE 582	Fig. 7.40: Pasta vermella
CSC056	Pascual 1	meitat sup.	UE 582	Fig. 7.40: Pasta marró rosat
CSC057	Pascual 1	meitat sup.	UE 582	Fig. 7.40: Pasta marró rosat
CSC058	Pascual 1	meitat sup.	UE 505	Fig. 7.40: Pasta marró rosat
CSC059	Pascual 1	meitat sup.	UE 501	Fig. 7.40: Pasta marró rosat
CSC060	Pascual 1	meitat sup.	UE 582	Fig. 7.40: Pasta marró rosat
CSC061	Pascual 1	nansa	UE 582	Pasta marró rosat
CSC062	Pascual 1	nansa	UE 582	Pasta marró rosat
CSC063	Pascual 1	nansa	UE 582	Pasta vermella
CSC064	Pascual 1	vora	UE 582	Fig. 7.40: Pasta vermella rosat
CSC065	Pascual 1	vora	UE 582	Fig. 7.40: Pasta marró ataronjat
CSC066	Pascual 1	vora	UE 582	Fig. 7.40: Pasta marró rosat
CSC067	Pascual 1	cos	UE 582	Pasta marró rosat
CSC068	Pascual 1	nansa	UE 582	Pasta vermella
CSC069	Pascual 1	cos	UE 582	Pasta marró rosat
CSC070	Pascual 1	cos	UE 582	Pasta marró rosat
CSC071	Pascual 1	cos	UE 582	Pasta vermella
CSC072	Pascual 1	meitat sup.	UE 582	Fig. 7.40: Pasta marró rosat
CSC073	Pascual 1	meitat sup.	UE 582	Fig. 7.40: Pasta vermella
CSC074	Pascual 1	meitat sup.	UE 582	Pasta marró rosat
CSC075	Pascual 1	vora	UE 582	Fig. 7.40: Pasta vermella
CSC076	Pascual 1	vora	UE 582	Fig. 7.40: Pasta marró rosat
CSC077	Pascual 1	vora	UE 582	Fig. 7.40: Pasta marró rosat
CSC078	Pascual 1	vora	UE 582	Fig. 7.40: Pasta marró rosat
CSC079	Pascual 1	meitat sup.	UE 582	Fig. 7.40: Pasta vermella
CSC080	Pascual 1	vora	-	Fig. 7.40: Pasta marró rosat
CSC081	Pascual 1	vora	-	Fig. 7.40: Pasta vermella
CSC082	Pascual 1	vora	-	Fig. 7.40: Pasta marró rosat
CSC083	Pascual 1	vora	-	Fig. 7.40: Pasta marró rosat
CSC084	Pascual 1	vora	-	Fig. 7.40: Pasta marró ataronjat
CSC085	Pascual 1	vora	-	Fig. 7.40: Pasta vermella
CSC086	Pascual 1	vora	-	Fig. 7.40: Pasta vermella
CSC087	Pascual 1	vora	-	Fig. 7.40: Pasta vermella
CSC088	Pascual 1	vora	-	Fig. 7.40: Pasta marró rosat
CSC089	Pascual 1	vora	-	Fig. 7.40: Pasta marró rosat
CSC090	Pascual 1	vora	-	Fig. 7.40: Pasta marró rosat
CSC091	Pascual 1	vora	-	Fig. 7.40: Pasta marró rosat
CSC092	Pascual 1	vora	-	Pasta marró rosat
CSC093	<i>pondius</i>	-	UE 499	Pasta marró rosat
CSC094	<i>pondius</i>	-	UE 499	Pasta marró rosat
CSC098	argila	-	-	mur exterior del forn
CSC099	argila	-	-	inici del <i>praefurnium</i>
CSC100	argila	-	-	paret superior exterior del forn
CSC101	argila	-	-	pilar central del forn
CSC102	argila	-	-	fons interior del forn

TAULA 7: INVENTARI DE LES ÀMFORES PROCEDENTS DE LA CIUTAT ROMANA DE BARCELONA

PLAÇA DE LA VERÒNICA				
MOSTRA	TIPUS	PART	UE	Color de la matriu i altres observacions
BCN082	Indet.	pivot	Exc. 1988-1	Fig. 7.45: Pasta vermella ataronjada
BCN083	Indet.	pivot	Exc. 1988-4	Fig. 7.45: Pasta vermella ataronjada Dues marques il·legibles

CARRER DEL SOTSTINENT NAVARRO				
MOSTRA	TIPUS	PART	UE	Color de la matriu i altres observacions
BCN084	Tarrac. Inclassific.	vora	SN-86-7	Fig. 7.45: Pasta vermella ataronjada
BCN085	Pascual 1	vora	SN-86-7	Fig. 7.45: Pasta clara
BCN086	Pascual 1	vora	SN-86-7	Fig. 7.45: Pasta clara
BCN087	Pascual 1	vora	SN-86-7	Fig. 7.45: Pasta vermella ataronjada
BCN088	Pascual 1	vora	SN-86-7	Fig. 7.45: Pasta clara
BCN089	Indet.	Pivot	SN-86-7	Fig. 7.45: Pasta clara. Marca circular: <i>PRIMI</i>

RASA DE LA CATEDRAL				
MOSTRA	TIPUS	PART	UE	Color de la matriu i altres observacions
BCN090	Pascual 1	vora	RC-89-323	Fig. 7.45: Pasta clara
BCN091	Tarrac. 1D	vora	RC-89-326	Fig. 7.45: Pasta vermella ataronjada
BCN092	Pascual 1	vora	RC-89-326	Fig. 7.45: Pasta vermella
BCN093	Tarrac. 1C	vora	RC-89-260	Fig. 7.45: Pasta vermella ataronjada
BCN094	Indet.	informe	RC-89-260	Pasta clara. Marca PRI
BCN095	Indet.	pivot	RC-89-260	Fig. 7.45: Pasta vermella. Marca PRI
BCN096	Indet.	pivot	RC-89-260	Fig. 7.45: Pasta vermella
BCN097	Indet.	pivot	RC-89-260	Pasta vermella ataronjada
BCN098	Indet.	pivot	RC-89-260	Fig. 7.45: Pasta vermella

CORREU VELL				
MOSTRA	TIPUS	PART	UE	Color de la matriu i altres observacions
BCN099	Tarrac. 1E	vora	92-325-35	Fig. 7.45: Pasta clara
BCN100	Pascual 1	vora	92-325-35	Fig. 7.45: Pasta clara
BCN101	Pascual 1	vora	92-325-35	Fig. 7.45: Pasta clara
BCN102	Pascual 1	vora	92-325-35	Fig. 7.45: Pasta clara
BCN103	Pascual 1	vora	92-325-35	Fig. 7.45: Pasta vermella
BCN104	Pascual 1	vora	92-325-45	Pasta marró rosat
BCN105	Pascual 1	vora	92-325-45	Pasta marró rosat
BCN106	Pascual 1	vora	92-325-81	Fig. 7.45: Pasta marró rosat

TAULA 8: INVENTARI DE LES ÀMFORES PROCEDENTS DE NARBONA (FRANÇA)

PORT-LA-NAUTIQUE				
MOSTRA	TIPUS	PART	UE	Color de la matriu i altres observacions
NAR001	Tarrac. 1E	vora	NAU92-163	Fig. 7.51: Pasta marró rosat. Marca <i>C·IVNI</i>
NAR002	Tarrac. 1B	vora	NAU92-164	Fig. 7.51: Pasta marró rosat. Marca il·legible
NAR003	Tarrac. 1D	vora	NAU92-180	Fig. 7.51: Pasta marró.
NAR004	Tarrac. 1D	vora	NAU92-190	Fig. 7.51: Pasta marró.
NAR005	Tarrac. 3	vora	NAU92-191	Fig. 7.51: Pasta vermella
NAR006	Pascual 1	vora		Fig. 7.51: Pasta vermella. Marca <i>FVL·PHIL</i>
NAR007	Pascual 1	vora		Fig. 7.51: Pasta vermella. Marca <i>CLEANTI</i> vel <i>ELEANTI</i> .
NAR008	Pascual 1	vora		Fig. 7.51: Pasta marró rosat
NAR009	Pascual 1	vora		Fig. 7.51: Pasta marró rosat
NAR010	Pascual 1	vora		Fig. 7.51: Pasta marró rosat
NAR011	Pascual 1	vora		Fig. 7.51: Pasta gris
NAR012	Pascual 1	vora		Fig. 7.51: Pasta gris
NAR013	Pascual 1	vora		Fig. 7.51: Pasta gris
NAR014	Pascual 1	vora		Fig. 7.51: Pasta gris
NAR015	Pascual 1	vora		Fig. 7.51: Pasta gris

MALARD I				
MOSTRA	TIPUS	PART	Indiv.	Color de la matriu i altres observacions
NAR016	Pascual 1	¾ amf	HP3	Fig. 7.51:
NAR017	Pascual 1	¾ amf	HP1	Pasta vermella
NAR018	Pascual 1	¾ amf	59	Pasta marró
NAR019	Pascual 1	¾ amf	135	Pasta vermella-granat. Marca <i>CIVLIANTER</i>
NAR020	Pascual 1	¾ amf	157	Pasta vermella
NAR021	Pascual 1	¾ amf	199	Pasta marró rosat

MALARD II

MOSTRA	TIPUS	PART	Indiv.	Color de la matriu i altres observacions
NAR022	Pascual 1	¾ amf	1	Pasta marró rosat
NAR023	Pascual 1	¾ amf	7	Pasta vermella
NAR024	Pascual 1	¾ amf	9	Pasta clara
NAR025	Pascual 1	¾ amf	17	Pasta clara: Marca al pivot de forma circular <i>NI</i>
NAR026	Pascual 1	¾ amf	19	Pasta vermella
NAR027	Pascual 1	¾ amf	22	Pasta clara
NAR028	Pascual 1	¾ amf	24	Pasta vermella-granat
NAR029	Pascual 1	¾ amf	33	Pasta vermella
NAR030	Pascual 1	¾ amf	41	Pasta marró ataronjat. Marca <i>FVL·PHIL</i> sobre vora
NAR031	Pascual 1	¾ amf	50	Pasta marró rosat
NAR032	Pascual 1	¾ amf	62	Pasta marró rosat
NAR033	Pascual 1	¾ amf	75	Pasta vermella
NAR034	Pascual 1	¾ amf	77	Pasta marró ataronjat
NAR035	Pascual 1	¾ amf	82	Pasta marró rosat
NAR036	Pascual 1	¾ amf	83	Pasta clara
NAR037	Pascual 1	¾ amf	85	Pasta clara
NAR038	Pascual 1	¾ amf	90	Pasta marró ataronjat
NAR039	Pascual 1	¾ amf	102	Pasta marró ataronjat. Marca <i>CE</i>
NAR040	Pascual 1	¾ amf	105	Pasta marró ataronjat
NAR041	Pascual 1	¾ amf	UE 1005	Pasta vermella
NAR042	Dressel 1	vora	UE 1044	Pasta marró rosat
NAR043	Tarrac. 1D	vora	UE 1111	Pasta vermella

TAULA 9: INVENTARI DE LES ÀMFORES PROCEDENTS DE LATTES (HÉRAULT, FRANÇA)

MOSTRA	TIPUS	PART	UE	Color de la matriu i altres observacions
LAT001	Tarrac. 1A	vora	30140	Fig. 7.58: Pasta vermella
LAT002	Oberad. 74	vora	30291	Fig. 7.58: Pasta clara
LAT003	Tarrac. 1D	vora	136003	Fig. 7.58: Pasta vermella
LAT004	Oberad. 74	vora	30292	Fig. 7.58: Pasta clara
LAT005	Tarrac. 1E	vora	36208	Fig. 7.58: Pasta clara
LAT006	Pascual 1	vora	23208	Fig. 7.58: Pasta vermella
LAT007	Pascual 1	vora	23208	Fig. 7.58: Pasta vermella
LAT008	Pascual 1	vora	26156	Fig. 7.58: Pasta rosa
LAT009	Pascual 1	vora	26156	Fig. 7.58: Pasta clara
LAT010	Pascual 1	vora	26156	Fig. 7.58: Pasta clara
LAT011	Pascual 1	vora	26156	Fig. 7.58: Pasta vermella
LAT012	Pascual 1	vora	26156	Fig. 7.58: Pasta rosa
LAT013	Pascual 1	vora	26156	Fig. 7.58: Pasta rosa
LAT014	Pascual 1	vora	26156	Fig. 7.58: Pasta rosa
LAT015	Pascual 1	vora	26156	Fig. 7.58: Pasta rosa
LAT016	Pascual 1	vora	26156	Fig. 7.58: Pasta clara
LAT017	Pascual 1	vora	26156	Fig. 7.58: Pasta clara
LAT018	Pascual 1	vora	26156	Fig. 7.58: Pasta rosa
LAT019	Pascual 1	vora	30170	Fig. 7.58: Pasta rosa
LAT020	Pascual 1	vora	30222	Fig. 7.58: Pasta vermella
LAT021	Pascual 1	vora	130014	Fig. 7.58: Pasta vermella
LAT022	Pascual 1	vora	30293	Fig. 7.58: Pasta rosa
LAT023	Pascual 1	completa	5115	Fig. 7.58: pasta vermella, amb inscripció Q[...]
LAT024	Pascual 1	vora	23206	Fig. 7.58: Pasta clara
LAT025	Pascual 1	vora	35110	Fig. 7.58: Pasta vermella
LAT026	Pascual 1	vora	3451	Fig. 7.58: Pasta vermella
LAT027	Pascual 1	vora	60172	Fig. 7.58: Pasta vermella
LAT028	Pascual 1	vora	60173	Fig. 7.58: Pasta vermella
LAT029	Pascual 1	vora	60173	Fig. 7.58: Pasta clara
LAT030	Pascual 1	vora	60172	Fig. 7.58: Pasta rosa
LAT031	Pascual 1	vora	31075	Fig. 7.58: Pasta vermella
LAT032	Pascual 1	vora	104001	Fig. 7.58: Pasta vermella
LAT038	Pascual 1	vora	23276	Pasta vermella
LAT039	Dressel 1	vora	23276	Pasta ataronjada

ANNEX 2

TAULES

Taula 4.1. Mostres geològiques de referència Internacional emprades com estàndards

ANRT - National Working Group; Association Nationale de la Recherche Technique ANRT; Vandoeuvre, France: BX-N, DR-N, DT-N, FK-N, GL-O, GS-N, UB-N

BCS - British Chemical Standards (BCS); Bureau of Analysed Samples (BAS); Middlebrou, Cleveland, England: BCS375, BCS376, BCS381, ECRM879-1

CCRMP - Canada Center for Mineral and Energy Technology; Mines and Resources; Ottawa, Canada: SO-1, SY-2

CRPG - Centre de Recherches Pétrographiques et Géochimiques (CNRS); Vandoeuvre, France: BR, GA, GH, Mica-Fe, Mica-Mg

IGGE - Institute of Geophysical and Geochemical Prospection; Ministry of Geology; Beijing, China: GSD-1, GSD-2, GSD-3, GSD-4, GSD-5, GSD-6, GSD-7, GSD-8, GSD-9, GSD-10, GSD-11, GSD-12, GSR-1, GSR-2, GSR-3, GSR-4, GSR-5, GSR-6, GSS-1, GSS-2, GSS-3, GSS-4, GSS-5, GSS-6, GSS-7, GSS-8

IWG-GIT - International Working Group; Analitical Standards of Minerals, Ores and Rocks; Vandoeuvre, France: AC-E, AL-I, AN-G, BE-N, IF-G, MA-N

MISC - Geological Research Laboratory; Sofia; Bulgaria: GV, MB

NIST - National Institute of Standards and Technology NIST (antic NBS); Gaithersburg, USA: NBS1645, NBS1C, NBS278, NBS688, NBS88B, NBS91, NBS97B, NBS98B

NIM - SABS; Pretoria, South Africa: NIM-G

NRC - National Research Council; Institute for Environmental Chemistry; Ottawa, Canada: BCSS-1, MESS-1

USGS - Branch of Geochemistry; Geological Survey; Denver Federal Center; Denver, USA: PCC-1

	Fe ₂ O ₃	Al ₂ O ₃	MnO	P ₂ O ₅	TiO ₂	MgO	CaO	Na ₂ O	K ₂ O	SiO ₂	Ba	Rb	Mo	Th	Nb
MONTS-1	4.19	12.47	0.08	0.19	0.51	1.79	3.93	1.42	2.96	65.3	643.3	98.2	-0.5	16.6	19.2
MONTS-2	4.31	12.47	0.08	0.18	0.52	1.77	3.92	1.66	2.99	65.33	654.8	112.7	1.5	17	20.1
MONTS-3	4.26	12.68	0.08	0.19	0.53	1.81	3.94	1.29	3	68.5	656.9	108.6	-0.9	16.8	19.8
MONTS-4	4.22	12.39	0.08	0.19	0.51	1.76	3.94	1.49	2.93	65.61	649.4	109	-1.3	17.7	19.7
MONTS-5	4.26	12.76	0.09	0.2	0.53	1.86	3.97	1.26	3	66.06	653.7	108	-0.8	14.6	19.8
Valor cert.	4.25	12.55	0.08	0.19	0.52	1.8	3.94	1.42	2.98	66.16	651.62	107.3	-0.40	16.54	9.72
Desv. est	0.05	0.16	0	0.01	0.01	0.04	0.02	0.16	0.03	1.34	5.4	5.41	1.1	1.16	0.33

	Pb	Zr	Y	Sr	Sn	Ce	Co	Ga	V	Zn	W	Cu	Ni	Cr
MONTS-1	1067.5	259.7	28.6	213.6	-0.7	44.1	11.5	24	80.8	326.1	9.3	109	16.8	103.5
MONTS-2	1197.5	278.9	32.5	238.2	2.7	59.1	10.7	23.9	80	330.6	8.6	109.8	17.3	102.3
MONTS-3	1156.1	279.7	30.9	232.3	1.2	58.9	12.9	26.4	80.1	328.9	9.2	109.6	16.7	103.8
MONTS-4	1082.6	275	32.1	229.5	1.5	62.6	12.6	26.4	77.9	324.3	7.9	110.4	17	101.9
MONTS-5	1141	281.5	31.4	231.6	2.8	56.4	11.6	26.4	80.7	329.5	8.4	109.3	16.8	104.7
Valor cert.	1128.94	274.96	31.10	229.04	1.50	26.22	11.86	25.42	79.90	327.88	8.68	109.62	16.92	103.24
Desv. est	53.65	8.84	1.53	9.22	1.42	7.13	0.89	1.34	1.17	2.6	0.58	0.53	0.24	1.14

Taula 4.2. Taula de precisió emprant l'estàndard SRM 2711 (Montana Soil) del NIST (National Institute of Standards and Technology, Gaithersburg, MD, USA) a partir de la lectura de 5 mostres diferents, amb indicació de la mitjana aritmètica, i la desviació estàndard.

Taula 4.3. Condicions analítiques de FRX en els Serveis Científic Tècnics de la UB

	U	R	s	P	T	L	C	D	X	O	kV	mA	A	F+	F-
Al ₂ O ₃	%	0.15 - 59.20	0.21	E	Rh	Ka	G	F	PE	1	40	70	145.1195	-	4.20
P ₂ O ₅	%	0.01 - 15.70	0.01	E	Rh	Ka	G	F	GE	1	40	70	141.0351	3.20	-
K ₂ O	%	0.05 - 12.81	0.08	E	Rh	Ka	M	F	LIF200	1	40	70	136.6627	5.00	-
CaO	%	0.04 - 49.00	0.45	E	Rh	Ka	M	F	LIF200	1	40	70	113.0734	-	3.30
SiO ₂	%	1.13 - 90.40	0.45	E	Rh	Ka	G	F	PE	1	40	70	109.2089	-	4.00
TiO ₂	%	0.01 - 2.71	0.05	E	Rh	Ka	M	D	LIF200	1	40	70	86.1294	-	2.00
MnO	%	0.01 - 0.35	0.01	E	Rh	Ka	M	D	LIF200	1	50	50	62.9680	2.00	2.00
Fe ₂ O ₃	%	0.07 - 25.65	0.31	E	Rh	Ka	M	D	LIF200	1	60	40	57.5133	-	2.00
MgO	%	0.12 - 43.51	0.13	E	Rh	Ka	G	F	PX1	1	40	75	22.3635	1.60	1.60
Ba	ppm	40 - 2000	33	A	Rh	Ka	F	C	LIF220	1	60	40	15.6046	1.20	0.50
Mo	ppm	2 - 92	1	A	Rh	Ka	F	C	LIF220	1	60	40	28.9011	0.60	0.60
Nb	ppm	5 - 270	5	A	Rh	Ka	M	C	LIF220	1	40	30	30.4374	0.50	0.60
Zr	ppm	20 - 780	16	A	Rh	Ka	M	C	LIF220	1	60	50	32.0975	0.90	1.20
Y	ppm	7 - 180	2	A	Rh	Ka	M	C	LIF220	1	60	50	33.8976	0.90	0.90
Sr	ppm	20 - 1370	11	A	Rh	Ka	M	C	LIF220	1	60	50	35.8550	0.70	0.70
Rb	ppm	10 - 3600	16	A	Rh	Ka	M	C	LIF220	1	60	50	37.9879	1.60	1.60
Th	ppm	3 - 370	9	A	Rh	Lβ	M	C	LIF220	1	60	50	31.1719	0.30	0.30
Pb	ppm	3 - 928	8	A	Rh	Lβ	F	C	LIF220	1	60	50	40.3786	0.80	0.80
Na ₂ O	%	0.5 - 10.59	0.22	A	Rh	Ka	G	F	PX1	1	40	75	27.0102	1.80	1.80
Rh(1)	-	-	-	-	-	Ka	F	C	LIF200	2	60	50	37.1186	-	-
Sn	ppm	2 - 370	4	A	Rh	Ka	M	C	LIF200	1	60	40	14.0377	0.40	0.20
Ce	ppm	21 - 520	16	A	Rh	Ka	F	C	LIF220	1	60	50	14.4678	0.30	0.30
Ga	ppm	5 - 95	2	A	Rh	Ka	M	C	LIF200	1	60	50	38.9137	1.00	-
Zn	ppm	10 - 1720	14	A	Rh	Ka	M	C	LIF200	1	60	50	41.7957	-	2.00
W	ppm	7 - 490	7	A	Rh	La	M	D	LIF200	1	60	50	43.0150	1.00	-
Cu	ppm	4 - 1230	8	A	Rh	Ka	M	D	LIF200	1	60	50	45.0239	2.00	-
Co	ppm	5 - 112	6	A	Rh	Ka	F	D	LIF220	1	40	60	77.8942	1.00	0.50
Ni	ppm	4 - 2380	9	A	Rh	Ka	M	D	LIF200	1	60	50	48.6632	1.00	1.00
V	ppm	5 - 310	22	A	Rh	Ka	M	D	LIF220	1	40	75	123.1654	0.40	1.00

U: unitats de concentració (en pes)
R: límits del calibrat (rang de concentracions)
s: sigma del calibrat (*)
P: preparació de mostra (E:perla, A:pastilla)
T: tub raigs x (ànode de Rh)
L: línia espectral llegida
C: col·limador (G:gruixut/0.70mm, M:mig/0.30 mm, F:fi/0.15mm)
D: detector (F:flux, S:sellat, C:centelleig, D:dúplex F+S)

X: cristall dispersor
O: ordre òptic
kV: kilovoltatge emprat
mA: mil·liamperatge emprat
A: ° angle del goniòmetre (sen 2theta)
F+: ° posició relativa fons +
F-: ° posició relativa fons -
(I): canal de lectura de la radiació incoherent Compton

(*) SIGMA(s)
 n = patrons
 k = coeficients de regressió
 c.q.= concentració química
 c.c.= concentració calculada

$$\sigma = \sqrt{\frac{\sum_n (c.q. - c.c.)^2}{n - k}}$$

Taula 8.1. Matriu de dades composicionals obtingudes mitjançant la FRX per als 404 individus i argiles analitzats segons la subcomposició Fe₂O₃, Al₂O₃, MnO, P₂O₅, TiO₂, MgO, CaO, Na₂O, K₂O, SiO₂ (expressats en %) i, Ba, Rb, Mo, Th, Nb, Pb, Zr, Y, Sr, Sn, Ce, Ga, V, Zn, W, Cu, Ni i Cr (expressats en ppm). La darrera columna mostra els valors resultants de la determinació de la pèrdua al foc (expressada en %).

Ic	Fe2O3	Al2O3	MnO	P2O5	TiO2	MgO	CaO	Na2O	K2O	SiO2	Ba	Rb	Mo	Th	Nb	Pb	Zr	Y	Sr	Sn	Ce	Co	Ga	V	Zn	W	Cu	Ni	Cr	PAF
ACM001	5.75	16.56	0.08	0.11	0.80	1.59	9.38	1.29	2.90	57.50	587	130	0	24	19	17	265	37	158	1	129	24	18	81	76	83	16	22	55	3.15
ACM002	5.22	15.48	0.08	0.12	0.78	1.54	10.65	1.19	2.84	56.44	514	118	0	23	16	23	209	32	167	6	86	16	15	74	72	66	14	18	65	4.45
ACM003	6.21	18.26	0.09	0.09	0.88	1.51	3.69	1.32	3.02	62.71	503	126	1	26	18	28	220	32	140	2	102	22	20	92	78	166	10	17	97	1.00
ACM004	7.56	18.87	0.10	0.28	0.95	1.52	3.14	0.96	3.18	57.78	799	112	1	29	20	25	245	43	152	4	108	16	21	97	100	39	15	17	79	4.16
ACM005	5.46	15.53	0.09	0.14	0.72	1.57	7.13	0.96	2.61	59.80	582	96	1	24	17	27	229	34	147	-1	98	17	17	82	78	41	15	21	97	4.66
ACM006	5.17	15.22	0.08	0.12	0.70	1.41	9.47	1.19	2.76	57.15	510	108	1	21	17	28	214	32	154	2	91	18	15	76	72	58	12	16	89	5.60
ACM007	6.19	18.11	0.09	0.10	0.77	1.50	4.54	1.38	3.24	61.23	490	131	1	27	18	29	209	34	126	1	86	22	20	91	79	165	13	15	106	1.66
ACM008	5.97	15.45	0.09	0.15	0.80	1.67	11.28	1.17	2.58	55.29	549	111	0	24	19	13	222	36	179	3	113	16	16	84	71	80	15	18	77	4.04
ACM009	5.00	14.20	0.07	0.14	0.66	1.34	13.15	0.67	2.53	53.22	579	99	1	19	16	27	210	27	192	2	82	13	13	68	65	38	12	18	84	8.41
ACM010	5.52	15.92	0.08	0.10	0.73	1.55	12.34	1.41	2.20	55.81	464	88	0	24	19	12	201	32	172	2	88	16	18	82	67	79	13	20	86	3.17
ACM011	4.50	14.14	0.07	0.13	0.60	1.28	9.62	1.14	2.84	60.23	559	104	1	21	14	17	194	28	167	2	70	15	13	68	59	72	9	16	84	4.55
ACM012	5.00	14.15	0.07	0.12	0.65	1.48	14.62	0.77	2.37	52.13	538	101	1	20	15	20	219	28	183	4	67	16	14	72	71	38	13	19	71	7.89
ACM013	5.82	15.53	0.08	0.13	0.78	1.51	10.64	0.91	2.67	55.19	540	107	1	27	17	20	204	34	166	2	117	18	17	81	81	36	16	19	73	5.45
ACM014	5.02	13.67	0.08	0.21	0.74	1.33	13.38	0.97	2.13	53.09	608	91	1	24	17	19	205	31	209	2	104	15	12	68	63	37	13	16	85	8.38
ACM015	5.03	14.96	0.08	0.12	0.69	1.47	8.14	1.34	2.86	61.72	526	108	1	22	15	23	203	31	158	5	90	17	15	69	66	123	13	18	69	2.44
ACM016	5.32	15.29	0.08	0.10	0.71	1.45	11.55	1.09	2.66	55.8	445	116	0	24	17	26	190	31	162	0	85	17	16	68	71	75	13	18	80	4.70
ACM017	5.18	14.96	0.07	0.11	0.70	1.33	10.47	0.93	2.59	56.64	526	104	1	21	15	23	200	28	163	0	81	16	14	75	65	50	9	17	100	6.33
ACM018	5.03	15.35	0.07	0.10	0.66	1.46	12.62	1.30	2.57	55.64	459	105	0	23	16	14	167	27	173	1	92	20	16	68	67	109	12	14	83	4.06
ACM019	4.33	14.35	0.07	0.09	0.60	1.17	9.58	1.34	2.66	61.42	477	102	1	27	14	19	166	27	163	3	106	15	14	66	53	85	10	13	101	3.69
ACM020	5.25	14.94	0.08	0.15	0.67	1.29	12.34	0.80	2.60	54.73	571	93	1	22	17	22	205	31	185	3	92	12	14	72	64	37	11	18	78	5.64
ACM021	5.08	12.4	0.04	0.13	0.63	1.53	16.26	0.31	1.28	52.39	670	51	1	10	16	25	153	18	254	4	40	15	13	87	98	41	10	28	128	9.16
ACM022	6.97	17.35	0.10	0.13	0.94	1.89	5.87	1.51	3.03	60.08	494	130	1	29	20	26	204	37	149	4	126	23	20	107	95	174	19	17	104	0.68
ACM023	6.01	15.27	0.10	0.20	0.82	1.75	8.42	1.23	2.99	58.74	551	113	0	22	17	27	216	35	158	0	97	16	16	82	80	66	14	18	89	3.18
ACM024	5.22	14.57	0.08	0.13	0.71	1.55	12.40	0.86	2.57	53.82	481	107	1	24	17	23	213	33	171	4	112	15	16	78	77	36	15	19	71	6.91
ACM025	5.69	15.68	0.08	0.13	0.72	1.75	14.84	0.92	2.46	50.40	488	113	0	22	17	22	178	33	186	1	89	18	17	78	71	36	17	22	77	5.86

Continuació Taula 8.1.

Ic	Fe2O3	Al2O3	MnO	P2O5	TiO2	MgO	CaO	Na2O	K2O	SiO2	Ba	Rb	Mo	Th	Nb	Pb	Zr	Y	Sr	Sn	Ce	Co	Ga	V	Zn	W	Cu	Ni	Cr	PAF
ACM026	6.05	17.03	0.09	0.13	0.77	1.49	8.68	0.90	2.48	55.12	567	92	1	28	18	25	212	33	154	6	82	18	18	81	82	28	13	17	74	5.90
ACM027	5.18	15.01	0.08	0.22	0.67	1.46	12.91	1.28	2.50	55.5	553	102	1	25	16	13	208	31	192	5	91	14	15	77	73	53	14	16	77	3.33
ACM028	5.13	14.87	0.08	0.16	0.70	1.52	8.84	0.93	2.51	57.95	599	90	1	23	17	24	221	33	166	1	92	16	15	73	75	26	12	19	90	6.29
ACM029	5.79	16.62	0.07	0.11	0.73	1.65	11.90	1.18	2.39	56.13	487	107	1	22	17	24	191	27	159	2	88	21	18	81	67	74	12	22	87	2.24
ACM030	5.47	15.64	0.08	0.15	0.78	1.61	8.18	1.22	3.00	60.5	529	118	1	22	18	22	220	34	163	4	89	18	16	82	71	79	14	21	92	2.35
ACM031	5.84	17.30	0.09	0.08	0.79	1.45	3.78	1.46	3.12	63.19	515	128	1	24	18	30	224	33	138	2	89	19	19	93	80	138	13	17	111	1.61
ACM032	5.90	15.39	0.08	0.13	0.81	1.60	11.57	0.80	2.75	54.17	546	111	1	25	18	23	162	32	185	6	79	13	15	78	79	43	15	17	77	6.00
ACM033	5.25	15.59	0.08	0.16	0.76	1.41	7.92	1.23	2.91	59.88	534	110	1	23	16	41	216	32	158	3	94	14	16	71	67	64	12	16	95	3.55
ACM034	7.07	17.37	0.10	0.15	0.94	1.79	5.64	1.16	2.98	58.12	575	124	1	29	20	31	224	38	154	4	108	18	20	103	103	56	18	16	98	3.25
ACM035	6.49	16.73	0.09	0.13	0.91	1.86	7.56	1.39	2.99	59.39	478	121	1	28	18	21	234	39	154	2	95	24	19	98	96	179	17	16	102	0.38
ACM039	5.73	16.15	0.08	0.33	0.79	1.49	5.03	1.25	2.78	60.66	743	105	0	24	17	27	247	29	171	0	80	14	19	95	86	52	19	18	112	5.32
ACM040	7.21	17.56	0.11	0.53	1.01	1.81	5.73	1.16	2.95	58.55	656	111	-1	33	21	31	258	41	172	5	113	19	21	98	99	68	19	22	69	2.49
ACM041	6.11	15.70	0.11	0.16	0.88	1.76	7.83	1.25	2.69	57.87	512	91	0	31	19	28	241	36	167	4	111	22	20	87	90	74	18	18	68	4.50
ACM042	6.87	16.95	0.11	0.20	0.98	1.56	5.71	0.99	2.88	57.31	667	110	-1	33	21	31	267	38	189	4	127	19	21	102	99	31	20	21	70	5.33
ACM043	7.14	18.17	0.09	0.11	0.87	1.60	4.21	1.03	2.99	58.62	568	124	-1	30	20	31	258	38	146	3	105	19	23	114	98	51	20	22	75	3.69
ACM044	6.18	17.94	0.10	0.09	0.83	1.44	2.73	1.19	2.99	63.37	491	112	0	27	18	30	234	30	138	2	88	20	20	93	81	67	12	18	81	2.16
ACM045	6.18	16.45	0.10	0.19	0.85	1.57	6.65	1.21	3.12	58.57	681	118	0	29	19	30	271	35	185	2	101	19	20	92	91	60	18	19	68	4.56
ACM046	6.18	17.27	0.09	0.17	0.77	1.19	5.65	0.83	2.59	56.37	911	106	0	28	18	30	193	28	177	4	82	17	21	89	84	29	16	17	60	7.63
ACM047	6.96	18.17	0.09	0.21	0.87	1.78	5.89	1.32	3.07	58.22	558	131	-1	32	20	32	249	41	166	4	95	20	24	98	101	100	19	19	61	2.20
ACM048	6.05	17.18	0.09	0.18	0.77	1.23	5.94	0.92	2.66	56.34	877	104	-1	27	18	28	218	29	174	3	91	16	21	88	82	25	15	23	61	7.83
ACM049	6.97	19.04	0.10	0.11	0.87	1.59	5.94	1.17	2.91	57.45	593	136	-1	32	20	29	240	34	148	2	96	21	24	97	94	109	19	21	59	2.76
ACM050	6.98	19.18	0.10	0.13	0.88	1.59	5.06	1.15	2.96	58.58	627	134	-1	31	20	33	244	34	139	2	120	19	23	107	91	92	16	20	64	2.53
ACM051	6.52	17.97	0.09	0.14	0.83	1.55	6.51	1.20	2.97	57.89	705	132	-1	31	20	31	232	35	168	4	109	15	23	89	92	85	18	19	59	3.32
ACM052	6.73	18.06	0.09	0.14	0.84	1.50	6.80	0.91	2.83	56.13	775	121	0	31	20	30	211	33	171	3	98	16	22	99	93	33	17	19	60	5.03
ACM053	7.05	19.26	0.10	0.11	0.88	1.61	5.26	1.07	2.84	57.49	549	125	-1	31	20	31	241	32	134	3	96	18	23	106	92	74	15	19	67	3.22
ACM054	6.03	16.50	0.08	0.19	0.77	1.65	9.02	1.23	2.83	55.87	716	115	-1	30	19	31	227	37	190	3	97	16	20	72	85	66	17	16	62	4.80
ACM055	6.56	19.01	0.09	0.11	0.80	1.47	5.34	1.36	3.26	58.76	578	138	-1	31	19	32	233	32	134	3	102	20	24	92	89	165	17	19	66	2.17
ACM056	6.98	19.14	0.10	0.11	0.87	1.58	5.17	1.18	2.93	58.19	635	137	-1	32	20	33	255	34	144	4	110	19	24	104	93	99	17	21	78	2.53

Continuació Taula 8.1.

Ic	Fe2O3	Al2O3	MnO	P2O5	TiO2	MgO	CaO	Na2O	K2O	SiO2	Ba	Rb	Mo	Th	Nb	Pb	Zr	Y	Sr	Sn	Ce	Co	Ga	V	Zn	W	Cu	Ni	Cr	PAF
ACM057	6.63	18.69	0.09	0.12	0.83	1.56	5.97	1.27	3.00	58.49	563	135	-1	30	20	31	234	34	149	3	81	19	23	98	92	89	17	20	73	2.00
ACM058	6.10	17.22	0.09	0.15	0.77	1.24	5.81	0.89	2.71	56.87	895	102	0	29	18	27	210	28	176	2	84	16	20	88	84	24	15	16	67	7.14
ACM059	6.89	18.49	0.09	0.13	0.86	1.62	6.65	1.01	2.91	56.05	617	133	-1	33	21	29	219	35	156	5	99	16	24	106	96	56	18	19	64	3.98
ACM060	5.82	16.73	0.09	0.09	0.77	1.38	4.62	1.11	2.87	61.75	695	105	0	29	18	29	209	32	167	5	91	17	20	92	78	60	13	16	59	4.39
ACM061	6.21	17.76	0.10	0.11	0.83	1.53	2.93	1.20	3.03	63.41	513	125	-1	28	19	29	247	33	140	1	95	21	21	104	83	92	14	19	75	1.67
ACM062	6.56	18.83	0.08	0.16	0.81	1.46	5.19	1.20	3.34	58.4	517	134	-1	31	20	32	236	34	120	4	101	21	24	96	89	68	16	22	71	2.82
ACM063	5.77	16.39	0.09	0.15	0.75	1.32	5.69	1.16	2.69	59.85	659	102	-1	31	18	27	231	36	161	2	110	16	19	81	79	66	13	16	68	5.82
ACM064	6.59	18.50	0.11	0.10	0.85	1.58	4.45	1.16	2.91	60.16	549	121	-1	30	20	30	230	42	148	3	98	19	22	98	87	68	14	21	72	2.64
ACM065	6.49	18.11	0.10	0.13	0.83	1.57	5.56	1.26	2.95	59.57	581	129	-1	31	20	29	245	34	147	2	118	17	22	98	89	90	18	20	69	2.70
ACM066	5.58	15.65	0.08	0.16	0.76	1.46	7.64	0.83	2.79	57.34	809	102	-1	27	18	27	239	32	199	2	84	16	19	84	87	23	17	19	65	7.29
ACM067	5.83	16.52	0.09	0.15	0.81	1.65	7.34	1.41	2.98	59.52	589	122	-1	27	19	30	265	34	176	3	87	17	20	84	88	76	18	21	66	3.03
ACM068	5.76	16.31	0.09	0.15	0.78	1.68	8.14	1.39	2.89	58.71	591	118	-1	29	19	34	261	35	178	3	86	18	20	79	86	94	19	21	61	3.14
ACM069	5.65	16.35	0.08	0.14	0.75	1.45	8.14	1.26	2.88	58.83	528	114	-1	29	19	25	240	31	162	3	88	17	19	84	76	80	16	19	59	3.50
ACM070	5.34	15.69	0.08	0.14	0.72	1.46	9.01	1.30	2.86	58.84	505	111	-1	28	17	26	234	30	165	2	88	15	18	69	73	83	15	17	65	3.53
ACM071	5.80	16.42	0.09	0.17	0.78	1.67	8.31	1.38	2.89	58.5	563	114	-1	27	19	25	255	34	173	4	93	19	20	80	85	124	17	20	64	2.88
ACM072	5.44	15.59	0.08	0.16	0.70	1.47	12.00	1.34	2.58	55.57	504	102	-1	28	18	16	210	31	182	3	89	16	19	77	65	75	16	18	68	3.51
ACM073	6.86	18.07	0.09	0.16	0.88	1.84	6.15	1.25	2.78	57.53	582	113	-1	30	18	27	213	35	141	4	111	17	22	107	91	58	17	15	63	3.48
ACM074	7.07	18.39	0.09	0.13	0.91	1.85	3.89	1.40	2.98	59.66	523	121	-1	32	20	27	222	37	134	3	118	19	23	113	99	156	22	17	63	2.19
ACM075	7.43	19.02	0.09	0.13	0.93	1.91	3.86	1.23	3.04	59.14	497	125	-1	35	20	27	199	39	123	4	109	19	24	118	102	80	21	17	66	2.07
ACM076	6.72	17.80	0.08	0.13	0.89	1.64	3.92	1.24	2.93	60.22	546	112	-1	32	19	28	221	37	141	3	113	17	21	107	93	64	19	15	69	2.86
ACM077	6.94	18.25	0.09	0.12	0.90	1.88	6.80	1.47	2.80	57.2	520	119	-1	31	19	25	220	35	143	2	104	19	23	103	93	91	16	15	61	2.35
ACM078	7.10	17.73	0.11	0.16	0.93	1.81	7.21	1.33	2.78	57.33	571	117	-1	28	18	23	225	31	159	3	81	18	21	107	97	83	22	17	64	2.36
ACM079	7.00	18.15	0.09	0.11	0.90	1.84	4.39	1.50	2.97	60.28	514	124	-1	32	20	29	222	38	135	4	110	21	23	108	99	188	21	17	66	1.56
ACM080	6.69	17.74	0.09	0.13	0.86	1.78	6.23	1.33	2.80	57.09	587	115	-1	32	19	29	212	35	150	6	117	17	22	107	91	100	18	16	62	3.84
ACM081	7.15	17.64	0.12	0.15	0.97	1.99	7.92	1.24	2.71	56	606	115	-1	31	19	29	196	39	180	4	113	18	22	105	95	65	22	17	63	2.67
ACM082	7.40	19.06	0.09	0.13	0.93	1.90	3.81	1.38	3.02	59.82	490	127	-1	34	20	29	209	39	129	4	107	19	24	116	103	105	21	17	67	1.67
ACM083	7.20	18.47	0.08	0.11	0.89	1.77	3.99	1.11	2.97	58.71	523	118	0	36	19	29	196	38	134	6	125	17	23	118	101	54	21	16	60	3.35
ACM084	6.94	18.44	0.09	0.12	0.89	1.92	6.73	1.52	2.77	57.39	556	123	-1	31	19	27	219	36	148	4	100	18	23	106	95	104	17	16	62	1.80

Continuació Taula 8.1.

Ic	Fe2O3	Al2O3	MnO	P2O5	TiO2	MgO	CaO	Na2O	K2O	SiO2	Ba	Rb	Mo	Th	Nb	Pb	Zr	Y	Sr	Sn	Ce	Co	Ga	V	Zn	W	Cu	Ni	Cr	PAF
ACM085	7.43	18.84	0.09	0.11	0.95	2.00	3.62	1.51	2.88	60.11	520	125	-1	32	20	29	233	40	132	5	107	20	24	118	104	185	20	18	65	0.93
ACM086	7.19	18.55	0.09	0.13	0.93	1.81	3.80	1.22	2.98	59.83	529	119	0	32	20	29	210	38	130	6	111	18	23	117	97	67	21	16	71	2.20
ACM087	7.37	18.95	0.09	0.12	0.93	1.9	3.69	1.42	3.03	59.57	482	127	0	36	20	30	208	40	129	6	117	20	24	119	103	122	21	17	63	1.42
ACM088	4.84	14.99	0.05	0.15	0.77	1.1	9.22	1.06	2.57	60.08	592	99	-1	26	18	26	333	28	153	2	79	16	17	78	58	61	11	18	62	4.17
ACM089	6.57	17.76	0.09	0.13	0.89	1.64	3.96	1.26	2.90	60.70	580	113	-1	34	19	27	219	37	143	3	111	18	22	108	92	64	19	15	67	2.99
ACM090	7.63	20.02	0.09	0.10	0.93	2.00	2.47	1.38	2.98	60.94	509	131	-1	36	20	30	231	41	123	5	124	16	25	128	102	98	20	17	68	0.80
ACM091	6.60	17.80	0.09	0.12	0.85	1.76	6.05	1.46	2.84	58.11	561	116	-1	31	19	28	221	36	148	5	112	18	22	103	92	106	17	15	55	3.59
ACM092	7.58	19.86	0.09	0.14	0.90	1.84	2.47	1.12	2.90	59.23	697	120	0	35	20	27	210	40	133	4	115	17	24	124	99	45	21	15	67	2.86
ACM093	6.84	18.08	0.10	0.13	0.91	1.96	6.08	1.45	2.69	57.86	583	117	-1	30	19	27	232	36	150	4	112	17	23	107	91	80	15	15	64	3.18
ACM094	6.45	17.92	0.11	0.14	0.95	1.82	5.29	1.43	2.95	59.39	560	120	-1	35	20	25	227	36	153	4	113	17	22	97	86	68	17	13	61	3.24
ACM095	6.67	18.38	0.11	0.12	0.96	1.89	4.79	1.48	3.11	60.06	482	125	-1	37	20	27	214	36	143	6	119	17	22	100	89	85	17	14	60	2.30
ACM096	6.52	16.95	0.10	0.13	0.92	1.76	5.18	1.27	2.76	60.82	541	107	-1	27	19	25	271	33	149	2	89	20	20	110	88	100	18	17	67	3.33
ACM097	7.38	19.12	0.09	0.14	0.91	1.94	3.75	1.41	3.03	60.15	503	127	-1	35	20	29	204	40	125	4	121	18	24	116	103	103	21	17	66	1.23
ACM098	7.47	18.8	0.10	0.12	0.94	2.07	4.61	1.48	2.93	59.82	532	127	-1	33	20	29	225	40	134	5	103	19	24	116	106	106	20	18	67	1.17
ACM099	7.48	19.24	0.09	0.13	0.92	1.97	3.96	1.34	3.02	59.49	517	128	-1	34	20	30	200	40	125	4	110	18	24	116	106	81	23	17	66	1.77
ACM100	7.23	19.16	0.08	0.22	0.85	1.57	2.86	0.92	2.72	58.69	1028	98	-1	31	19	26	197	36	166	4	99	16	22	124	91	24	20	13	64	6.32
ACM101	7.06	18.12	0.08	0.12	0.88	1.53	4.07	0.93	2.75	58.02	648	99	-1	31	19	26	181	34	152	3	112	18	22	117	96	23	19	14	62	6.84
ACM102	6.56	16.54	0.09	0.26	0.89	1.56	5.59	0.89	2.72	58.77	807	98	-1	25	17	24	220	30	187	3	93	19	19	112	88	31	17	17	69	5.78
ACM103	6.92	18.21	0.09	0.12	0.90	1.81	4.19	1.42	3.00	61.94	491	115	-1	30	18	25	204	33	130	3	100	21	21	109	92	121	19	15	68	1.06
ACM104	5.17	15.59	0.07	0.19	0.80	1.29	8.85	1.29	2.71	61.00	534	98	-1	28	17	24	291	28	151	3	97	15	17	79	58	89	10	14	62	2.50
ACM105	4.70	16.31	0.12	0.05	0.62	1.25	1.41	1.31	3.96	65.18	735	114	-5	26	17	28	220	31	127	0	95	13	20	90	74	25	15	6	100	4.06
ELV001	5.32	15.42	0.08	0.18	0.78	2.69	8.86	0.53	3.10	57.08	589	117	-1	20	17	30	221	25	199	4	76	18	19	90	94	56	24	30	74	5.81
ELV002	4.90	12.96	0.07	0.20	0.65	2.63	13.59	0.41	2.65	51.4	568	99	-1	18	16	26	180	24	240	1	71	18	16	81	86	34	19	32	69	10.97
ELV003	4.67	12.26	0.07	0.30	0.62	2.64	13.9	0.46	2.53	51.27	545	92	-1	17	15	26	174	23	266	3	64	15	16	87	82	39	16	28	64	11.57
ELV004	5.21	13.5	0.07	0.37	0.69	3.34	11.22	0.53	2.65	52.72	589	99	-1	19	16	29	190	25	261	1	60	14	17	82	95	35	20	29	70	9.96
ELV005	5.03	12.77	0.08	0.35	0.67	3.05	13.68	0.52	2.55	51.64	518	96	-1	17	15	31	187	25	240	2	62	15	16	74	90	29	20	30	69	10.03
ELV006	4.98	12.70	0.08	0.27	0.65	3.07	13.22	0.60	2.56	52.59	524	96	-1	18	15	26	186	24	239	2	60	18	16	74	85	57	20	30	70	9.47
ELV007	4.52	12.19	0.07	0.24	0.62	2.57	14.09	0.49	2.52	50.86	494	90	-1	16	14	23	168	22	260	4	61	14	15	79	80	24	18	27	65	12.20

Continuació Taula 8.1.

Ic	Fe2O3	Al2O3	MnO	P2O5	TiO2	MgO	CaO	Na2O	K2O	SiO2	Ba	Rb	Mo	Th	Nb	Pb	Zr	Y	Sr	Sn	Ce	Co	Ga	V	Zn	W	Cu	Ni	Cr	PAF
ELV008	4.80	11.91	0.07	0.4	0.62	2.31	14	0.32	2.41	49.34	462	87	-1	18	14	23	170	22	225	0	51	14	16	82	85	14	21	30	68	13.86
ELV009	5.26	13.19	0.08	0.45	0.67	3.21	12.22	0.49	2.66	52.15	728	101	-1	18	15	27	185	24	243	3	58	15	17	80	90	38	23	30	67	9.09
ELV010	4.63	12.03	0.07	0.44	0.61	2.86	16.2	0.53	2.53	48.31	446	94	-1	16	15	26	172	23	306	2	57	13	16	80	90	43	26	28	64	11.7
ELV011	4.65	11.57	0.07	0.55	0.6	2.7	16.02	0.45	2.39	47.75	479	87	-1	15	14	27	172	22	274	3	58	14	15	79	83	44	19	26	64	12.62
ELV012	5.25	14.06	0.07	0.42	0.7	2.89	13.35	0.58	2.78	53.44	552	105	-1	18	16	20	180	24	282	5	58	16	17	86	89	58	25	30	73	6.19
ELV013	4.84	12.78	0.06	0.5	0.68	3.09	11.87	0.49	2.51	52.06	545	93	-1	18	15	24	190	24	269	-1	55	14	16	83	87	33	18	29	68	10.46
ELV014	4.79	12.21	0.07	0.32	0.63	2.48	12.98	0.54	2.46	51.68	618	88	-1	17	14	24	176	23	243	2	51	15	15	80	84	26	19	27	70	11.94
ELV015	4.76	12.17	0.08	0.35	0.62	2.59	14.83	0.43	2.48	49.5	527	93	-1	17	15	29	176	23	257	3	44	17	15	82	83	40	17	29	64	12.41
ELV016	5.54	16.15	0.08	0.15	0.76	3.28	10.72	0.58	3.24	53.36	532	128	-1	20	17	33	189	25	228	1	68	18	20	85	97	36	27	33	72	4.9
ELV017	5.69	16.55	0.08	0.14	0.78	2.9	8.34	0.46	2.96	53.97	704	114	-1	19	18	31	202	26	220	4	69	21	21	98	99	25	22	38	76	6.93
ELV018	5.52	15.84	0.08	0.34	0.77	2.7	8.85	0.46	3.21	53.93	661	119	-1	20	17	31	191	25	199	3	72	17	19	101	93	20	15	32	73	7.8
ELV019	5.68	16.16	0.08	0.32	0.79	2.78	7.54	0.53	3.31	55.69	663	121	-1	20	17	32	198	26	180	3	72	21	19	107	101	26	24	32	73	6.39
ELV020	5.85	17.34	0.08	0.21	0.8	3.46	9.12	0.77	3.32	55.54	609	133	-1	21	18	29	185	27	202	5	82	21	21	102	96	56	25	36	80	2.13
ELV021	5.69	16.58	0.08	0.12	0.78	3.4	10.34	0.66	2.91	54.29	586	111	-1	20	17	31	194	26	188	4	62	21	20	93	101	51	27	35	76	4.06
ELV022	5.18	15.04	0.07	0.18	0.72	2.99	9.89	0.42	3.05	52.5	589	111	-1	20	16	30	184	24	187	3	75	20	18	94	94	28	26	31	68	8.73
ELV023	5.57	15.77	0.1	0.43	0.78	2.54	7.96	0.48	3.17	55.25	675	118	-1	20	17	32	201	26	193	2	72	18	19	105	93	23	20	32	78	7.49
ELV024	5.23	15.46	0.08	0.14	0.75	3.46	12.06	1.42	1.59	52.85	571	96	-1	20	17	32	192	25	218	4	76	19	19	82	92	60	26	34	72	6.51
ELV025	5.26	15.54	0.08	0.14	0.76	3.59	12.32	1.45	1.47	52.36	573	98	-1	19	17	46	192	25	222	2	73	20	19	83	95	46	28	35	73	6.49
ELV026	5.64	15.64	0.07	0.19	0.78	2.9	8.54	0.58	3.18	57.18	556	122	-1	20	17	35	223	26	192	4	68	19	19	88	95	60	27	32	71	4.62
ELV027	5.69	16.69	0.07	0.13	0.77	3.62	10.86	1.24	2.28	53.72	537	106	-1	20	17	29	185	26	219	5	73	17	21	98	100	53	25	37	73	4.08
ELV028	3.69	10.25	0.05	0.28	0.42	2.86	23.52	0.31	2.1	37.13	361	67	2	15	11	21	84	15	471	-2	37	13	14	59	85	24	21	22	58	19.67
ELV029	4.83	12.84	0.07	0.23	0.66	3.19	13.98	0.7	2.33	51.47	480	85	1	17	15	24	174	24	241	0	63	20	14	76	85	69	20	31	82	10.07
ELV030	4.88	13.5	0.07	0.28	0.63	2.99	12.5	0.62	2.73	52.05	496	97	1	19	15	29	163	23	235	-1	55	19	15	81	94	64	23	32	85	-4.16
ELV036	5.69	16.38	0.08	0.44	0.76	3.05	8.02	0.47	3.61	54.68	563	114	1	19	17	34	175	24	193	2	64	21	16	104	98	27	24	31	85	6.93
ELV037	5.09	15.12	0.07	0.24	0.7	3.22	10.9	0.4	3.42	49.66	507	102	1	20	16	31	151	22	187	2	59	16	16	90	101	11	26	30	78	11.2
ELV038	5.75	16.72	0.08	0.16	0.78	3.23	8.18	0.73	3.33	56.8	512	115	1	19	17	30	186	24	195	2	77	23	17	90	95	81	26	35	90	3.1
ELV044	5.28	15	0.07	0.19	0.67	3.72	12.61	1.44	1.75	53.72	463	87	1	19	16	19	154	22	206	2	55	16	16	84	94	35	22	32	84	4.73
ELV045	4.92	13.55	0.08	0.25	0.65	3.13	14.14	1.15	2.15	52.42	455	90	1	17	15	30	165	24	231	3	65	21	15	72	90	98	22	32	85	6.99

Continuació Taula 8.1.

Ic	Fe2O3	Al2O3	MnO	P2O5	TiO2	MgO	CaO	Na2O	K2O	SiO2	Ba	Rb	Mo	Th	Nb	Pb	Zr	Y	Sr	Sn	Ce	Co	Ga	V	Zn	W	Cu	Ni	Cr	PAF
ELV046	4.98	13.55	0.07	0.23	0.65	2.90	12.86	0.49	2.75	51.47	444	98	1	18	15	28	162	23	230	1	61	19	15	81	90	19	19	32	85	9.89
ELV047	4.96	13.16	0.07	0.25	0.61	3.57	15.59	1.63	1.13	50.27	438	70	1	20	15	22	145	22	286	1	62	18	15	79	89	65	20	30	90	8.19
ELV048	4.82	13.21	0.07	0.18	0.63	3.57	15.4	1.58	1.34	52.57	381	63	1	17	15	18	157	22	259	3	57	15	15	76	81	39	21	29	85	5.97
ELV049	4.78	12.37	0.08	0.29	0.58	2.76	15.72	0.45	2.49	48.34	460	87	1	17	14	24	137	20	276	1	44	18	14	76	79	59	17	27	80	12.21
ELV050	5.09	13.57	0.07	0.18	0.65	3.71	15.26	1.41	1.27	49.79	494	80	1	18	15	25	160	24	239	2	46	16	15	78	91	30	21	32	81	8.83
ELV051	5.26	13.65	0.08	0.38	0.66	2.84	13.52	0.57	2.76	51.40	504	98	1	17	15	26	161	22	226	1	60	19	16	81	90	45	23	30	80	9.12
ELV052	4.33	11.92	0.07	0.34	0.62	2.82	14.81	0.44	2.47	49.93	432	86	1	16	15	25	167	21	234	-1	50	11	14	76	83	24	18	27	93	12.8
ELV053	5.15	13.59	0.08	0.31	0.67	3.19	13.84	0.94	2.34	52.18	420	90	1	16	15	23	167	24	245	2	53	19	16	84	90	77	22	31	75	7.59
SBL001	5.13	15.07	0.07	0.23	0.69	1.54	11.65	1.03	2.60	58.47	554	124	1	19	16	23	193	23	192	1	63	17	19	81	87	105	26	29	127	2.83
SBL002	5.85	15.05	0.08	0.19	0.74	1.97	8.55	0.70	3.01	60.81	516	121	5	16	18	30	250	29	240	4	75	18	14	87	93	70	26	34	113	3.07
SBL003	5.79	15.13	0.07	0.15	0.8	1.77	7.46	0.76	3.01	62.73	490	122	6	18	18	34	304	31	204	4	85	20	15	81	92	102	27	33	109	2.50
SBL004	4.25	13.3	0.05	0.16	0.57	1.65	13.72	1.12	2.64	56.74	502	106	5	16	15	29	163	22	196	4	51	14	12	52	80	83	23	24	92	6.26
SBL005	6.19	15.37	0.10	0.36	0.76	1.78	8.19	0.77	3.32	57.68	705	121	5	16	18	32	240	30	327	3	78	17	14	87	91	46	27	35	95	5.69
SBL006	4.97	13.62	0.06	0.14	0.71	1.25	9.76	0.55	2.75	60.16	465	107	6	17	17	27	259	28	154	3	70	20	14	83	74	57	19	27	101	6.43
SBL007	5.55	15.04	0.06	0.11	0.78	1.50	9.71	0.65	2.78	61.8	446	121	6	20	19	29	277	30	155	2	83	20	14	88	83	108	22	33	112	2.06
SBL008	4.98	13.57	0.06	0.22	0.71	1.88	11.13	0.46	3.07	56.01	463	112	5	17	17	32	231	28	221	2	72	15	13	84	103	27	23	28	95	8.49
SBL009	5.62	15.12	0.06	0.13	0.79	1.48	8.77	0.63	2.82	62.15	441	117	0	20	18	24	265	28	146	2	81	20	18	91	81	111	22	31	107	1.83
SBL010	5.43	14.69	0.06	0.11	0.76	1.47	9.99	0.65	2.78	60.89	427	117	5	20	18	25	262	29	157	3	66	18	14	84	79	98	21	32	111	3.20
SBL011	5.23	14.14	0.07	0.18	0.78	1.33	9.55	0.60	2.80	59.73	447	109	0	19	17	26	274	27	154	0	76	16	17	88	77	53	18	29	121	5.50
SBL012	5.81	14.96	0.07	0.29	0.77	1.81	9.32	0.62	3.08	59.14	512	120	6	18	18	34	265	29	232	5	66	16	13	89	94	41	25	32	101	4.33
SBL013	4.82	13.13	0.07	0.23	0.69	2.07	11.19	0.56	2.75	58.77	538	102	5	18	17	28	266	28	207	4	69	18	12	72	85	64	24	27	92	6.06
SBL014	5.26	13.89	0.06	0.39	0.72	1.92	10.45	0.53	3.07	57.77	548	116	5	17	17	31	242	27	227	4	73	15	12	84	94	41	24	29	104	6.59
SBL015	5.41	14.27	0.07	0.16	0.73	1.95	9.67	0.76	2.89	60.37	466	114	1	19	17	27	248	27	234	2	80	17	18	73	84	82	21	30	116	3.46
SBL016	5.71	14.99	0.07	0.33	0.78	1.63	7.88	0.61	3.11	61.00	469	119	6	19	19	34	279	31	207	2	74	17	14	96	86	40	23	31	107	3.97
SBL017	6.27	16.40	0.08	0.12	0.83	1.96	7.65	0.72	3.11	61.31	484	132	5	20	19	34	284	32	219	4	79	20	15	90	99	108	26	37	119	1.46
SBL018	5.40	14.73	0.06	0.18	0.76	1.32	9.63	0.55	2.89	59.8	468	113	6	18	18	28	256	28	149	3	64	18	14	86	82	54	20	30	102	5.00
SBL019	5.11	13.97	0.06	0.20	0.74	1.54	10.26	0.59	2.90	59.5	459	109	6	18	18	31	249	28	165	4	78	17	14	79	82	48	23	28	100	5.53
SBL020	5.98	15.45	0.07	0.15	0.77	2.01	8.68	0.71	3.04	59.87	482	122	6	18	18	32	258	31	222	3	77	18	14	80	98	59	26	35	116	3.13

Continuació Taula 8.1.

Ic	Fe2O3	Al2O3	MnO	P2O5	TiO2	MgO	CaO	Na2O	K2O	SiO2	Ba	Rb	Mo	Th	Nb	Pb	Zr	Y	Sr	Sn	Ce	Co	Ga	V	Zn	W	Cu	Ni	Cr	PAF
SBL021	5.52	15.33	0.06	0.12	0.77	1.46	10.98	0.72	2.69	59.99	437	120	5	19	18	31	257	29	158	5	84	20	13	85	84	136	22	33	105	2.47
SBL022	6.18	16.09	0.07	0.18	0.82	1.86	7.27	0.67	3.13	60.99	525	124	0	19	18	27	262	29	211	-1	93	17	19	98	90	74	24	34	120	2.40
SBL023	5.02	13.98	0.07	0.18	0.71	2.03	9.59	0.67	2.96	61.5	455	115	5	18	18	27	274	29	196	3	62	19	13	77	92	65	25	29	116	3.26
SBL024	5.87	15.15	0.07	0.18	0.77	1.71	6.82	0.63	3.05	61.27	580	115	-1	19	17	26	280	28	224	1	74	19	18	93	90	77	25	33	138	4.23
SBL025	5.73	14.82	0.07	0.12	0.75	1.77	7.93	0.60	2.98	60.37	540	117	5	18	18	32	282	31	222	4	65	20	15	90	89	58	24	33	101	5.20
SBL026	5.71	14.81	0.08	0.34	0.76	1.61	7.78	0.65	3.11	61.22	499	119	5	17	18	34	267	30	200	4	75	19	14	93	88	43	26	33	113	4.02
SBL027	5.69	15.58	0.06	0.13	0.76	1.84	9.40	0.63	3.00	59.75	454	125	5	18	18	33	243	28	158	3	60	20	14	79	93	67	27	34	102	2.73
SBL028	5.12	13.97	0.06	0.17	0.74	1.41	8.92	0.55	3.01	60.10	441	107	5	19	18	30	277	29	156	2	75	20	15	85	84	55	23	29	116	6.40
SBL029	5.89	15.26	0.07	0.15	0.75	1.81	7.53	0.66	3.23	61.67	471	124	6	20	18	32	253	30	208	1	74	18	16	86	93	71	26	35	113	3.23
SBL030	5.44	14.59	0.06	0.26	0.75	1.77	9.63	0.59	3.16	59.34	441	123	5	17	18	30	260	29	214	3	85	17	15	87	88	47	23	31	107	4.49
SBL031	5.97	15.42	0.08	0.13	0.80	1.76	6.75	0.80	3.19	63.05	479	126	5	19	19	32	298	31	190	1	86	20	16	87	93	79	26	34	117	2.00
SBL032	6.12	15.74	0.07	0.13	0.80	2.01	7.98	0.76	3.01	60.32	519	124	0	20	18	27	258	29	237	1	80	21	19	91	91	105	25	36	133	2.57
SBL033	5.98	15.52	0.09	0.15	0.79	1.85	7.54	0.69	3.04	60.42	592	120	0	20	18	24	264	28	209	2	75	24	18	91	85	68	22	35	114	3.73
SBL034	5.51	14.53	0.10	0.15	0.74	1.77	7.65	0.65	3.07	61.42	720	116	6	17	18	32	261	29	234	4	78	22	15	82	85	50	21	35	93	5.03
SBL035	5.57	14.83	0.08	0.13	0.73	2.04	8.23	0.76	3.01	60.79	519	119	5	18	18	27	257	29	233	3	80	21	15	84	90	68	24	34	101	3.42
SBL036	5.76	14.9	0.10	0.15	0.76	1.61	7.94	0.57	3.16	59.84	719	116	6	19	18	30	255	30	233	3	62	20	15	91	84	41	21	35	90	5.53
SBL037	5.42	14.49	0.08	0.12	0.73	2.04	9.79	0.81	2.84	60.40	480	112	5	16	18	19	259	29	244	2	74	19	13	80	101	68	23	33	92	3.09
CSC001	4.21	11.35	0.11	0.35	0.54	4.94	13.57	1.44	1.85	51.97	502	46	4	13	13	25	142	20	213	4	50	14	14	55	67	37	21	21	57	9.79
CSC002	4.94	12.84	0.08	0.55	0.60	5.47	10.63	1.18	2.57	53.30	684	61	4	15	15	24	181	23	230	6	56	15	16	65	91	39	29	27	65	7.32
CSC003	4.20	11.98	0.09	0.30	0.56	4.90	12.64	0.38	3.07	50.48	522	75	3	13	14	25	169	21	244	4	44	15	15	58	74	22	23	23	61	10.83
CSC004	4.37	12.12	0.06	0.31	0.57	5.84	10.10	0.27	2.68	51.18	474	67	1	14	14	25	162	21	158	2	49	15	16	68	96	10	25	32	58	11.81
CSC005	4.80	13.06	0.11	0.53	0.63	5.27	10.81	1.71	2.42	52.62	729	52	2	13	15	28	178	25	289	5	71	18	16	65	82	35	27	25	66	7.53
CSC006	4.14	11.54	0.06	0.25	0.53	4.86	15.06	0.46	2.78	50.36	718	76	4	21	14	18	147	21	341	2	140	14	15	55	67	37	19	23	60	9.21
CSC007	4.84	13.48	0.08	0.19	0.65	3.53	8.44	1.48	2.95	60.17	583	87	3	15	16	14	220	27	229	3	71	21	16	75	74	75	23	28	72	3.67
CSC008	4.93	13.48	0.09	0.28	0.65	4.52	10.45	0.90	3.46	56.27	606	105	4	14	16	13	208	25	271	3	67	19	17	75	76	54	23	29	76	4.29
CSC009	4.38	12.20	0.06	0.37	0.57	3.67	13.77	1.51	1.94	52.23	632	50	3	3	15	9	166	23	868	5	50	15	14	63	68	40	19	24	63	9.05
CSC010	4.21	11.91	0.06	0.34	0.54	3.66	15.16	0.68	2.76	51.32	740	80	3	0	14	14	163	23	1013	6	45	14	15	56	77	65	23	24	57	8.76
CSC011	4.84	13.53	0.08	0.17	0.65	4.75	10.66	2.32	1.87	57.75	439	53	3	14	15	10	192	25	282	2	62	19	17	72	75	96	21	28	68	3.20

Continuació Taula 8.1.

Ic	Fe2O3	Al2O3	MnO	P2O5	TiO2	MgO	CaO	Na2O	K2O	SiO2	Ba	Rb	Mo	Th	Nb	Pb	Zr	Y	Sr	Sn	Ce	Co	Ga	V	Zn	W	Cu	Ni	Cr	PAF
CSC012	4.30	11.77	0.08	0.43	0.53	5.14	15.48	1.53	1.65	47.40	620	43	3	9	14	6	142	20	489	4	46	16	15	60	70	32	25	24	63	11.18
CSC013	4.38	12.13	0.07	0.48	0.58	3.69	14.86	1.53	1.79	50.86	654	47	3	-1	14	7	165	23	1181	3	51	14	15	59	72	41	20	25	62	9.06
CSC014	4.56	12.86	0.07	0.39	0.57	4.27	13.31	1.56	1.67	52.92	586	40	3	9	15	9	166	23	626	4	68	14	14	65	54	33	17	23	65	7.13
CSC015	4.94	13.97	0.06	0.19	0.62	6.31	10.99	2.55	1.58	56.60	391	50	3	14	15	10	163	24	222	3	47	17	18	76	90	69	17	30	76	2.00
CSC016	4.87	14.20	0.08	0.24	0.63	2.15	10.70	0.71	2.93	57.33	656	112	3	15	15	26	174	25	184	6	68	16	17	67	92	53	25	25	70	5.49
CSC017	4.98	14.53	0.09	0.13	0.66	2.05	11.87	0.76	2.90	57.01	577	116	4	17	16	23	194	27	181	4	56	19	18	71	92	75	25	25	70	4.26
CSC018	6.50	16.63	0.09	0.21	0.81	1.39	2.39	0.73	2.91	65.24	693	120	1	19	19	34	268	30	122	4	82	20	20	103	107	45	32	37	94	2.80
CSC019	6.40	16.42	0.09	0.11	0.81	1.45	2.82	0.77	2.99	65.60	605	124	1	19	19	34	264	30	132	6	78	23	21	108	101	70	30	35	90	2.27
CSC020	6.78	17.34	0.09	0.16	0.83	1.41	2.55	0.78	2.91	64.91	576	126	2	22	19	35	256	31	109	4	83	28	22	107	108	105	31	39	97	1.63
CSC021	4.86	13.47	0.07	0.15	0.63	4.83	10.83	2.24	1.85	57.61	454	52	3	14	16	10	192	25	269	3	58	19	17	75	76	102	20	28	70	2.93
CSC022	4.93	13.42	0.08	0.32	0.63	5.28	10.35	0.93	2.30	57.21	620	60	3	11	15	6	178	24	351	5	61	17	16	75	68	51	16	27	77	4.26
CSC023	4.85	13.57	0.07	0.31	0.63	5.71	10.88	1.26	2.19	55.84	638	59	3	14	16	7	185	25	264	3	62	17	16	73	69	40	19	29	77	4.50
CSC024	4.96	13.48	0.07	0.43	0.64	5.57	11.63	1.69	1.90	56.19	511	49	3	12	16	7	192	25	403	4	52	20	17	77	64	55	14	29	73	2.43
CSC025	5.14	13.73	0.08	0.45	0.64	6.79	11.90	1.96	1.75	53.09	517	42	4	13	15	15	172	25	264	4	58	20	17	73	68	45	25	30	72	4.29
CSC026	4.98	13.54	0.07	0.17	0.63	6.00	10.39	0.62	3.74	53.15	566	112	4	12	16	21	176	23	344	5	54	17	18	75	79	36	31	30	74	6.57
CSC027	4.84	13.24	0.07	0.17	0.62	4.79	10.21	0.52	3.72	53.18	571	110	4	10	15	22	170	23	382	4	58	15	18	82	78	27	32	29	70	9.13
CSC028	5.01	13.71	0.07	0.15	0.63	5.89	9.95	0.76	3.68	54.84	592	112	4	13	16	24	178	23	334	6	57	18	18	68	79	56	30	30	70	4.97
CSC029	4.43	12.38	0.16	0.61	0.56	3.58	9.84	0.69	3.61	55.90	741	92	3	15	14	22	173	24	255	3	58	20	15	67	78	45	27	27	69	7.73
CSC030	5.32	14.32	0.09	0.73	0.64	2.27	12.27	0.62	2.65	52.84	801	95	3	14	15	24	179	27	273	6	56	17	16	67	81	42	27	27	67	7.59
CSC031	4.88	13.85	0.09	0.16	0.61	2.41	15.54	0.97	1.87	51.67	573	76	3	13	15	11	172	25	385	3	54	17	17	64	78	61	24	25	65	7.33
CSC032	5.68	15.34	0.07	0.24	0.68	5.92	8.48	2.21	2.24	57.26	478	101	4	15	16	6	180	25	244	2	55	22	20	86	85	96	17	34	79	1.53
CSC033	4.59	12.32	0.07	0.38	0.58	5.44	11.89	1.50	2.27	52.16	681	92	3	13	14	12	169	22	208	4	52	15	14	64	74	40	26	25	67	8.49
CSC034	4.85	13.34	0.08	0.24	0.59	8.04	10.79	0.52	3.25	51.88	595	89	3	14	15	23	154	23	259	3	62	15	17	59	80	39	28	27	72	6.42
CSC035	5.04	13.62	0.07	0.41	0.64	4.31	10.29	1.28	2.53	54.73	591	94	3	11	16	18	181	25	442	5	62	18	16	74	79	47	27	28	70	7.06
CSC036	4.87	13.70	0.06	0.32	0.63	3.82	11.53	1.89	1.99	55.59	535	71	3	11	16	16	175	24	333	5	54	20	17	76	73	76	22	26	69	5.39
CSC037	5.03	13.64	0.06	0.24	0.63	6.06	11.97	2.38	1.58	54.40	480	69	3	12	15	8	169	24	414	2	66	20	17	76	62	61	26	28	75	3.93
CSC038	4.79	13.20	0.08	0.21	0.64	4.84	11.65	1.93	2.11	57.3	464	65	3	12	16	12	200	26	364	5	68	20	17	71	71	79	17	28	71	2.43
CSC039	4.57	13.67	0.07	0.27	0.60	4.44	10.13	2.03	2.20	59.12	545	77	2	13	15	18	163	23	357	5	62	22	17	71	68	111	22	25	72	2.80

Continuació Taula 8.1.

Ic	Fe2O3	Al2O3	MnO	P2O5	TiO2	MgO	CaO	Na2O	K2O	SiO2	Ba	Rb	Mo	Th	Nb	Pb	Zr	Y	Sr	Sn	Ce	Co	Ga	V	Zn	W	Cu	Ni	Cr	PAF
CSC040	4.80	13.60	0.07	0.16	0.61	6.10	12.25	2.24	1.83	55.50	368	52	2	13	15	9	167	23	275	5	58	19	17	76	69	74	14	28	72	2.33
CSC041	4.97	13.48	0.09	1.35	0.64	4.41	10.71	1.59	2.13	57.04	913	67	3	14	15	12	212	26	333	4	67	26	16	75	79	97	20	29	70	3.53
CSC042	4.46	12.77	0.06	0.47	0.56	4.64	13.24	2.03	1.83	55.06	679	64	3	8	14	8	150	22	554	4	48	19	16	65	62	108	19	24	64	5.36
CSC043	4.84	13.62	0.06	0.21	0.61	6.77	11.71	2.15	2.17	52.14	544	79	3	14	15	26	147	22	348	4	64	16	17	66	76	40	28	27	69	5.87
CSC044	4.41	13.27	0.07	0.37	0.57	4.29	8.72	1.02	3.26	60.46	733	98	2	16	14	13	161	22	203	3	67	18	16	65	71	103	16	24	69	3.20
CSC045	5.00	13.23	0.06	0.33	0.62	4.70	12.14	2.10	2.13	52.49	684	73	3	11	16	20	169	23	371	5	47	17	17	64	75	42	28	28	69	6.62
CSC046	4.15	12.08	0.06	0.63	0.53	4.35	12.62	2.05	1.97	53.92	781	66	3	10	14	9	162	21	384	3	45	19	15	61	65	82	22	23	63	7.06
CSC047	4.94	13.38	0.07	0.54	0.62	5.01	12.77	2.14	1.96	53.25	646	77	3	11	16	19	169	24	453	5	43	19	17	70	69	72	26	28	69	5.19
CSC048	4.83	13.48	0.07	0.35	0.61	5.17	10.50	0.86	3.28	56.16	869	93	3	13	15	16	161	22	211	3	58	17	17	66	75	60	19	27	70	4.23
CSC049	3.86	14.46	0.04	0.25	0.66	1.51	8.37	0.84	3.87	60.81	618	213	2	16	16	18	186	26	218	4	70	23	17	80	88	83	18	32	73	5.27
CSC050	4.91	13.42	0.08	0.47	0.66	4.10	10.74	0.94	2.36	57.00	639	69	3	15	15	6	208	27	302	4	76	23	15	73	66	67	19	27	70	5.39
CSC051	4.97	13.45	0.07	0.22	0.64	5.89	12.56	2.12	1.70	55.50	398	62	3	14	15	7	182	25	272	3	61	18	18	79	72	91	10	29	71	2.10
CSC052	4.81	13.35	0.07	0.28	0.64	4.48	11.41	0.78	2.59	58.13	499	66	3	15	15	5	196	27	238	3	55	20	15	73	65	89	10	26	83	3.53
CSC053	5.78	15.94	0.08	0.24	0.72	2.01	5.93	0.76	3.42	60.64	535	128	1	19	17	33	208	28	139	4	67	22	20	89	99	82	25	26	81	3.30
CSC054	5.65	15.34	0.07	0.28	0.74	1.84	7.38	0.83	3.34	60.57	543	128	2	18	17	27	215	28	145	6	70	18	18	81	86	92	23	25	76	3.32
CSC055	5.75	15.40	0.08	0.40	0.74	1.75	6.48	0.74	3.32	60.82	537	121	1	18	16	46	220	28	131	4	62	19	18	85	90	70	22	24	74	4.06
CSC056	5.89	16.03	0.08	0.17	0.75	1.91	7.85	0.82	3.20	61.03	507	131	3	18	17	31	219	30	150	6	69	18	20	83	97	112	24	28	78	1.83
CSC057	5.24	14.76	0.07	0.23	0.71	1.78	9.00	0.85	3.15	60.25	501	121	2	17	16	28	203	27	155	6	74	16	18	69	84	92	22	23	72	3.16
CSC058	5.61	15.47	0.08	0.13	0.75	1.81	7.18	0.88	3.21	62.75	510	131	2	18	17	32	247	31	146	5	74	21	20	82	96	145	23	27	75	1.43
CSC059	5.43	15.17	0.08	0.16	0.71	1.93	7.82	0.88	3.27	61.63	464	123	1	18	16	26	211	27	145	4	72	20	18	80	91	95	22	23	78	2.07
CSC060	5.64	15.57	0.08	0.15	0.73	1.85	7.83	0.84	3.18	61.70	516	126	2	17	17	35	229	29	143	6	74	19	19	77	94	121	23	26	80	2.06
CSC061	5.52	15.25	0.08	0.40	0.72	1.84	8.31	0.77	3.30	59.53	577	127	3	19	16	39	204	28	156	6	86	17	18	82	89	51	23	25	80	3.63
CSC062	5.5	15.2	0.08	0.25	0.74	1.77	6.71	0.84	3.23	62.84	502	126	2	18	17	33	256	30	135	6	76	16	19	82	92	66	23	26	81	2.77
CSC063	5.51	14.82	0.09	0.27	0.69	1.71	7.10	0.53	3.34	57.97	572	105	1	18	16	30	200	26	116	4	74	16	18	85	89	21	22	24	69	7.70
CSC064	5.62	15.4	0.07	0.38	0.73	1.79	7.43	0.83	3.32	60.40	521	128	2	18	17	35	214	28	145	6	71	17	18	82	87	78	23	25	77	3.39
CSC065	5.98	16.13	0.08	0.26	0.75	1.89	6.18	0.74	3.34	60.53	513	125	1	20	17	30	213	29	134	7	86	21	19	89	93	64	26	26	78	3.62
CSC066	5.98	16.30	0.08	0.18	0.75	1.91	6.83	0.81	3.32	60.34	541	132	3	19	17	41	212	29	140	4	73	18	20	82	98	85	25	29	78	2.60
CSC067	5.35	14.75	0.07	0.31	0.70	1.72	7.75	0.86	3.23	61.86	529	123	2	18	16	44	222	27	145	5	57	18	18	81	86	90	21	23	74	3.00

Continuació Taula 8.1.

Ic	Fe2O3	Al2O3	MnO	P2O5	TiO2	MgO	CaO	Na2O	K2O	SiO2	Ba	Rb	Mo	Th	Nb	Pb	Zr	Y	Sr	Sn	Ce	Co	Ga	V	Zn	W	Cu	Ni	Cr	PAF
CSC068	5.51	14.48	0.07	0.34	0.66	1.53	8.14	0.49	3.18	56.61	560	109	2	17	16	31	189	26	124	5	59	19	18	90	90	20	25	25	73	8.77
CSC069	5.40	15.06	0.07	0.26	0.72	1.83	8.81	0.82	3.18	60.24	544	126	2	19	17	38	217	29	159	5	83	18	19	69	88	92	24	25	77	3.29
CSC070	5.28	14.89	0.07	0.20	0.71	1.82	9.20	0.82	3.15	59.84	550	124	2	17	17	37	211	29	160	5	74	19	19	68	89	94	24	24	72	3.86
CSC071	5.59	14.37	0.06	0.37	0.65	1.50	7.92	0.52	3.17	56.74	470	104	1	17	15	34	180	25	117	3	49	18	18	91	89	24	27	24	74	8.80
CSC072	5.47	15.25	0.07	0.27	0.75	1.78	6.85	0.86	3.19	62.15	486	121	1	18	17	35	240	29	140	6	57	17	18	82	90	92	23	25	78	3.13
CSC073	5.37	14.99	0.07	0.19	0.68	1.75	6.57	0.76	3.21	62.19	642	119	1	19	16	29	204	27	154	3	76	16	18	77	88	77	21	24	75	4.20
CSC074	5.76	16.00	0.08	0.13	0.73	1.98	8.82	0.74	3.1	60.23	497	128	4	19	17	28	222	30	196	3	76	19	20	87	98	150	24	28	82	1.70
CSC075	5.46	15.02	0.07	0.36	0.72	1.79	6.94	0.82	3.19	60.83	567	127	2	18	17	32	245	30	153	4	80	22	18	77	92	92	25	26	75	4.33
CSC076	5.51	15.28	0.07	0.18	0.72	1.85	8.68	0.83	3.14	61.20	512	127	3	18	17	25	218	28	161	5	85	19	19	82	89	143	23	25	74	1.83
CSC077	5.58	15.29	0.07	0.28	0.73	1.78	7.27	0.82	3.19	61.13	560	126	2	17	17	31	237	30	185	6	65	19	19	74	91	93	25	25	78	3.33
CSC078	5.55	15.29	0.08	0.15	0.75	1.85	7.54	0.82	3.15	62.23	509	127	2	20	17	32	249	32	147	6	87	19	19	83	91	123	23	26	75	2.37
CSC079	5.62	14.88	0.09	0.34	0.71	1.61	6.60	0.53	3.42	58.82	691	115	2	19	17	31	216	28	125	5	75	17	19	85	95	30	27	27	63	7.35
CSC080	5.63	15.76	0.07	0.13	0.70	1.90	8.39	0.84	3.20	60.73	513	129	3	19	17	31	198	27	154	5	69	19	20	78	93	124	24	27	76	2.10
CSC081	5.71	15.28	0.09	0.29	0.68	1.86	6.77	0.73	3.34	60.20	559	120	2	19	16	31	188	27	150	4	72	20	19	84	91	84	23	24	68	4.93
CSC082	5.52	15.44	0.07	0.23	0.70	1.80	7.12	0.85	3.24	61.69	532	127	3	20	16	29	212	28	146	4	80	21	19	78	89	105	24	26	77	2.66
CSC083	5.56	15.16	0.08	0.28	0.73	1.79	7.59	0.81	3.26	60.26	545	132	3	19	17	57	227	33	155	4	71	18	19	74	93	78	25	27	80	4.06
CSC084	5.95	16.17	0.08	0.19	0.75	1.90	7.20	0.76	3.30	59.97	524	130	3	17	17	31	208	29	151	4	67	17	20	78	94	67	24	27	78	3.46
CSC085	5.38	14.67	0.08	0.28	0.69	2.59	4.78	0.52	3.30	60.81	702	107	1	19	16	27	208	27	123	3	65	18	18	80	90	30	22	24	69	6.85
CSC086	5.76	15.06	0.09	0.37	0.70	1.81	6.90	0.46	3.35	56.44	625	114	3	20	17	30	207	28	121	5	93	17	19	89	97	24	30	30	65	8.13
CSC087	5.82	15.82	0.08	0.23	0.73	1.86	6.90	0.75	3.34	59.82	539	131	3	20	17	31	218	30	152	6	76	17	19	87	95	90	25	28	76	4.06
CSC088	5.64	15.52	0.08	0.19	0.74	1.83	6.93	0.83	3.21	61.64	509	129	2	18	17	30	246	31	139	4	78	21	19	83	93	115	24	27	74	2.76
CSC089	5.81	16.15	0.08	0.11	0.72	1.96	8.16	0.79	3.19	61.30	491	131	3	19	17	29	203	29	152	8	79	20	21	87	98	170	24	27	80	1.17
CSC090	5.46	15.14	0.08	0.12	0.73	1.83	7.92	0.82	3.10	62.38	490	129	2	20	17	26	257	30	151	2	87	19	19	84	91	186	22	26	78	1.53
CSC091	5.56	15.36	0.08	0.13	0.74	1.88	7.88	0.82	3.13	62.2	495	131	3	19	18	28	257	31	154	6	81	21	20	87	95	178	24	27	75	1.53
CSC092	5.61	15.24	0.10	0.13	0.72	1.96	8.82	0.84	3.16	61.88	480	126	3	19	17	16	238	29	164	6	54	22	20	86	89	215	23	29	80	0.73
CSC093	5.71	16.04	0.08	0.13	0.69	2.03	10.04	0.85	3.26	59.63	505	135	4	20	17	22	180	27	174	6	67	17	21	87	97	163	25	27	75	0.57
CSC094	5.97	16.52	0.08	0.12	0.73	2.25	11.04	0.75	3.32	57.70	531	142	4	17	18	28	188	30	185	6	88	21	22	90	106	194	24	30	80	0.37
CSC095	4.09	10.75	0.08	0.16	0.62	1.45	15.16	0.47	2.26	49.58	320	67	6	15	16	31	251	29	179	4	62	15	4	76	72	12	18	23	80	15.52

Continuació Taula 8.1.

Ic	Fe2O3	Al2O3	MnO	P2O5	TiO2	MgO	CaO	Na2O	K2O	SiO2	Ba	Rb	Mo	Th	Nb	Pb	Zr	Y	Sr	Sn	Ce	Co	Ga	V	Zn	W	Cu	Ni	Cr	PAF
CSC096	4.11	10.84	0.08	0.16	0.62	1.46	15.05	0.48	2.26	49.67	366	69	5	16	16	27	256	29	182	2	45	16	1	75	73	13	19	23	66	15.21
CSC097	4.13	10.85	0.07	0.16	0.63	1.44	14.99	0.48	2.26	49.96	328	68	6	16	16	28	251	29	174	2	45	16	5	75	72	14	18	23	94	15.32
CSC098	5.64	14.15	0.14	0.20	0.84	1.41	0.88	0.68	3.17	67.46	512	101	-5	20	19	38	365	38	81	3	93	23	18	117	85	22	26	33	115	4.93
CSC099	4.65	12.52	0.10	0.61	0.67	1.52	6.62	0.74	3.21	61	669	89	0	18	16	137	260	32	130	11	64	20	14	95	99	28	83	29	105	7.76
CSC100	4.06	11.16	0.08	0.44	0.67	1.26	8.41	0.84	2.65	60.22	536	78	0	17	16	117	287	31	121	6	52	22	13	85	82	32	37	23	125	9.39
CSC101	5.32	14.21	0.11	0.46	0.67	1.55	8.07	0.95	3.22	57.09	769	102	6	18	17	133	226	30	141	9	62	30	13	92	123	68	69	31	94	7.29
CSC102	5.66	14.43	0.16	0.67	0.73	1.47	6.81	0.63	3.17	57.08	692	96	5	17	17	97	276	34	178	8	88	28	13	98	103	24	42	39	92	8.21
CSC103	4.66	13.09	0.08	0.26	0.65	3.91	10.97	0.63	2.66	56.52	494	74	0	16	15	22	203	23	171	-3	65	14	14	69	68	25	19	25	155	5.36
CSC104	5.97	16.22	0.09	0.11	0.78	1.43	2.49	0.89	3.00	66.98	556	115	-1	20	17	31	240	26	100	-1	79	23	18	109	91	101	25	31	214	1.40
CSC105	5.58	15.38	0.08	0.09	0.72	1.43	2.80	1.00	3.03	68.28	490	113	-1	19	16	32	227	25	103	-2	76	25	17	99	86	160	23	28	257	1.30
CSC106	5.69	15.63	0.09	0.12	0.75	1.42	2.57	0.98	2.97	68.11	610	116	-2	19	17	32	255	28	97	0	98	28	18	101	90	188	24	30	158	1.07
CSC107	5.33	15.17	0.08	0.12	0.68	1.48	3.47	0.94	3.05	67.24	536	108	-1	20	16	29	220	24	108	-1	65	24	17	91	86	180	23	26	201	1.73
CSC108	5.84	15.99	0.09	0.13	0.77	1.35	2.70	0.91	2.94	66.66	484	113	-1	19	17	32	253	27	97	-1	84	26	18	105	92	178	25	30	200	1.53
CSC109	4.38	12.81	0.07	0.50	0.57	4.73	10.01	0.73	3.07	55.18	675	76	0	17	14	18	173	21	299	-2	48	16	14	68	82	53	22	23	128	7.16
CSC110	5.20	14.91	0.07	0.17	0.61	6.43	8.72	2.49	2.07	56.87	462	56	0	18	15	12	156	21	194	-1	64	20	18	82	80	118	16	29	108	1.26
CSC111	4.83	14.09	0.07	0.16	0.59	5.48	9.50	1.64	2.69	58.1	526	67	0	18	15	15	166	22	179	-1	52	21	17	77	79	112	20	27	107	1.77
CSC112	5.84	15.67	0.10	0.27	0.75	1.40	2.72	0.81	2.98	64.56	708	101	-1	19	17	29	244	25	155	1	68	24	17	96	88	41	24	32	122	4.23
CSC113	4.80	13.93	0.07	0.13	0.64	3.76	7.37	1.92	2.50	63.04	536	69	-1	17	15	28	194	22	151	0	60	24	16	79	77	138	22	25	126	1.43
CSC114	5.39	15.46	0.04	0.14	0.71	2.07	3.67	0.73	2.97	66.04	560	111	-1	17	16	28	229	29	123	-1	75	19	18	123	69	122	48	31	155	2.43
CSC115	6.19	16.40	0.09	0.09	0.81	1.65	2.89	0.82	3.11	65.84	518	118	-2	19	17	32	250	28	105	0	90	21	19	108	93	111	25	32	150	1.70
CSC116	4.55	13.15	0.08	0.27	0.63	3.98	9.31	1.94	2.18	61.48	532	62	-1	15	14	15	195	22	198	0	62	17	15	74	64	75	16	23	121	2.2
CSC117	5.78	16.00	0.08	0.11	0.75	1.31	2.63	0.94	2.95	67.7	513	114	-1	16	17	30	244	27	96	-2	74	28	18	100	90	202	24	29	138	1.23
CSC118	4.52	13.49	0.07	0.17	0.59	4.76	9.15	1.16	3.03	60.56	559	76	0	15	14	17	170	22	197	-1	54	18	16	69	73	84	19	24	120	1.33
CSC119	4.94	14.30	0.08	0.13	0.68	1.25	2.80	0.92	2.91	69.1	516	102	-2	14	15	25	244	25	105	1	67	20	16	85	76	113	20	24	115	2.36
CSC120	4.71	13.79	0.07	0.24	0.62	4.41	8.18	2.40	1.91	61.95	443	45	-1	15	14	13	179	23	193	-3	67	24	16	78	73	122	18	24	118	1.46
BCN082	7.33	17.47	0.11	0.30	0.97	2.05	2.62	1.32	3.17	63.03	525	121	-1	26	20	53	235	39	123	3	100	21	20	122	102	84	18	15	99	0.73
BCN083	5.23	14.45	0.07	0.62	0.65	1.16	8.94	0.53	2.97	58.19	677	104	1	17	15	44	182	22	166	0	59	15	15	81	75	46	25	26	112	6.69
BCN084	4.50	13.38	0.08	0.21	0.58	2.61	11.47	0.60	3.22	55.5	603	96	1	18	14	27	155	20	296	2	49	17	15	66	81	65	27	20	88	7.16

Continuació Taula 8.1.

Ic	Fe2O3	Al2O3	MnO	P2O5	TiO2	MgO	CaO	Na2O	K2O	SiO2	Ba	Rb	Mo	Th	Nb	Pb	Zr	Y	Sr	Sn	Ce	Co	Ga	V	Zn	W	Cu	Ni	Cr	PAF
BCN085	4.64	13.83	0.09	0.49	0.57	1.84	11.88	0.68	3.03	56.08	660	103	1	18	14	22	159	20	224	-1	55	16	15	70	82	46	22	21	97	6.46
BCN086	4.38	14.32	0.07	0.36	0.64	1.91	9.63	1.59	2.73	59.59	438	134	0	19	15	13	174	27	153	3	66	18	15	74	86	82	22	28	87	4.20
BCN087	4.92	13.22	0.05	0.26	0.63	4.07	10.71	0.34	3.48	49.59	462	92	0	16	16	24	177	20	141	0	56	20	16	84	68	43	28	28	84	12.47
BCN088	4.02	11.21	0.06	0.23	0.52	5.61	16.87	1.33	2.16	47.73	452	102	1	16	13	9	141	17	373	2	45	13	14	57	70	41	25	21	72	9.92
BCN089	4.17	12.89	0.05	0.23	0.51	7.27	10.88	0.55	4.65	52.47	531	104	1	15	13	24	107	15	197	1	49	13	15	61	70	33	24	23	89	6.32
BCN090	4.82	14.51	0.06	0.62	0.61	7.05	10.84	0.64	3.35	53.79	575	85	2	16	15	20	138	21	176	-1	66	16	17	69	89	43	20	29	93	2.73
BCN091	6.30	17.96	0.03	0.23	0.73	2.09	4.63	0.28	4.23	60.39	431	200	0	19	18	27	173	22	161	8	70	18	23	85	79	70	19	32	102	2.77
BCN092	7.48	20.28	0.08	0.09	0.90	1.83	1.30	1.66	3.37	61.75	567	135	-1	27	18	35	204	37	104	1	90	19	23	121	97	113	7	11	87	0.50
BCN093	6.98	16.74	0.07	0.24	0.87	1.36	3.02	0.69	2.18	65.69	359	98	-1	17	17	87	236	25	110	-1	82	24	19	111	82	120	19	33	201	1.63
BCN094	5.08	15.21	0.06	0.74	0.61	2.18	9.93	0.62	3.44	55.76	793	123	1	19	14	38	136	20	210	2	51	16	17	79	89	40	24	26	99	6.02
BCN095	6.84	18.24	0.10	0.17	0.87	1.80	1.86	1.37	3.24	63.49	511	130	-1	25	18	35	232	38	121	-1	94	19	20	114	97	94	16	15	118	0.83
BCN096	4.90	14.23	0.07	0.28	0.64	1.29	3.05	0.93	3.04	69.09	557	105	-1	19	15	33	204	23	110	0	71	18	16	83	97	112	24	25	154	2.47
BCN097	4.38	15.53	0.07	0.32	0.58	1.24	3.99	1.66	3.64	66.27	606	117	-1	18	14	102	190	28	128	1	48	18	18	67	79	84	19	15	128	1.90
BCN098	8.66	18.26	0.06	0.90	0.67	1.10	7.32	0.69	2.57	52.72	477	106	1	23	15	54	179	28	154	3	68	22	20	101	75	43	73	45	146	7.09
BCN099	4.27	12.23	0.08	0.27	0.55	6.69	11.93	0.46	3.61	49.78	517	94	1	17	13	29	140	19	199	-1	60	18	15	61	75	40	33	24	89	9.78
BCN100	4.74	11.74	0.08	0.73	0.54	5.22	14.37	0.65	3.30	48.79	787	98	2	16	14	21	145	19	763	1	44	18	15	60	79	53	29	24	87	9.52
BCN101	3.62	10.02	0.06	0.24	0.45	6.23	17.65	0.29	2.36	43.20	744	60	2	14	12	14	130	17	234	-1	31	15	13	57	67	29	20	18	69	15.98
BCN102	3.48	9.73	0.07	0.31	0.45	5.06	18.54	0.31	2.53	42.99	595	65	1	14	12	21	129	15	273	-1	27	13	12	57	69	20	24	18	76	16.89
BCN103	5.31	16.42	0.07	0.19	0.71	1.36	6.35	0.92	2.88	62.12	572	115	-1	19	16	33	240	30	123	3	60	15	18	83	78	60	18	18	91	3.00
BCN104	5.58	14.33	0.07	0.20	0.74	4.87	8.29	0.58	3.39	57.19	429	114	0	18	18	27	237	26	147	1	70	19	17	82	87	82	30	32	89	4.33
BCN105	5.50	15.46	0.09	0.37	0.65	1.94	10.64	0.57	3.65	55.09	604	153	1	20	16	36	146	23	254	0	59	18	18	79	91	51	24	31	88	5.43
BCN106	4.54	12.55	0.07	0.36	0.56	4.89	11.98	0.60	3.73	50.78	519	93	1	24	13	27	147	20	582	-1	84	15	15	65	72	33	26	24	78	9.32
LAT001	5.81	16.43	0.09	0.41	0.82	1.22	7.15	0.75	2.46	58.68	599	103	5	23	19	30	237	31	150	3	89	16	17	87	85	29	12	21	79	6.50
LAT002	5.02	12.52	0.07	0.33	0.65	2.39	13.44	0.53	2.21	54.52	364	89	6	13	17	26	185	26	281	5	63	20	11	75	84	29	29	52	118	8.95
LAT003	7.08	17.23	0.11	0.21	0.94	1.88	3.28	1.29	3.39	63.20	538	141	6	24	21	37	267	41	153	6	92	22	21	109	109	103	22	21	84	1.53
LAT004	5.04	12.57	0.08	0.39	0.65	2.40	13.91	0.53	2.25	54.00	361	90	6	12	16	41	180	25	295	2	53	17	11	76	85	35	29	48	102	8.76
LAT005	5.94	15.14	0.09	0.48	0.77	2.14	10.25	0.50	2.48	58.26	429	105	4	13	18	41	192	28	264	5	66	21	14	86	95	62	43	47	110	4.07
LAT006	8.50	19.63	0.11	0.30	1.12	2.26	3.74	1.49	2.88	57.86	575	125	5	31	22	41	287	48	163	6	109	19	21	117	114	96	16	18	64	1.60

Continuació Taula 8.1.

Ic	Fe2O3	Al2O3	MnO	P2O5	TiO2	MgO	CaO	Na2O	K2O	SiO2	Ba	Rb	Mo	Th	Nb	Pb	Zr	Y	Sr	Sn	Ce	Co	Ga	V	Zn	W	Cu	Ni	Cr	PAF
LAT007	5.85	16.90	0.09	0.26	0.8	1.69	7.21	1.12	2.84	61.60	486	115	5	21	18	31	262	34	160	6	87	19	18	90	84	139	22	26	81	1.43
LAT008	4.94	13.83	0.10	0.29	0.66	1.52	14.65	0.76	2.39	51.70	624	97	5	17	16	29	208	27	248	3	55	17	11	75	74	39	18	21	62	9.27
LAT009	5.15	15.34	0.07	0.15	0.67	4.93	10.30	2.12	2.19	57.50	577	91	6	17	16	29	199	27	228	4	72	17	16	80	68	110	21	26	71	1.53
LAT010	5.01	14.93	0.07	0.25	0.7	1.38	13.75	1.12	2.39	54.66	542	124	4	18	18	20	235	28	178	7	62	15	13	68	66	93	14	25	67	5.63
LAT011	4.78	13.76	0.09	0.19	0.62	3.05	11.45	0.77	2.86	54.54	559	97	5	20	15	26	187	24	244	3	78	14	14	75	70	41	21	23	69	8.26
LAT012	5.14	14.73	0.08	0.23	0.67	4.53	10.66	0.85	3.41	55.10	589	113	5	18	16	32	198	26	222	6	68	20	13	70	74	63	23	27	79	4.29
LAT013	4.90	13.60	0.09	0.25	0.63	4.48	10.59	0.81	3.25	54.25	585	102	6	4	15	30	201	26	830	4	66	18	14	73	72	43	26	28	73	6.99
LAT014	4.84	13.55	0.10	0.25	0.62	4.59	11.02	0.83	3.24	53.91	600	106	5	4	16	27	207	27	931	2	62	19	14	69	74	51	28	28	78	6.82
LAT015	5.81	15.41	0.08	0.17	0.76	1.84	8.33	0.75	2.78	60.88	626	121	6	18	18	30	259	29	242	6	83	20	16	88	88	71	23	35	95	3.66
LAT016	5.36	15.31	0.07	0.12	0.65	6.19	13.01	2.37	1.32	53.77	382	69	4	14	16	24	159	25	298	3	54	17	15	74	75	73	23	27	83	1.30
LAT017	5.39	15.33	0.07	0.12	0.65	6.35	13.05	2.37	1.28	53.46	362	71	5	14	16	20	157	24	295	3	49	17	15	76	74	81	23	27	80	1.30
LAT018	4.90	15.15	0.08	0.20	0.64	5.05	9.36	0.96	3.70	56.51	547	116	6	18	16	34	179	24	166	6	69	16	17	71	82	62	27	30	80	3.06
LAT019	5.23	15.75	0.07	0.27	0.68	4.33	6.80	1.24	3.51	59.94	596	108	5	19	16	22	205	29	197	3	69	17	16	76	74	67	20	26	91	2.23
LAT020	6.90	17.04	0.11	0.32	0.93	1.95	4.19	1.06	2.89	60.82	593	120	5	26	20	37	235	39	143	4	100	19	18	103	107	40	21	24	90	3.86
LAT021	8.24	18.64	0.11	0.19	1.07	2.24	5.28	1.28	2.82	57.35	634	127	5	28	22	51	264	47	183	4	106	17	20	118	111	71	16	18	70	2.27
LAT022	5.29	15.65	0.07	0.36	0.68	4.33	7.09	1.31	3.41	59.29	593	109	5	19	16	38	204	28	206	6	83	17	16	77	75	73	21	26	81	2.46
LAT023	7.34	18.67	0.09	0.17	0.97	1.78	2.14	1.38	3.03	62.87	502	130	5	28	21	33	274	42	129	6	109	18	23	114	98	96	15	21	103	1.30
LAT024	5.39	15.42	0.09	0.65	0.72	2.20	9.24	1.26	1.88	58.06	665	83	5	16	17	44	194	28	270	6	76	18	14	70	70	56	25	29	88	5.49
LAT025	6.57	17.42	0.09	0.22	0.84	1.64	7.96	1.23	2.56	57.59	536	108	5	22	18	29	200	30	170	6	74	17	16	97	81	84	18	15	64	3.43
LAT026	5.71	15.16	0.11	0.52	0.75	1.44	6.48	0.59	3.05	60.76	612	115	5	19	18	78	267	32	169	4	70	19	18	91	108	26	25	30	85	5.23
LAT027	7.17	18.56	0.09	0.23	0.93	1.79	5.59	1.13	3.19	59.02	546	141	6	22	20	28	243	32	152	2	85	19	19	106	92	75	35	16	79	2.26
LAT028	7.48	17.30	0.13	0.30	0.97	2.03	3.70	1.31	3.07	62.02	574	135	5	29	21	39	243	44	140	5	91	20	20	109	112	109	20	20	82	1.10
LAT029	4.88	13.92	0.08	0.33	0.67	2.99	12.70	1.36	1.66	55.10	751	97	4	15	16	24	189	25	284	3	60	16	13	75	89	49	28	29	85	5.93
LAT030	6.61	15.75	0.10	0.39	0.89	1.77	10.77	0.86	2.71	53.60	655	116	3	23	20	37	215	37	191	6	100	16	14	96	93	36	23	19	69	6.09
LAT031	6.61	16.77	0.08	0.37	0.83	1.68	7.10	1.02	3.01	59.33	641	133	4	25	19	34	226	38	144	4	92	16	17	90	85	79	29	19	86	2.63
LAT032	6.69	17.35	0.14	0.43	0.81	2.23	8.26	0.71	2.27	57.47	369	101	5	16	22	32	162	27	255	5	73	22	18	123	111	65	36	56	130	3.03
LAT038	7.53	18.14	0.12	0.19	1.00	1.94	3.51	1.30	3.11	61.11	508	135	0	27	21	30	228	41	132	2	105	19	23	116	105	102	16	22	124	1.13
LAT039	5.25	16.94	0.06	0.12	0.74	1.41	2.39	0.91	2.69	67.74	361	132	-1	19	17	29	194	20	127	0	62	14	20	95	71	110	20	30	169	1.13

Continuació Taula 8.1.

Ic	Fe2O3	Al2O3	MnO	P2O5	TiO2	MgO	CaO	Na2O	K2O	SiO2	Ba	Rb	Mo	Th	Nb	Pb	Zr	Y	Sr	Sn	Ce	Co	Ga	V	Zn	W	Cu	Ni	Cr	PAF
LAT040	4.99	14.62	0.14	0.62	0.62	1.66	8.79	0.84	2.42	57.75	489	123	-1	21	24	32	233	24	321	0	86	17	16	74	81	36	16	34	133	7.29
NAR001	5.13	15.07	0.07	0.23	0.69	1.54	11.65	1.67	2.60	58.47	481	132	0	22	19	28	264	34	126	1	102	30	21	112	97	282	15	19	145	1.83
NAR002	5.62	15.12	0.06	0.13	0.79	1.48	8.77	1.66	2.82	62.15	480	121	-1	18	17	29	258	28	147	-1	78	39	17	81	93	251	19	19	124	5.00
NAR003	5.23	14.14	0.07	0.18	0.78	1.33	9.55	2.45	2.80	59.73	443	113	1	20	19	25	229	36	152	3	82	40	20	106	92	49	14	19	94	4.89
NAR004	5.41	14.27	0.07	0.16	0.73	1.95	9.67	1.34	2.89	60.37	558	153	1	29	25	39	217	48	112	4	120	67	26	156	132	334	25	19	127	1.93
NAR005	6.18	16.09	0.07	0.18	0.82	1.86	7.27	1.11	3.13	60.99	534	217	-1	22	25	37	209	31	169	2	106	36	30	131	120	326	34	37	178	1.36
NAR006	5.87	15.15	0.07	0.18	0.77	1.71	6.82	1.77	3.05	61.27	510	140	0	24	21	28	228	43	136	0	99	41	23	122	105	367	17	16	151	1.50
NAR007	6.12	15.74	0.07	0.13	0.80	2.01	7.98	2.15	3.01	60.32	504	142	-1	24	19	29	251	33	152	1	111	35	21	86	82	342	47	15	147	2.65
NAR008	5.98	15.52	0.09	0.15	0.79	1.85	7.54	1.19	3.04	60.42	419	103	1	15	16	23	228	26	373	-2	65	31	17	82	73	192	22	27	125	6.68
NAR009	7.53	18.14	0.12	0.19	1.00	1.94	3.51	2.36	3.11	61.11	413	79	1	14	16	10	167	24	236	0	65	26	18	84	79	104	22	27	113	5.13
NAR010	5.25	16.94	0.06	0.12	0.74	1.41	2.39	2.54	2.69	67.74	494	65	1	16	16	22	166	24	363	0	64	32	20	81	75	143	21	26	101	1.80
NAR011	4.99	14.62	0.14	0.62	0.62	1.66	8.79	1.54	2.42	57.75	373	61	1	13	13	6	143	19	351	-1	65	28	15	64	60	76	14	20	95	9.76
NAR012	6.28	17.79	0.09	0.10	0.91	1.63	2.23	2.67	3.09	63.94	402	44	1	16	14	15	143	24	331	0	61	30	18	74	66	98	23	22	105	5.66
NAR013	4.77	14.46	0.09	0.13	0.71	1.75	6.60	1.65	2.95	61.83	420	86	1	11	14	8	114	18	417	-3	47	21	16	65	66	118	14	24	103	4.86
NAR014	6.75	16.56	0.09	0.13	0.88	1.81	5.23	2.32	2.89	57.67	420	48	1	12	15	18	145	21	285	-1	51	16	17	71	69	86	23	24	102	6.40
NAR015	9.55	19.30	0.15	0.15	1.23	2.50	1.93	1.80	3.16	58.09	443	74	1	11	15	15	148	20	344	0	50	21	17	69	76	89	21	25	110	5.47
NAR016	6.30	24.41	0.04	0.08	0.98	1.16	1.35	1.01	3.97	58.59	544	138	0	25	21	31	235	36	156	1	108	21	23	115	93	78	18	24	103	3.46
NAR017	7.45	18.19	0.09	0.14	0.97	1.93	2.61	1.79	3.09	61.32	542	146	-2	19	20	30	294	40	124	-1	102	21	22	97	91	251	31	13	152	0.83
NAR018	5.92	17.72	0.09	0.09	0.76	1.58	3.99	1.27	3.15	61.77	657	123	-1	25	26	34	267	51	147	2	106	29	22	105	86	33	22	34	129	4.30
NAR019	5.29	13.39	0.08	0.16	0.67	4.75	7.54	1.19	3.07	56.86	539	131	0	18	19	29	231	36	153	1	82	15	20	87	82	133	24	17	123	3.40
NAR020	4.74	14.15	0.08	0.20	0.65	5.29	10.50	1.34	2.51	53.58	536	129	1	18	21	27	203	40	155	3	96	18	23	101	94	108	20	17	89	3.07
NAR021	4.98	15.61	0.06	0.14	0.65	6.53	9.87	0.36	2.48	54.73	702	63	1	10	14	18	146	20	191	0	66	20	16	69	64	56	20	27	100	11.36
NAR022	4.76	12.85	0.08	0.31	0.59	5.06	10.87	0.60	3.20	51.84	513	89	1	18	14	36	192	23	221	1	71	15	15	68	75	21	24	26	115	9.46
NAR023	7.54	18.20	0.09	0.16	0.98	1.99	3.57	1.43	2.97	59.95	466	128	0	27	20	26	233	38	142	0	93	19	22	115	94	55	15	18	126	1.73
NAR024	5.24	14.46	0.06	0.35	0.64	2.85	15.56	0.74	1.99	46.89	686	92	1	18	15	20	136	23	246	1	50	15	17	83	83	15	21	30	97	10.89
NAR025	4.09	11.66	0.08	0.15	0.48	6.39	16.01	0.60	2.54	43.88	623	67	2	16	13	25	122	17	249	-1	52	18	16	57	60	23	25	24	69	13.07
NAR026	7.66	19.22	0.08	0.09	1.04	1.85	1.32	1.48	3.15	62.30	492	135	0	29	21	31	232	43	110	1	107	19	25	129	107	72	19	20	149	0.73
NAR027	4.73	13.77	0.08	0.36	0.59	6.02	10.97	1.87	2.18	51.63	415	50	1	13	14	30	156	21	225	0	53	47	15	67	77	29	25	26	111	7.16

Continuació Taula 8.1.

Ic	Fe2O3	Al2O3	MnO	P2O5	TiO2	MgO	CaO	Na2O	K2O	SiO2	Ba	Rb	Mo	Th	Nb	Pb	Zr	Y	Sr	Sn	Ce	Co	Ga	V	Zn	W	Cu	Ni	Cr	PAF
NAR028	6.32	18.58	0.06	0.21	0.84	1.78	7.60	1.27	2.95	56.86	486	122	0	20	18	25	206	29	144	0	84	22	22	91	82	55	21	15	107	2.13
NAR029	6.86	17.21	0.11	0.18	0.94	1.88	3.59	1.72	3.03	62.20	514	128	-1	28	20	31	262	41	147	2	112	17	21	106	99	100	12	15	136	1.03
NAR030	6.00	17.4	0.08	0.16	0.80	1.58	6.65	1.22	3.05	61.00	541	137	0	24	19	30	259	37	139	2	95	15	21	82	86	72	34	24	127	1.00
NAR031	4.67	13.42	0.09	0.26	0.60	4.48	12.17	0.52	3.13	49.82	544	85	1	14	14	23	164	24	201	0	55	18	16	71	80	24	20	29	97	10.19
NAR032	4.65	13.37	0.08	0.28	0.57	6.82	11.54	0.57	2.88	49.60	597	74	1	12	14	17	149	21	222	-1	44	18	16	70	73	28	22	28	108	8.83
NAR033	7.29	17.72	0.09	0.19	0.90	1.97	6.27	1.11	2.91	57.94	525	138	0	20	20	30	216	40	140	1	90	17	23	97	99	83	33	20	121	2.63
NAR034	7.08	20.56	0.07	0.43	0.69	5.49	4.11	0.64	4.11	50.93	540	143	1	19	17	32	143	27	251	3	77	23	25	113	100	21	29	43	141	4.26
NAR035	6.96	17.96	0.09	0.24	0.91	1.65	1.66	1.29	3.30	62.30	571	126	-1	19	21	26	236	39	140	1	99	16	23	96	93	36	20	22	135	2.33
NAR036	4.42	12.74	0.07	0.27	0.59	5.92	12.34	2.02	1.63	52.44	432	43	0	13	15	19	191	23	229	-2	60	17	15	72	67	44	21	26	108	6.43
NAR037	4.30	12.87	0.08	0.33	0.55	6.55	12.71	1.51	2.32	48.39	550	56	2	14	14	22	152	24	286	0	43	17	15	63	68	35	21	25	109	9.53
NAR038	6.22	14.83	0.10	0.38	0.81	1.99	10.56	0.90	2.61	53.18	513	107	1	16	18	26	222	33	189	2	77	15	17	79	77	30	17	19	107	6.99
NAR039	5.09	15.01	0.07	0.37	0.64	6.31	9.75	0.44	4.15	49.02	573	93	1	12	16	32	147	22	230	0	50	20	18	76	80	19	29	37	101	7.75
NAR040	4.47	12.89	0.08	0.25	0.56	4.78	12.31	0.48	3.36	49.05	480	83	2	12	15	27	166	22	185	-3	69	17	16	65	75	19	22	29	109	11.33
NAR041	5.88	17.25	0.05	0.21	0.82	1.44	9.43	0.41	1.93	56.48	764	95	0	14	19	28	202	32	212	1	60	21	19	93	57	81	17	38	164	5.63
NAR042	6.80	17.83	0.09	0.24	0.84	2.61	5.65	0.91	2.34	59.82	305	99	0	19	19	34	196	28	204	1	79	25	21	108	116	96	42	48	212	2.06
NAR043	8.10	19.05	0.11	0.17	1.03	2.11	5.91	1.27	2.72	56.24	522	120	0	24	20	28	198	32	145	2	95	20	23	125	112	121	23	22	115	1.70

Taula 8.6. Mitjana i desviació estàndard dels 7 grups químics identificats en la producció d'àmfores Dressel 1, Tarraconense i Pascual 1 a la vall de Cabrera de Mar a partir de la subcomposició normalitzada Fe₂O₃ (com a Fe total), Al₂O₃, MnO, TiO₂, MgO, CaO, Na₂O, K₂O, SiO₂, Ba, Rb, Nb, Zr, Y, Sr, Ce, Ga, V, Zn, Ni i Cr

Elements	A1 (n=14)		A2 (n=8)		B1 (n=20)		B2 (n=4)		B3 (n=9)		C1 (n=5)		C2 (n=19)		C3 (n=5)	
	m	d	m	d	m	d	m	d	m	d	m	d	m	d	m	d
Fe₂O₃ (%)	7.41	0.27	7.02	0.19	6.97	0.41	6.68	0.09	6.11	0.30	6.3	0.16	5.68	0.39	5.76	0.39
Al₂O₃ (%)	19.16	0.43	18.8	0.16	18.9	0.89	18.83	0.11	17.18	0.55	18.38	0.35	16.22	0.49	15.83	0.61
MnO (%)	0.09	0	0.1	0.01	0.1	0.01	0.1	0	0.09	0.01	0.1	0.01	0.08	0.01	0.08	0.01
TiO₂ (%)	0.94	0.02	0.94	0.03	0.9	0.06	0.84	0	0.82	0.05	0.84	0.04	0.77	0.06	0.78	0.07
MgO (%)	1.92	0.11	1.93	0.06	1.64	0.12	1.33	0.02	1.68	0.11	1.53	0.04	1.61	0.13	1.51	0.14
CaO (%)	4.08	0.27	6.26	0.72	5.83	0.79	6.34	0.15	8.86	0.71	3.63	0.74	11.11	2.24	13.73	1.09
Na₂O (%)	1.39	0.11	1.48	0.08	1.21	0.11	0.96	0.05	1.33	0.15	1.35	0.12	1.19	0.16	0.88	0.14
K₂O (%)	3.07	0.05	2.95	0.12	3.09	0.15	2.9	0.05	2.96	0.13	3.17	0.11	2.84	0.18	2.72	0.26
SiO₂ (%)	61.79	0.77	60.37	0.88	61.19	1.42	61.81	0.12	60.80	0.98	64.56	1.01	60.35	2.51	58.55	0.34
Ba (ppm)	534	30	576	42	644	75	978	20	602	68	517	12	554	43	627	36
Rb (ppm)	126	5	123	3	130	12	114	3	117	12	128	7	114	7	107	9
Nb (ppm)	20	1	20	1	21	1	20	0	20	1	19	0	18	1	18	1
Zr (ppm)	219	12	228	7	253	19	226	14	257	17	233	15	218	17	213	26
Y (ppm)	39	2	37	0	37	3	31	1	36	3	33	2	34	3	33	2
Sr (ppm)	136	7	153	5	162	20	192	2	178	12	140	6	177	13	210	15
Ce (ppm)	115	8	115	7	108	12	94	5	101	16	95	6	98	12	97	13
Ga (ppm)	24	1	23	1	23	2	23	1	20	1	21	1	17	1	15	1
V (ppm)	118	4	108	4	103	8	97	1	84	6	97	6	81	6	78	4
Zn (ppm)	103	5	95	3	96	6	91	1	87	6	82	2	75	6	74	7
Ni (ppm)	17	1	15	1	20	2	20	4	20	2	18	2	19	2	19	1
Cr (ppm)	68	3	63	3	70	6	69	4	67	6	97	16	87	11	88	6

Taula 8.7. Fàbriques mineralògiques identificades en els grups químics A1 i A2 de Can Pau Ferrer; B1, B2, B3, C1, C2 i C3 de Ca l'Arnau. Indicació del grup químic, de les fàbriques mineralògiques, de la temperatura de cocció equivalent (TCE), de les fases cristal·lines presents a cada fàbrica, dels individus ceràmics que les formen i de l'estat de vitrificació (EV): NV: no vitrificació; VI: vitrificació inicial; V: vitrificació; VT: vitrificació total. cal: calcita; gh: gehlenita; hm: hematites; ill: il·lita moscovita; kfs: feldspat potàssic; pg: plagiòclasi; px: piroxè; qtz: quars; spi: espinel·la; anl: analcima.

Grup Químic	Fàbrica	TCE	Fases Cristal·lines	Individus	Estat de vitrificació
A1	F-A1-A (n=4)	800/850-900°C	qtz, ill, kfs, pg, cal, hm	ACM076, 083, 086, 089	VI
	F-A1-B (n=3)	900-950°C	qtz, ill, kfs, pg,, cal, hm, spi	ACM074, 075, 087	VI
	F-A1-C (n=3)	950-1000°C	qtz, ill, kfs, pg, hm, spi	ACM082, 097, 099	-
	F-A1-D (n=4)	≥1000°C	qtz, kfs, pg, hm, spi	ACM079, 085, 098, 103	VT
A2	F-A2-A (n=1)	800/850-900°C	qtz, ill, kfs, pg, cal, hm	ACM080	-
	F-A2-B (n=4)	900-950°C	qtz, ill, kfs, pg, cal, hm, spi	ACM073, 091, 093, 094	-
	F-A2-C (n=2)	950-1000°C	qtz, ill, kfs, pg, cal, hm, spi, px	ACM077, 095	-
	F-A2-D (n=1)	≥1000°C	qtz, kfs, pg, cal, hm, spi	ACM084	-
B1	F-B1-A (n=6)	≤800-850°C	qtz, ill, kfs, pg, cal, hm	ACM042, 045, 052, 059, 060, 063	VI
	F-B1-B (n=2)	850-900°C	qtz, ill, kfs, pg, cal, hm, gh, px	ACM043, 051	-
	F-B1-C (n=7)	900-950°C	qtz, ill, kfs, pg, cal, hm, gh, px, spi	ACM040, 049, 050, 053, 062, 064, 096	V
	F-B1-D (n=3)	950-1000°C	qtz, ill, kfs, pg, cal, hm, gh, px, spi	ACM055, 056, 065	-
	F-B1-E (n=2)	≥1000°C	qtz, kfs, pg, cal, hm, gh, px, spi	ACM047, 057	VT
B2	F-B2-A (n=4)	800-850°C	qtz, ill, kfs, pg, cal, hm	ACM046, 048, 066	-
	F-B2-B (n=1)	850-950°C	qtz, ill, kfs, pg, cal, hm, gh, px	ACM058	-
B3	F-B3-A (n=3)	900-950°C	qtz, ill, kfs, pg, cal, hm, px	ACM026, 041, 054	-
	F-B3-B (n=6)	950-1000°C	qtz, kfs, pg, cal, hm, px	ACM001, 067, 068, 069, 070, 071	-
C1	F-C1-A (n=2)	850-900°C	qtz, ill, kfs, pg, cal	ACM044, 061	-
	F-C1-B (n=3)	900-950/1000°C	qtz, kfs, pg, cal, spi	ACM003, 007, 031	-
C2	F-C2-A (n=1)	≤800°C	qtz, ill, kfs, pg, cal, hm	ACM005	NV-VI
	F-C2-B (n=2)	800-850°C	qtz, ill, kfs, pg, cal, hm, px	ACM006, 028	-
	F-C2-C (n=4)	850-900/950°C	qtz, ill, kfs, pg, cal, hm, gh, px	ACM017, 023, 024, 033	V
	F-C2-D (n=4)	950/1000-1050°C	qtz, kfs, pg, cal, hm, gh, px	ACM002, 008, 011, 016,	-
	F-C2-E (n=3)	≥1050°C	qtz, kfs, pg, cal, hm, px	ACM013, 015, 030,	VT
	F-C2-F (n=4)	950/1000-1050°C	qtz, kfs, pg, cal, hm, px, anl	ACM018, 027, 029, 072	VT
C3	F-C3-A (n=3)	850-950/1000°C	qtz, ill, kfs, pg, cal, hm, gh, px	ACM009, 020, 032	-
	F-C3-B (n=2)	1000-1050°C	qtz, kfs, pg, cal, hm, gh, px	ACM014, 025	-

Taula 8.8. Fàbriques dels individus de Ca l'Arnau i Can Pau Ferrer que no resten classificats en cap fàbrica mineralògica identificada per als individus de Ca l'Arnau i Can Pau Ferrer (Cabrera de Mar). qtz: quars; ill: il·lita moscovita; kfs: feldspat potàssic; pg: plagiòclasi, cal: calcita, hm: hematites; spi: espinel·la; px: piroxè; gh: gehlenita; anl: analcima

Individu	TCE	Fases cristal·lines
ACM001	950/1000-1050°C	qtz, kfs, pg, cal, px, gh, hm
ACM002	950/1000-1050°C	qtz, kfs, pg, cal, px, gh, hm
ACM004	800/850-900°C	qtz, ill, kfs, pg, cal, hm
ACM010	>1050°C	qtz, kfs, pg, cal, hm, px, anl
ACM012	900-950°C	qtz, kfs, pg, cal, hm, gh, px
ACM019	900/950-1000°C	qtz, kfs, pg, cal, hm, gh, px
ACM022	950-1000°C	qtz, ill, kfs, pg, cal, hm, spi, px
ACM034	900/950-1000°C	qtz, ill, kfs, pg, cal, hm, spi
ACM035	950/1000-1050°C	qtz, kfs, pg, cal, hm, gh, px
ACM039	800/850-900°C	qtz, ill, kfs, pg, cal, hm, gh, px
ACM078	950/1000-1050°C	qtz, kfs, pg, cal, hm, gh, px
ACM081	950/1000-1050°C	qtz, kfs, pg, cal, hm, gh, px
ACM088	950/1000-1050°C	qtz, kfs, pg, cal, hm, gh, px
ACM090	950-1000°C	qtz, ill, kfs, pg, hm, spi
ACM092	800-850°C	qtz, ill, kfs, pg, cal, hm
ACM100	800-850°C	qtz, ill, kfs, pg, cal, hm
ACM101	800-850°C	qtz, ill, kfs, pg, cal, hm
ACM102	800-850°C	qtz, ill, kfs, pg, cal, hm
ACM104	950/1000-1050°C	qtz, kfs, pg, cal, hm, gh, px

Taula 8.14. Mitjana i desviació estàndard dels 7 grups químics identificats en la producció d'àmfores Pascual 1 al taller del carrer Princesa (PR) i al mercat de Sta. Caterina de Barcelona (SC-1, SC-2, SC-3, SC-4, SCM-1, SCM-2) a partir de la subcomposició normalitzada Fe₂O₃ (com a Fe total), Al₂O₃, MnO, TiO₂, MgO, CaO, SiO₂, Ba, Nb, Zr, Y, Sr, Ce, Ga, V, Zn, Ni i Cr

Elements	PR (n=42)		SC-1 (n=3)		SC-2 (n=3)		SC-3 (n=32)		SC-4 (n=6)		SCM-1 (n=8)		SCM-2 (n=7)	
	m	d	m	d	m	d	m	d	m	d	m	d	m	d
Fe₂O₃ (%)	6.07	0.27	7.00	0.19	4.97	0.12	5.34	0.26	5.16	0.35	6.03	0.40	5.12	0.25
Al₂O₃ (%)	16.66	0.46	17.93	0.47	13.89	0.18	14.74	0.53	14.33	0.51	16.64	0.69	14.84	0.63
MnO (%)	0.08	0.01	0.10	0.00	0.07	0.01	0.08	0.01	0.08	0.01	0.09	0.01	0.08	0.01
TiO₂ (%)	0.78	0.03	0.87	0.01	0.65	0.02	0.68	0.03	0.65	0.04	0.79	0.05	0.67	0.03
MgO (%)	2.02	0.18	1.51	0.03	4.22	0.03	5.91	1.02	5.30	0.46	1.51	0.13	5.04	1.04
CaO (%)	8.33	1.33	2.76	0.23	16.78	0.85	12.14	1.28	15.01	1.64	2.97	0.33	9.74	1.35
SiO₂ (%)	65.90	1.09	69.66	0.56	59.17	0.72	60.95	1.69	59.30	1.89	71.82	1.16	64.38	2.21
Ba (ppm)	590	69	667	68	776	65	628	142	753	77	562	42	547	45
Nb (ppm)	18	1	20	0	16	1	17	1	17	1	18	1	16	1
Zr (ppm)	237	20	280	8	189	2	195	18	180	11	257	13	194	20
Y (ppm)	31	2	32	1	26	0	26	2	25	1	28	2	24	1
Sr (ppm)	161	18	129	13	1174	182	322	76	542	110	108	5	197	18
Ce (ppm)	79	11	86	3	56	4	65	8	56	10	84	12	65	6
Ga (ppm)	21	1	22	1	17	1	18	1	18	1	19	1	17	1
V (ppm)	89	7	113	2	68	4	79	7	72	3	106	9	81	5
Zn (ppm)	100	4	112	4	83	5	83	10	74	9	94	6	79	6
Ni (ppm)	28	2	39	2	28	1	31	3	28	3	31	3	27	2
Cr (ppm)	82	4	100	4	70	4	78	5	74	3	191	49	132	19

Taula 8.15. Fàbriques dels individus procedents del Carrer Princesa i del mercat de Santa Caterina de Barcelona a partir dels grups químics identificats a la Taula 8.13. Indicació del grup químic, de les fàbriques mineralògiques, de la temperatura de cocció equivalent (TCE), de les fases cristal·lines presents a cada fàbrica, dels individus ceràmics que les formen i de l'estat de vitrificació (EV): NV: no vitrificació; VI: vitrificació inicial; V: vitrificació intensa; VT: vitrificació total. cal: calcita; gh: gehlenita; hm: hematites; ill: il·lita moscovita; kfs: feldspat potàssic; pg: plagiòclasi; px: piroxè; qtz: quars; spi: espinel·la; anl: analcima

Grup químic	Fàbrica miner.	TCE	Fases cristal·lines	Individus ceràmics	EV
PR	PR-F1 (n=2)	< 750°C	qtz, ill, kfs, pg, cal	CSC068, 071,	NV
	PR-F2 (n=3)	750-800°C	qtz, ill, kfs, pg, cal, hm	CSC063, 079 i 086	-
	PR-F3 (n=7)	800/850-900°C	qtz, ill, kfs, pg, cal, hm, px	CSC053, 055, 073, 075, 081, 083 i 087	VI
	PR-F4 (n=4)	900-950°C	qtz, ill, kfs, pg, cal, hm, px	CSC054, 064, 065 i 084	-
	PR-F5 (n=25)	>1000°C	qtz, kfs, pg, cal, hm, px, gh	CSC056, 057, 058, 059, 060, 061, 062, 066, 067, 069, 070, 072, 074, 076, 077, 078, 080, 082, 088, 089, 090, 091, 092, 093 i 094	-
SC-1	SC-1A (n=2)	750-800°C	qtz, ill, kfs, pg, cal, hm	CSC018, 019	-
	SC-1B (n=1)	800-850°C	qtz, ill, kfs, pg, cal, hm, spi	CSC020	VI
SC-2	SC-2A (n=3)	>1000°C	qtz, kfs, pg, cal, hm, px, gh, anl	CSC009, 010 i 013	-
SC-3	SC-3A (n=2)	≤ 800-850°C	qtz, ill, kfs, pg, cal, hm, px	CSC004, 027	NV
	SC-3B (n=1)	850-950°C	qtz, ill, kfs, pg, cal, hm, px, gh	CSC003	-
	SC-3C (n=5)	950-1000/1050°C	qtz, kfs, pg, cal, hm, px, gh	CSC008, 026, 044, 048 i 052,	V
	SC-3D (n=24)	>1000°C	qtz, kfs, pg, cal, px, hm, gh, anl	CSC001, 002, 005, 011, 015, 021, 022, 023, 024, 025, 028, 032, 033, 034, 035, 036, 037, 038, 039, 040, 041, 043, 050, 051	VT
SC-4	SC-4A (n=6)	> 1000°C	qtz, kfs, pg, cal, hm, px, gh, anl	CSC012, 014, 042, 045, 046, 047	-
SCM-1	SCM-1A (n=2)	850-900°C	qtz, ill, kfs, pg, cal, hm, px	CSC114, 119	-
	SCM-1B (n=4)	900-1000°C	qtz, ill, kfs, pg, cal, hm, px, spi	CSC104, 107, 108, 115	-
	SCM-1C (n=3)	> 1000°C	qtz, kfs, pg, cal, hm, px, spi	CSC105, 106, 117	-
SCM-2	SCM-2A (n=7)	> 1000°C	qtz, kfs, pg, cal, hm, px, gh, anl	CSC103, 110, 111, 113, 116, 118, 120	-

Taula 8.16. TCE estimada per a les àmfores Pascual 1 del mercat de Santa Caterina que no es classifiquen en cap grup químic identificat a la Taula 8.13 ni a cap fàbrica mineralògica de la Taula 8.14. qtz: quarz; ill: il·lita moscovita; kfs: feldspat potàssic; pg: plagiòclasi, cal: calcita, hm: hematites; spi: espinel·la; px: piroxè; gh: gehlenita; anl: analcima

Individu	TCE	Fases cristal·lines
CSC006	950-1000°C	qtz, kfs, pg, cal, px, gh, hm
CSC007	>1000°C	qtz, kfs, pg, cal, px, hm, gh, anl
CSC016	>1000°C	qtz, kfs, pg, cal, px, hm, gh
CSC017	>1000°C	qtz, kfs, pg, cal, px, hm, gh
CSC029	850-950°C	qtz, ill, kfs, pg, cal, px, gh, hm
CSC030	>1000°C	qtz, kfs, pg, cal, px, hm
CSC031	>1000°C	qtz, kfs, pg, cal, hm, px, an
CSC049	850-950°C	qtz, ill, kfs, pg, cal, px, hm
CSC085	750-800°C	qtz, ill, kfs, pg, cal, hm
CSC109	>1000°C	qtz, ill, kfs, pg, cal, px, gh, hm
CSC112	800-850°C	qtz, ill, kfs, pg, cal, hm

Taula 8.18. Mitjana i desviació estàndard dels 3 GR i dels individus SBL001 i SBL004 identificats en la producció Pascual 1 al Barri Antic (St Boi de Llobregat) a partir de la subcomposició normalitzada Fe₂O₃ (com a Fe total), Al₂O₃, MnO, TiO₂, MgO, CaO, Na₂O, K₂O, SiO₂, Ba, Rb, Nb, Zr, Y, Sr, Ce, Ga, V, Zn, Cu, Ni i Cr

Elements	SBL-1 (n=2)		SBL-2 (n=10)		SBL-3 (n=22)		SBL001	SBL004	SBL005
	m	d	m	d	m	d	valors	valors	valors
Fe₂O₃ (%)	5.92	0.22	5.59	0.19	5.87	0.37	5.32	4.51	6.56
Al₂O₃ (%)	15.46	0.37	15.26	0.50	15.49	0.65	15.63	14.12	16.29
MnO (%)	0.11	0.00	0.06	0.00	0.08	0.01	0.07	0.05	0.11
TiO₂ (%)	0.79	0.02	0.79	0.01	0.79	0.04	0.72	0.61	0.81
MgO (%)	1.77	0.11	1.53	0.16	1.93	0.16	1.60	1.75	1.89
CaO (%)	8.19	0.26	10.11	0.69	9.08	1.59	12.08	14.57	8.68
Na₂O (%)	0.64	0.06	0.64	0.05	0.71	0.11	1.07	1.19	0.82
K₂O (%)	3.27	0.09	2.96	0.14	3.14	0.15	2.70	2.80	3.52
SiO₂ (%)	63.67	0.79	62.91	0.91	62.75	1.02	60.65	60.25	61.14
Ba (ppm)	756	4	467	20	526	44	575	533	747
Rb (ppm)	122	1	120	5	124	5	129	113	128
Nb (ppm)	19	0	19	0	19	1	17	16	19
Zr (ppm)	271	3	271	13	273	22	200	173	254
Y (ppm)	31	1	30	1	30	2	24	23	32
Sr (ppm)	245	1	162	7	226	17	199	208	347
Ce (ppm)	73	11	76	9	78	8	65	54	83
Ga (ppm)	16	0	15	1	16	2	20	13	15
V (ppm)	91	7	88	4	89	7	84	55	92
Zn (ppm)	89	0	86	5	95	6	90	85	96
Cu (ppm)	22	0	23	2	26	1	27	24	29
Ni (ppm)	37	0	32	2	34	2	30	25	37
Cr (ppm)	96	2	111	6	116	12	132	98	101

Taula 8.20. Fàbriques definides per als 3 grups de referència de la producció del Barri Antic (St. Boi de Llobregat) i les temperatures de cocció equivalent (TCE) de cada fàbrica segons les fases cristal·lines observades per DRX. Indicació de l'estat de vitrificació (EV): VI: vitrificació inicial; V: vitrificació intensa. Indicació de les fases minerals: cal: calcita; gh: gehlenita; hm: hematites; ill: il·lita moscovita; kfs: feldspat potàssic; pg: plagiòclasi; px: piroxè; qtz: quars.

GR	FABRICA	TCE	Fases cristal·lines	Individus	EV
SBL-1	F-1 (n=2)	800-850°C	qtz, ill, kfs, pg, cal, hm	SBL034, 36	VI
SBL-2	F-2A (n=5)	800-850°C	qtz, ill, kfs, pg, cal, hm, gh, px	SBL006, 011, 018, 019, 028	VI
	F-2B (n=4)	900-950°C	qtz, kfs, pg, cal, hm, gh, px	SBL007, 09, 10, 21	V
SBL-3	F-3A (n=1)	800-850°C	qtz, ill, kfs, pg, cal	SBL008	-
	F-3B (n=6)	850-950°C	qtz, ill, kfs, pg, cal, gh, px	SBL012, 13, 14, 16, 26, 30	-
	F-3C (n=8)	950-1000°C	qtz, ill, kfs, pg, cal, hm, gh, px	SBL002, 03, 20, 22, 24, 25, 29, 33	-
	F-3D (n=7)	≥1000°C	qtz, kfs, pg, cal, hm, gh, px	SBL015, 17, 23, 31, 32, 35, 37	-

Taula 8.22. Mitjana i desviació estàndard dels 5 GR identificats en la producció amforal del Vilarenc i de l'individu ELV028, a partir de la subcomposició normalitzada Fe₂O₃ (com a Fe total), Al₂O₃, MnO, TiO₂, MgO, CaO, Na₂O, K₂O, SiO₂, Ba, Rb, Nb, Zr, Y, Sr, Ce, Ga, V, Zn, Cu, Ni i Cr

Elements	ELV-1 (n=20)		ELV -2 (n=13)		ELV -3 (n=3)		ELV -4 (n=2)		ELV -5 (n=4)		ELV028 valors
	m	d	m	d	m	d	m	d	m	d	
Fe₂O₃ (%)	5.46	0.22	5.97	0.16	5.40	0.22	5.46	0.19	5.71	0.18	4.59
Al₂O₃ (%)	14.26	0.54	17.26	0.50	14.51	0.39	14.71	0.05	16.69	0.68	12.74
MnO (%)	0.08	0.01	0.09	0.01	0.08	0.00	0.09	0.00	0.08	0.01	0.06
TiO₂ (%)	0.72	0.03	0.83	0.02	0.69	0.02	0.72	0.02	0.79	0.05	0.52
MgO (%)	3.19	0.27	3.24	0.29	3.94	0.13	3.43	0.05	3.83	0.09	3.55
CaO (%)	15.44	1.68	9.71	1.28	16.80	0.30	15.17	0.21	12.75	0.90	29.23
Na₂O (%)	0.57	0.09	0.58	0.11	1.68	0.12	1.13	0.16	1.48	0.12	0.39
K₂O (%)	2.87	0.11	3.46	0.22	1.36	0.10	2.43	0.15	1.89	0.36	2.61
SiO₂ (%)	57.24	1.10	58.71	1.47	55.41	0.83	56.71	0.09	56.63	0.27	46.15
Ba (ppm)	584	75	641	73	477	67	474	26	571	59	449
Rb (ppm)	105	5	126	7	77	10	98	0	103	8	83
Nb (ppm)	17	1	18	0	16	0	16	0	18	1	14
Zr (ppm)	195	13	207	18	168	8	180	2	193	20	104
Y (ppm)	26	1	27	1	25	1	26	0	26	2	19
Sr (ppm)	284	25	212	14	285	26	258	11	230	9	585
Ce (ppm)	64	7	76	6	60	9	64	9	74	11	46
Ga (ppm)	17	1	20	2	16	0	17	1	20	2	17
V (ppm)	90	4	103	8	85	3	85	9	92	7	73
Zn (ppm)	97	4	104	4	95	7	98	0	101	3	106
Cu (ppm)	23	3	26	4	23	1	24	0	27	3	26
Ni (ppm)	33	2	35	2	33	2	34	1	37	2	27
Cr (ppm)	81	9	82	6	93	5	87	8	80	6	72

Taula 8.26. Fàbriques definides per als 5 grups de referència de la producció del Vilarenc (Calafell) i les temperatures de cocció equivalent (TCE) de cada fàbrica segons les fases cristal·lines observades per DRX. Indicació de les fases minerals: cal: calcita; gh: gehlenita; hm: hematite; ill: il·lita moscovita; kfs: feldspat potàssic; pg: plagiòclasi; px: piroxè; qtz: quars; anl: analcima. Indicació de l'estat de vitrificació (EV): NV: no vitrificació; V: vitrificació; VT: vitrificació total.

Grup químic	Fàbrica miner.	TCE	Fases cristal·lines	Individus ceràmics	EV	Tipus
ELV-1	F-ELV-1A (n=5)	800-850°C	qtz, ill, kfs, pg, cal, px, hm	ELV002, 007, 008, 013, 014	NV	Dr.1 i Tarrac. 3
	F-ELV-1B (n=14)	850-950/1000°C	qtz, ill, kfs, pg, cal, px, hm, gh	ELV003, 004, 005, 006, 009, 010, 011, 012, 015, 030, 046, 049, 051, 052	V	Tarrac. 1D, Tarrac. 3 i amf. de base plana
	F-ELV-1C (n=1)	>1000°C	qtz, kfs, pg, cal, px, hm, gh	ELV029	VT	Tarrac. 3
ELV-2	F-ELV-2A (n=7)	800-850°C	qtz, ill, kfs, pg, cal	ELV017, 018, 019, 022, 023, 036, 037	NV	Pasc. 1
	F-ELV-2B (n=5)	850-950°C	qtz, ill, kfs, pg, cal, px, hm, gh	ELV001, 016, 020, 026, 038	VI	Dr. 1 i Pasc. 1
	F-ELV-2C (n=1)	>1000°C	qtz, kfs, pg, cal, px, hm	ELV021	VT	Pasc. 1
ELV-3	F-ELV-3A (n=3)	>1000°C	qtz, kfs, pg, cal, px, hm, gh, anl	ELV047, 048, 050	-	Tarrac. 1D i amf. de base plana
ELV-4	F-ELV-4A (n=2)	>1000°C	qtz, kfs, pg, cal, px, hm, gh, anl	ELV045, 053	-	Tarrac. 3 i nansa
ELV-5	F-ELV-5A (n=4)	>1000°C	qtz, kfs, pg, cal, px, hm, gh, anl	ELV024, 025, 027, 044	-	Pasc. 1
ELV028	-	800/850-900°C	qtz, ill, kfs, pg, cal, arg	-	-	

Taula 8.29. Mitjana i desviació estàndard dels 25 individus amforals procedents de la colònia *Barcino* (Barcelona) a partir de la subcomposició normalitzada en % per als elements majors i menors: Fe₂O₃ (com a Fe total), Al₂O₃, MnO, TiO₂, MgO, CaO, Na₂O, K₂O, SiO₂, i en ppm per als elements traça: Ba, Rb, Nb, Zr, Y, Sr, Ce, Ga, V, Zn, Cu, Ni i Cr

BCN	Fe ₂ O ₃	Al ₂ O ₃	MnO	TiO ₂	MgO	CaO	Na ₂ O	K ₂ O	SiO ₂	Ba	Rb	Nb	Zr	Y	Sr	Ce	Ga	V	Zn	Ni	Cr
BCN096	5.03	14.61	0.072	0.657	1.32	3.13	0.95	3.12	70.94	572	108	15	209	24	113	73	16	85	100	26	158
BCN092	7.57	20.53	0.081	0.911	1.85	1.32	1.68	3.41	62.50	574	137	18	206	37	105	91	23	122	98	11	88
BCN082	7.46	17.79	0.112	0.988	2.09	2.67	1.34	3.23	64.17	535	123	20	239	40	125	102	20	124	104	15	101
BCN095	6.98	18.62	0.102	0.888	1.84	1.90	1.40	3.31	64.81	522	133	18	237	39	124	96	20	116	99	15	120
BCN091	6.51	18.56	0.031	0.754	2.16	4.78	0.29	4.37	62.40	445	207	19	179	23	166	72	24	88	82	33	105
BCN088	4.48	12.50	0.067	0.580	6.26	18.82	1.48	2.41	53.24	504	114	15	157	19	416	50	16	64	78	23	80
BCN100	5.29	13.10	0.089	0.602	5.82	16.03	0.73	3.68	54.43	878	109	16	162	21	851	49	17	67	88	27	97
BCN106	5.05	13.96	0.078	0.623	5.44	13.33	0.67	4.15	56.50	577	103	14	164	22	648	93	17	72	80	27	87
BCN101	4.31	11.92	0.071	0.536	7.41	21.01	0.35	2.81	51.41	885	71	14	155	20	278	37	15	68	80	21	82
BCN102	4.18	11.68	0.084	0.540	6.07	22.26	0.37	3.04	51.61	714	78	14	155	18	328	32	14	68	83	22	91
BCN090	5.03	15.14	0.063	0.637	7.36	11.31	0.67	3.50	56.14	600	89	16	144	22	184	69	18	72	93	30	97
BCN089	4.46	13.78	0.053	0.545	7.77	11.63	0.59	4.97	56.08	568	111	14	114	16	211	52	16	65	75	25	95
BCN099	4.76	13.63	0.089	0.613	7.46	13.30	0.51	4.02	55.48	576	105	14	156	21	222	67	17	68	84	27	99
BCN087	5.65	15.17	0.057	0.723	4.67	12.29	0.39	3.99	56.91	530	106	18	203	23	162	64	18	96	78	32	96
BCN104	5.86	15.06	0.074	0.778	5.12	8.71	0.61	3.56	60.09	451	120	19	249	27	154	74	18	86	91	34	94
BCN083	5.66	15.65	0.076	0.704	1.26	9.68	0.57	3.22	63.01	733	113	16	197	24	180	64	16	88	81	28	121
BCN084	4.89	14.53	0.087	0.630	2.83	12.46	0.65	3.50	60.27	655	104	15	168	22	321	53	16	72	88	22	96
BCN085	5.00	14.90	0.097	0.614	1.98	12.80	0.73	3.27	60.44	711	111	15	171	22	241	59	16	75	88	23	105
BCN094	5.46	16.35	0.064	0.656	2.34	10.67	0.67	3.70	59.92	852	132	15	146	21	226	55	18	85	96	28	106
BCN105	5.87	16.49	0.096	0.693	2.07	11.35	0.61	3.89	58.77	644	163	17	156	25	271	63	19	84	97	33	94
BCN086	4.61	15.08	0.074	0.674	2.01	10.14	1.67	2.87	62.73	461	141	16	183	28	161	69	16	78	91	29	92
BCN097	4.49	15.93	0.072	0.595	1.27	4.09	1.70	3.73	67.97	622	120	14	195	29	131	49	18	69	81	15	131
BCN103	5.51	17.05	0.073	0.737	1.41	6.60	0.96	2.99	64.52	594	119	17	249	31	128	62	19	86	81	19	95
BCN093	7.14	17.13	0.072	0.890	1.39	3.09	0.71	2.23	67.21	367	100	17	241	26	113	84	19	114	84	34	206
BCN098	9.39	19.81	0.065	0.727	1.19	7.94	0.75	2.79	57.19	517	115	16	194	30	167	74	22	110	81	49	158

Taula 8.30. Temperatura de Coccio Equivalent (TCE) estimada per a cada un dels 25 individus procedents de la colònia *Barcino* a partir de les fases cristal·lines observades per DRX. cal: calcita; spi: espinel·la; gh: gehlenita; hm: hematite; ill: il·lita moscovita; kfs: feldspat potàssic; pg: plagiòclasi; px: piroxè; qtz: quars; anl: analcima.

Individus ceràmics	TCE	Fases cristal·lines	Tipus
BCN096	800-850°C	qtz, ill, kfs, pg, cal, hm	Pivot de tipus indeterminat
BCN092	950-1000°C	qtz, ill, kfs, pg, cal, hm, gh, spi	Pascual 1
BCN082	800-850°C	qtz, ill, kfs, pg, cal, px, hm	Pivot de tipus indeterminat
BCN085	800-850°C	qtz, ill, kfs, pg, cal, px, hm	Pivot de tipus indeterminat
BCN090	>1000°C	qtz, kfs, pg, cal, px, hm, gh, fo	Pascual 1
BCN089	>1000°C	qtz, kfs, pg, cal, px, hm, gh, fo	Pivot de tipus indeterminat
BCN099	>1000°C	qtz, kfs, pg, cal, px, hm, gh, fo	Tarraconense 1E
BCN087	<800-850°C	qtz, ill, kfs, pg, cal, hm	Pascual 1
BCN104	>1000°C	qtz, kfs, pg, cal, px, hm, gh, fo	Pascual 1
BCN088	>1000°C	qtz, kfs, pg, cal, px, hm, gh, anl	Pascual 1
BCN101	>1000°C	qtz, kfs, pg, cal, px, hm, gh, anl	Pascual 1
BCN102	>1000°C	qtz, kfs, pg, cal, px, hm, gh, anl	Pascual 1
BCN100	>1000°C	qtz, kfs, pg, cal, px, hm, gh, anl	Pascual 1
BCN106	>1000°C	qtz, kfs, pg, cal, px, hm, gh, anl	Pascual 1
BCN097	> 1000°C	qtz, kfs, pg, cal, px, hm, gh	Pivot de tipus indeterminat
BCN103	850-950/1000°C	qtz, ill, kfs, pg, cal, px, hm, gh	Pascual 1
BCN083	800-850°C	qtz, ill, kfs, pg, cal, hm	Pivot de tipus indeterminat
BCN086	>1000°C	qtz, kfs, pg, cal, px, hm, gh, anl	Pascual 1
BCN084	850-950/1000°C	qtz, ill, kfs, pg, cal, px, hm, gh	Tarraconense inclassificable
BCN085	850-950/1000°C	qtz, ill, kfs, pg, cal, px, hm, gh	Pascual 1
BCN094	850-950/1000°C	qtz, ill, kfs, pg, cal, px, hm, gh	Fragment informe. Marca PRI
BCN105	850-950/1000°C	qtz, ill, kfs, pg, cal, px, hm, gh	Pivot de tipus indeterminat
BCN091	800-850°C	qtz, ill, kfs, pg, cal, hm	Tarraconense D
BCN093	800-850°C	qtz, ill, kfs, pg, cal, hm	Tarraconense C
BCN098	800-850°C	qtz, ill, kfs, pg, cal, hm	Pivot de tipus indeterminat

Taula 8.32. Matriu de variació composicional dels 43 individus amforals procedent de la colònia *Narbo Martius* (Narbona) sobre la subcomposició Fe₂O₃ (com a Fe total), Al₂O₃, MnO, TiO₂, MgO, CaO, SiO₂, Ba, Nb, Zr, Y, Sr, Ce, Ga, V, Zn, Ni i Cr, *vt*: variació total; $\tau_{.i}$: suma del total de variàncies transformades de cada columna (i); *vt*/ $\tau_{.i}$: freqüència relativa que suposa la *vt* respecte el sumatori de les variàncies de cada columna

NAR	Fe ₂ O ₃	Al ₂ O ₃	MnO	TiO ₂	MgO	CaO	SiO ₂	Ba	Nb	Zr	Y	Sr	Ce	Ga	V	Zn	Ni	Cr
$\tau_{.i}$	2.1053	1.9329	2.7170	2.2440	7.4759	9.8321	1.7437	2.0805	1.8655	2.3277	2.6205	4.4373	2.7118	1.8632	2.1878	1.9290	3.1152	2.0124
<i>vt</i> / $\tau_{.i}$	0.7283	0.7933	0.5644	0.6833	0.2051	0.1560	0.8794	0.7370	0.8220	0.6587	0.5851	0.3456	0.5655	0.8230	0.7009	0.7949	0.4922	0.7620
<i>r v,τ</i>	0.9927	0.9942	0.9649	0.9927	-0.2561	-0.5705	0.9949	0.9943	0.9831	0.9663	0.9625	0.6949	0.9633	0.9906	0.9788	0.9859	0.8708	0.9952
<i>vt</i>	1.5334																	

Taula 8.33. Mitjana i desviació estàndard dels 43 individus amforals procedents de la colònia *Narbo Martius* (Narbona) a partir de la subcomposició normalitzada en % per als elements majors i menors: Fe₂O₃ (com a Fe total), Al₂O₃, MnO, TiO₂, MgO, CaO, Na₂O, K₂O, SiO₂, i en ppm per als elements traça: Ba, Rb, Nb, Zr, Y, Sr, Ce, Ga, V, Zn, Cu, Ni i Cr

NAR	Fe ₂ O ₃	Al ₂ O ₃	MnO	TiO ₂	MgO	CaO	Na ₂ O	K ₂ O	SiO ₂	Ba	Rb	Nb	Zr	Y	Sr	Ce	Ga	V	Zn	Ni	Cr
NAR041	6.26	18.38	0.05	0.87	1.53	10.05	0.44	2.06	60.17	814	101	20	215	34	226	64	20	99	61	40	175
NAR034	7.54	21.91	0.07	0.74	5.85	4.38	0.68	4.38	54.27	575	152	18	152	29	267	82	27	120	107	46	150
NAR037	4.81	14.39	0.09	0.62	7.32	14.21	1.69	2.59	54.12	615	63	16	170	27	320	48	17	70	76	28	122
NAR027	5.14	14.97	0.09	0.64	6.55	11.93	2.03	2.37	56.14	451	54	15	170	23	245	58	16	73	84	28	121
NAR036	4.79	13.80	0.08	0.64	6.41	13.37	2.19	1.77	56.82	468	47	16	207	25	248	65	16	78	73	28	117
NAR024	5.92	16.32	0.07	0.72	3.22	17.56	0.84	2.25	52.93	774	104	17	154	26	278	56	19	94	94	34	109
NAR021	5.22	16.36	0.06	0.68	6.84	10.34	0.38	2.60	57.36	736	66	15	153	21	200	69	17	72	67	28	105
NAR025	4.76	13.58	0.09	0.56	7.44	18.65	0.70	2.96	51.10	726	78	15	142	20	290	61	19	66	70	28	80
NAR039	5.62	16.56	0.08	0.71	6.96	10.76	0.49	4.58	54.09	632	103	18	162	24	254	55	20	84	88	41	111
NAR032	5.15	14.82	0.09	0.63	7.56	12.79	0.63	3.19	54.98	662	82	16	165	23	246	49	18	78	81	31	120
NAR022	5.29	14.28	0.09	0.66	5.62	12.08	0.67	3.56	57.60	570	99	16	213	26	246	79	17	76	83	29	128
NAR031	5.24	15.07	0.10	0.67	5.03	13.67	0.58	3.52	55.95	611	95	16	184	27	226	62	18	80	90	33	109
NAR040	5.07	14.63	0.09	0.64	5.42	13.97	0.54	3.81	55.67	545	94	17	188	25	210	78	18	74	85	33	124

Continuació Taula 8.33

NAR016	6.43	24.92	0.04	1.00	1.18	1.38	1.03	4.05	59.80	555	141	21	240	37	159	110	23	117	95	24	105
NAR015	9.76	19.72	0.15	1.26	2.55	1.97	1.84	3.23	59.37	453	76	15	151	20	352	51	17	71	78	26	112
NAR010	5.25	16.96	0.06	0.74	1.41	2.39	2.54	2.69	67.80	494	65	16	166	24	363	64	20	81	75	26	101
NAR012	6.36	18.01	0.09	0.92	1.65	2.26	2.70	3.13	64.74	407	45	14	145	24	335	62	18	75	67	22	106
NAR009	7.61	18.33	0.12	1.01	1.96	3.55	2.38	3.14	61.76	417	80	16	169	24	238	66	18	85	80	27	114
NAR014	7.16	17.56	0.10	0.93	1.92	5.54	2.46	3.06	61.14	445	51	16	154	22	302	54	18	75	73	25	108
NAR008	6.19	16.07	0.09	0.82	1.92	7.81	1.23	3.15	62.56	434	107	17	236	27	386	67	18	85	76	28	129
NAR011	5.39	15.78	0.15	0.67	1.79	9.49	1.66	2.61	62.33	403	66	14	154	21	379	70	16	69	65	22	103
NAR013	5.02	15.23	0.09	0.75	1.84	6.95	1.74	3.11	65.12	442	91	15	120	19	439	50	17	68	70	25	108
NAR042	7.01	18.38	0.09	0.87	2.69	5.82	0.94	2.41	61.65	314	102	20	202	29	210	81	22	111	120	49	218
NAR018	6.14	18.38	0.09	0.79	1.64	4.14	1.32	3.27	64.06	681	128	27	277	53	152	110	23	109	89	35	134
NAR017	7.63	18.64	0.09	0.99	1.98	2.67	1.83	3.17	62.83	555	150	20	301	41	127	105	23	99	93	13	156
NAR023	7.78	18.79	0.09	1.01	2.05	3.69	1.48	3.07	61.89	481	132	21	241	39	147	96	23	119	97	19	130
NAR029	7.02	17.62	0.11	0.96	1.92	3.67	1.76	3.10	63.66	526	131	20	268	42	150	115	21	108	101	15	139
NAR026	7.80	19.56	0.08	1.06	1.88	1.34	1.51	3.21	63.41	501	137	21	236	44	112	109	25	131	109	20	152
NAR035	7.23	18.65	0.09	0.95	1.71	1.72	1.34	3.43	64.71	593	131	22	245	41	145	103	24	100	97	23	140
NAR019	5.69	14.40	0.09	0.72	5.11	8.11	1.28	3.30	61.15	580	141	20	248	39	165	88	22	94	88	18	132
NAR020	5.10	15.22	0.09	0.70	5.69	11.29	1.44	2.70	57.62	576	139	23	218	43	167	103	25	109	101	18	96
NAR005	6.33	16.47	0.07	0.84	1.90	7.44	1.14	3.20	62.43	547	222	26	214	32	173	108	31	134	123	38	182
NAR038	6.81	16.24	0.11	0.89	2.18	11.56	0.99	2.86	58.22	562	117	20	243	36	207	84	19	86	84	21	117
NAR004	5.58	14.73	0.07	0.75	2.01	9.98	1.38	2.98	62.32	576	158	26	224	50	116	124	27	161	136	20	131
NAR033	7.57	18.39	0.09	0.93	2.04	6.51	1.15	3.02	60.13	545	143	21	224	42	145	93	24	101	103	21	126
NAR043	8.38	19.70	0.11	1.07	2.18	6.11	1.31	2.81	58.16	540	124	21	205	33	150	98	24	129	116	23	119
NAR003	5.44	14.70	0.07	0.81	1.38	9.93	2.55	2.91	62.08	460	117	20	238	37	158	85	21	110	96	20	98
NAR002	5.70	15.33	0.06	0.80	1.50	8.89	1.68	2.86	63.02	487	123	17	262	28	149	79	17	82	94	19	126
NAR030	6.13	17.77	0.08	0.82	1.61	6.79	1.25	3.11	62.29	552	140	19	264	38	142	97	21	84	88	25	130
NAR001	5.29	15.53	0.07	0.71	1.59	12.00	1.72	2.68	60.25	496	136	20	272	35	130	105	22	115	100	20	149
NAR028	6.56	19.27	0.06	0.87	1.85	7.88	1.32	3.06	58.98	504	127	19	214	30	149	87	23	94	85	16	111
NAR006	6.07	15.68	0.07	0.80	1.77	7.06	1.83	3.16	63.40	528	145	22	236	44	141	102	24	126	109	17	156
NAR007	6.22	16.00	0.07	0.81	2.04	8.11	2.19	3.06	61.33	512	144	19	255	34	155	113	21	87	83	15	149

Taula 8.34. Temperatura de Coccio Equivalent (TCE) estimada per a cada un dels 43 individus procedents de la ciutat portuària de Narbona a partir de les fases cristal·lines observades per DRX. cal: calcita; spi: espinel·la; gh: gehlenita; hm: hematite; ill: il·lita moscovita; kfs: feldspat potàssic; pg: plagiòclasi; px: piroxè; qtz: quars; anl: analcima.

Individus ceràmics	TCE	Fases cristal·lines	Tipus ceràmic
NAR013	950-1000/1050°C	qtz, kfs, pg, cal*, px, arg, py	Pascual 1
NAR023	850-900°C	qtz, ill, kfs, pg, cal, hm	Pascual 1
NAR017, NAR029	900-950°C	qtz, ill, kfs, pg, hm, spi	Pascual 1
NAR033, NAR043	>1000°C	qtz, kfs, pg, cal, hm, px, gh	Tarraconense 1D i Pascual 1
NAR002, NAR003, NAR007	850-900/950°C	qtz, ill, kfs, pg, cal, hm, gh	Tarraconense 1B, 1D i Pascual 1
NAR001, 006, 028, 030	>1000°C	qtz, ill, kfs, pg, cal, hm, px	Tarraconense 1E i Pascual 1
NAR022, 031, 032, 039, 040	850-950°C	qtz, ill, kfs, pg, cal, px, hm	Pascual 1
NAR027, NAR036, NAR037	>1000°C	qtz, ill, kfs, pg, cal, px, hm, anl	Pascual 1

Taula 8.37. Mitjana i desviació estàndard dels 6 conjunts identificats en els 34 individus amforals procedents de la ciutat portuària de *Lattara* (Lattes) a partir de la subcomposició normalitzada Fe₂O₃ (com a Fe total), Al₂O₃, MnO, TiO₂, MgO, CaO, Na₂O, K₂O, SiO₂, Ba, Rb, Nb, Zr, Y, Sr, Ce, Ga, V, Zn, Cu, Ni i Cr

Elements	LAT-1 (n=2)		LAT-2 (n=2)		LAT-3 (n=2)		LAT-4 (n=2)		LAT-5 (n=2)		LAT-6 (n=3)		LAT039 valors
	m	d	m	d	m	d	m	d	m	d	m	d	
Fe₂O₃ (%)	5.24	0.05	5.48	0.03	5.40	0.06	5.56	0.12	5.50	0.01	7.33	0.25	5.34
Al₂O₃ (%)	14.62	0.05	15.61	0.03	16.10	0.02	16.24	0.09	13.71	0.03	17.62	0.13	17.24
MnO (%)	0.10	0.01	0.07	0.00	0.07	0.00	0.08	0.01	0.08	0.01	0.12	0.01	0.06
TiO₂ (%)	0.67	0.01	0.66	0.00	0.70	0.00	0.72	0.02	0.71	0.00	0.97	0.02	0.75
MgO (%)	4.88	0.08	6.39	0.12	4.44	0.01	5.11	0.19	2.62	0.01	2.00	0.08	1.43
CaO (%)	11.64	0.32	13.28	0.04	7.12	0.23	11.33	0.54	14.94	0.35	3.82	0.52	2.43
Na₂O (%)	0.88	0.01	2.42	0.00	1.31	0.05	1.52	0.89	0.58	0.00	1.25	0.13	0.93
K₂O (%)	3.49	0.01	1.32	0.03	3.55	0.06	2.90	0.95	2.44	0.03	3.19	0.22	2.74
SiO₂ (%)	58.24	0.31	54.64	0.18	61.15	0.28	60.81	0.42	59.28	0.44	63.54	0.51	68.94
Ba (ppm)	638	11	379	14	610	0	630	24	396	3	583	36	367
Rb (ppm)	112	3	71	1	111	1	106	18	98	1	135	9	134
Nb (ppm)	17	1	16	0	16	0	17	0	18	1	21	0	17
Zr (ppm)	220	4	161	1	210	0	214	4	199	4	254	14	197
Y (ppm)	29	1	25	1	29	1	29	0	28	1	42	2	20
Sr (ppm)	948	76	302	2	207	7	243	1	315	11	149	6	129
Ce (ppm)	69	3	52	4	78	10	76	1	63	8	97	6	63
Ga (ppm)	15	0	15	0	16	0	16	2	12	0	20	1	20
V (ppm)	76	3	76	1	78	1	81	6	82	1	110	2	97
Zn (ppm)	79	1	76	1	76	1	77	6	92	1	112	2	72
Ni (ppm)	30	0	28	0	27	0	29	1	55	3	22	2	31
Cr (ppm)	81	4	83	2	88	7	81	8	120	12	87	5	172

Taula 8.38. Estimació de la TCE per als 34 individus amforals procedents de Lattes (Hérault) a partir de les fases cristal·lines observades per DRX. cal: calcita; spi: espinel·la; gh: gehlenita; hm: hematite; ill: il·lita moscovita; kfs: feldspat potàssic; pg: plagiòclasi; px: piroxè; qtz: quars; anl: analcima.

URCP		TCE	Fases cristal·lines	Tipus ceràmic
LAT-1: LAT013, 014		900-950°C	qtz, ill, kfs, pg, cal, px, hm, gh	Pascual 1
LAT-2: LAT016, 017		> 1000°C	qtz, kfs, pg, px, hm, anl	Pascual 1
LAT-3: LAT019, 022		> 1000°C	qtz, kfs, pg, cal, px, hm, gh, anl	Pascual 1
LAT-4	LAT012	950-1000°C	qtz, kfs, pg, cal, px, hm, gh	Pascual 1
	LAT009	> 1000°C	qtz, kfs, pg, cal, px, hm, gh, anl	
LAT-5: LAT002, 004		900-950°C	qtz, kfs, pg, cal, px, hm, gh	Oberaden 74 o <i>Gauloise</i> 1
LAT-6	LAT020	800-850°C	qtz, ill, kfs, pg, cal, hm, gh	Pascual 1
	LAT003, 028	900-950°C	qtz, ill, kfs, pg, hm, spi	Tarraconense 1D i Pascual 1
LAT018		> 1000°C	qtz, kfs, pg, cal, px, hm, gh, anl	Pascual 1
LAT029		> 1000°C	qtz, kfs, pg, cal, px, hm, gh, anl	Pascual 1
LAT011		900-950°C	qtz, ill, kfs, pg, cal, px, hm	Pascual 1
LAT005		900-950°C	qtz, kfs, pg, cal, px, hm, gh	Tarraconense 1E
LAT032		900-950°C	qtz, kfs, pg, cal, px, hm, gh	Pascual 1
LAT006		900-950°C	qtz, ill, kfs, pg, hm, spi	Pascual 1
LAT021		900-950°C	qtz, ill, kfs, pg, hm, spi	Pascual 1
LAT023		900-950°C	qtz, ill, kfs, pg, hm, spi	Pascual 1
LAT001		<800-850/900°C	qtz, ill, kfs, pg, cal, hm	Tarraconense 1A
LAT026		<800-850/900°C	qtz, ill, kfs, pg, cal, hm	Pascual 1
LAT008		900-950°C	qtz, ill, kfs, pg, cal, hm	Pascual 1
LAT015		900-950°C	qtz, ill, kfs, pg, cal, hm	Pascual 1
LAT027		900-950°C	qtz, ill, kfs, pg, cal, hm	Pascual 1
LAT030		900-950°C	qtz, ill, kfs, pg, cal, hm	Pascual 1
LAT007		> 1000°C	qtz, kfs, pg, cal, px, hm, gh	Pascual 1
LAT010		> 1000°C	qtz, kfs, pg, cal, px, hm, gh	Pascual 1
LAT025		> 1000°C	qtz, kfs, pg, cal, px, hm, gh	Pascual 1
LAT031		> 1000°C	qtz, kfs, pg, cal, px, hm, gh	Pascual 1
LAT032		> 1000°C	qtz, kfs, pg, cal, px, hm, gh	Pascual 1
LAT024		> 1000°C	qtz, kfs, pg, cal, px, hm, gh, anl	Pascual 1

Taula 8.39. Valors de resistència mecànica a la fractura (σ) (MPa) i tenacitat al desenvolupament a la fractura (K_{Ic}) (MPa m^{1/2}) dels individus procedents de Ca l'Arnau i Can Pau Ferrer (ACM) (Cabrera de Mar), del carrer Princesa i del merat de Santa Caterina (CSC) (Barcelona), del Barri Antic (CBL) (Sant Boi del Llobregat), del Vilarenc (ELV) (Calafell), de Barcelona (BCN), de Narbona (NAR) (Aude) i de Lattes (LAT) (Hérault). Indicació del % en CaO, la TCE, el % d'inclusions i el volum de fracció de les inclusions (μm), del tipus de contenidor i de la tonalitat de la pasta.

MOSTRES	(σ) (MPa)	K_{Ic} (MPa m ^{1/2})	Ca (%)	TCE	% INCLUSIONS	(μm) INCLUSIONS	TIPUS	COLOR
CSC085	32.64	-	4.78	800-850°C	10-20%	500/1000	Pascual 1	marró ataronjat
ACM059	32.27	4.2994	6.65	850-900°C	<10%	500/1000	Tarraconense 1D	vermell-ataronjat
SBL009	26.918	1.9907	8.77	900-950°C	10%	500/1000	Pascual 1	marró
SBL001	26.709	1.2017	11.65	>1000°C	10%	500/1000	Pascual 1	clar
ACM102	28.35	1.1321	5.59	800-850	10%	500/1000	Dressel 1 citerior	marró
CSC017	25.42	0.8814	11.87	> 1000°C	<10%	500/1000	Pascual 1	marró clar
LAT032	25.14	-	8.26	>1000°C	10%	500/1000	Pascual 1	vermell
CSC026	24.82	0.8181	10.39	950-1000/1050°C	10%	500/1000	Pascual 1	rosa clar
SBL032	23.802	-	7.980	$\geq 1000^\circ\text{C}$	<10%	315-500	Pascual 1	marró
ELV037	22.84	2.7541	10.9	800-850°C	<10%	315-500	Pascual 1	marró
CSC070	22.38	1.2148	9.2	>1000°C	10%	500/1000	Pascual 1	marró ataronjat
ACM086	22.17	-	3.8	800-850°C	10-20%	500/1000	Dressel 1 citerior	marró ataronjat
ACM063	22.03	0.8881	5.69	800-850°C	20%	500/1000	Tarraconense 1E	marró ataronjat
CSC059	22.00	1.4064	7.82	>1000°C	10%	500/1000	Pascual 1	marró
SBL015	21.903	-	9.670	$\geq 1000^\circ\text{C}$	<10%	315-500	Pascual 1	marró ataronjat
SBL024	21.897	-	6.820	950-1000°C	<10%	315-500	Pascual 1	marró ataronjat
ACM099	21.58	2.3300	3.96	900-950°C	10%	500/1000	Dressel 1 citerior	marró clar rosat
ACM080	21.31	-	6.23	800-850°C	10%	500/1000	Dressel 1 citerior	marró ataronjat
SBL022	21.267	1.6313	7.270	950-1000°C	10%	315-500	Pascual 1	marró ataronjat
CSC067	21.04	1.1053	7.75	>1000°C	<10%	500/1000	Pascual 1	marró clar rosat
SBL033	21.011	-	7.54	950-1000°C	10%	315-500	Pascual 1	marró
CSC065	20.96	0.8410	6.18	900-950°C	10%	500/1000	Pascual 1	marró ataronjat
ACM073	20.87	1.3917	6.15	850-900°C	10%	500/1000	Dressel 1 citerior	marró ataronjat

Continuació Taula 8.39

MOSTRES	(σ) (MPa)	K_{Ic} (MPa m ^{1/2})	Ca (%)	TCE	% INCLUSIONS	(μ m) INCLUSIONS	TIPUS	COLOR
CSC066	20.63	4.6263	6.83	>1000°C	10%	500/1000	Pascual 1	marró ataronjat
CSC054	20.22	1.0376	7.38	900-950°C	10%	500/1000	Pascual 1	marró
SBL011	20.072	0.9786	9.55	800-850°C	10%	500/1000	Pascual 1	marró clar rosat
CSC049	20.05	0.8137	8.37	850-950	10%	500/1000	Pascual 1	Rosa clar
CSC069	19.87	0.8360	8.81	>1000°C	10%	500/1000	Pascual 1	marró ataronjat
ACM081	19.38	1.5180	7.92	900-1000	10-20%	500/1000	Dressel 1 citerior	marró ataronjat
ACM061	18.19	-	2.93	850-900°C	10-20%	500/1000	Tarraconense 1E	marró ataronjat
CSC003	18.64	-	12.64	850-950°C	10-20%	500/1000	Pascual 1	Rosa clar
CSC008	17.56	-	10.45	950-1000/1050°C	10-20%	500/1000	Pascual 1	Rosa clar
ACM097	16.68	1.4290	3.75	900-950	10%	500/1000	Dressel 1 citerior	marró rosat
LAT012	16.49	1.0895	10.66	950-1000°C	10%	500/1000	Pascual 1	rosa
CSC058	16.39	-	7.18	>1000°C	10%	500/1000	Pascual 1	vermell
ELV030	16.06	-	12.5	850-950	<10%	500/1000	Tarraconense 3	marró
CSC020	15.60	1.9700	2.55	800-850°C	10-20%	500/1000	Pascual 1	vermel
LAT027	15.36	1.6361	5.59	900-950°C	10%	500/1000	Pascual 1	vermell
LAT011	14.65	-	11.45	900-950°C	10%	500/1000	Pascual 1	vermell
CSC091	14.53	1.5542	7.88	>1000°C	10%	500/1000	Pascual 1	marró
ACM062	14.40	-	5.19	900-950°C	<10%	500/1000	Tarraconense 1D	marró ataronjat
LAT030	14.29	1.5580	10.77	900-950°C	10%	500/1000	Pascual 1	rosa
ACM040	13.97	0.8910	5.73	900-950°C	<10%	500/1000	Dressel 1 citerior	vermell ataronjat
NAR032	13.10	0.9505	11.54	850-950°C	10%	500/1000	Pascual 1	rosa-ataronjat
ACM071	12.57	-	8.31	950-1000	<10%	500/1000	Pascual 1	marró rosat
ACM072	11.88	0.5043	12	1000-1050°C	10%	>1000%	Pascual 1	clar
CSC055	11.65	1.6956	6.48	800/850-900°C	10%	500/1000	Pascual 1	vermel
ACM045	11.60	0.6970	6.65	800-850	<10%	500/1000	Dressel 1 citerior	vermell ataronjat
NAR026	11.37	1.1480	1.32	850-950°C	10%	500/1000	Pascual 1	vermell
ELV038	11.29	0.8487	8.18	850-950°C	<10%	315-500	Pascual 1	marró
ELV036	11.24	1.3270	8.02	800-850/900°C	<10%	315-500	Pascual 1	marró

Continuació Taula 8.39

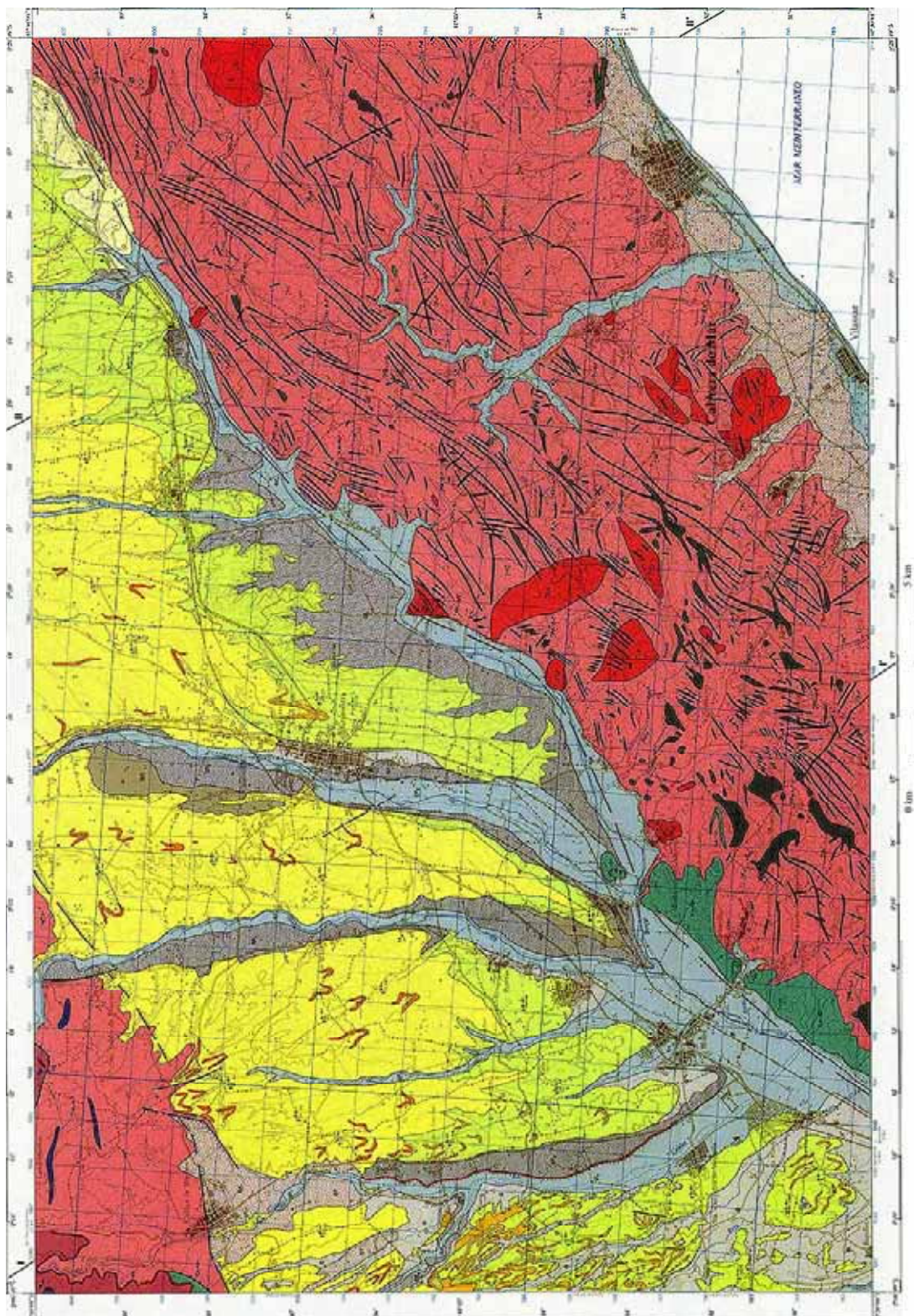
MOSTRES	(σ) (MPa)	K_{Ic} (MPa m^{1/2})	Ca (%)	TCE	% INCLUSIONS	(μm) INCLUSIONS	TIPUS	COLOR
ELV029	10.37	1.1815	13.98	>1000°C	<10%	315-500	Tarraconense 3	marró
ELV028	10.10	0.7860	23.52	800-850°C	<10%	315-500	Tarraconense 3	marró
BCN092	10.09	-	13	950-1000°C	10%	500/1000	Pascual 1	vermell
NAR033	9.71	1.3013	6.27	>1000°C	10-20%	500/1000	Pascual 1	vermell
LAT007	9.55	1.4184	7.21	> 1000°C	10-20%	500/1000	Pascual 1	vermell
NAR028	9.43	1.1347	7.6	>1000°C	10%	500/1000	Pascual 1	granat
BCN106	8.967	-	11.98	>1000°C	10%	500/1000	Pascual 1	rosat
CSC060	8.81	1.0997	7.83	>1000°C	<10%	500/1000	Pascual 1	vermell
NAR017	8.13	0.8942	2.65	900-950°C	10-20%	500/1000	Pascual 1	vermell
NAR020	7.64	1.5906	10.5	800-850°C	10-20%	500/1000	Pascual 1	vermell
NAR025	7.60	0.8237	16.01	>1000°C	10-20%	500/1000	Pascual 1	clar
NAR023	7.53	-	3.57	850-900°C	10-20%	500/1000	Pascual 1	vermell
CSC023	6.09	0.2761	10.88	>1000°C	10-20%	500/1000	Pascual 1	rosa clar
CSC022	5.62	-	10.35	>1000°C	10-20%	500/1000	Pascual 1	rosa clar
CSC001	6.59	-	13.57	>1000°C	10-20%	500/1000	Dressel 1 citerior	clar
NAR036	6.46	0.6375	12.34	>1000°C	10-20%	500/1000	Pascual 1	clar
CSC024	5.46	0.3235	11.63	>1000°C	10-20%	500/1000	Pascual 1	clar
CSC025	4.67	-	11.9	>1000°C	10-20%	500/1000	Pascual 1	rosa clar
CSC037	4.18	-	11.97	>1000°C	10-20%	500/1000	Pascual 1	rosa clar
LAT019	1.20	-	6.8	> 1000°C	10-20%	500/1000	Pascual 1	rosa

Taula 10.1. Taula indicant la cronologia de les diverses produccions identificades als centres de producció amforal i les tipologies a que responen aquestes produccions. Indicació en % del contingut en CaO per a cada producció.

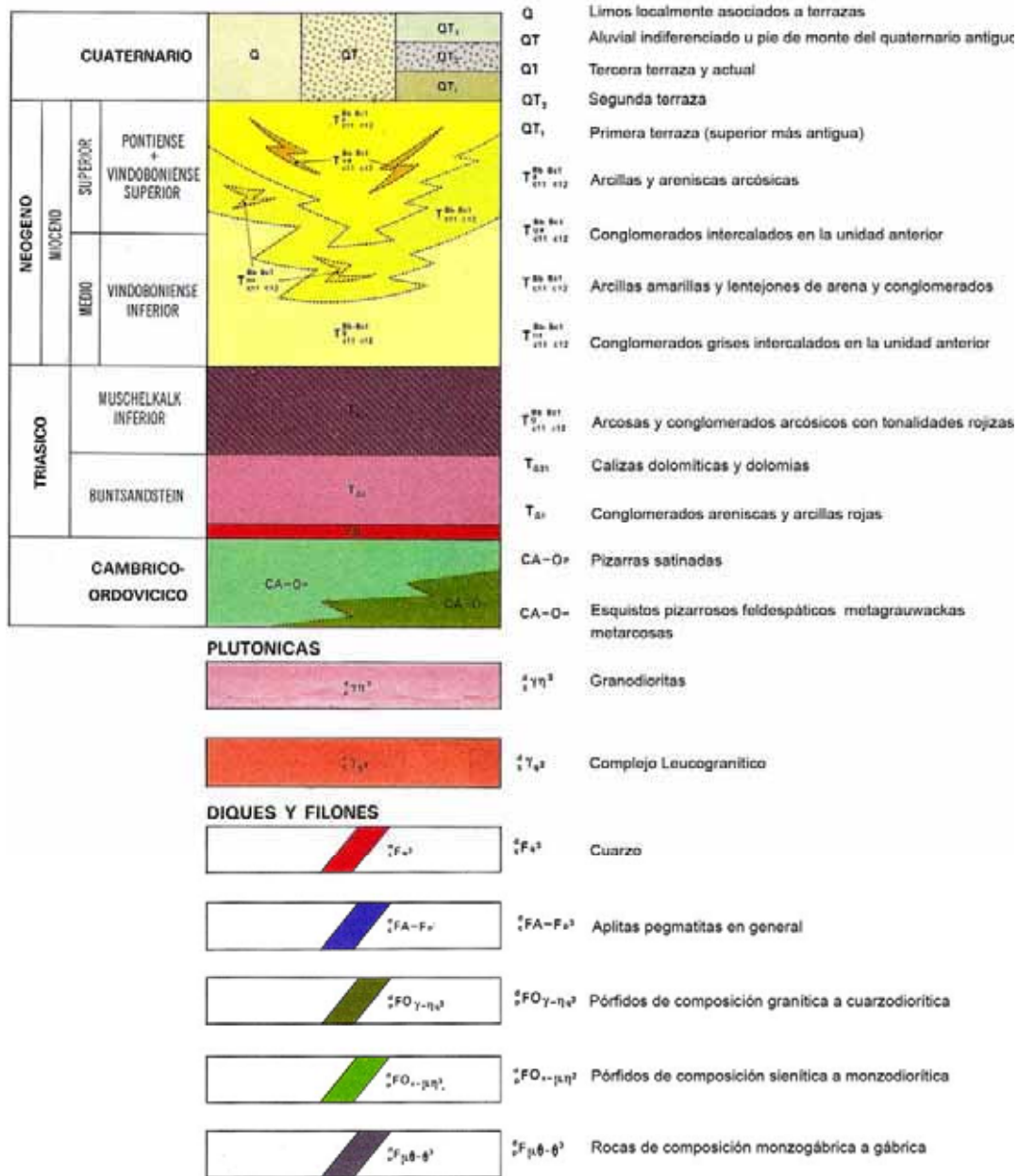
Jaciment	Cronologia	CaO %	Dressel 1 cit.	Tarrac. 1C	Tarrac. 1D	Tarrac. 1E	Tarrac. 3	Pascual 1	Base Plana
Can Pau Ferrer	Segon ¼ s. I aC	4.08	A1						
	Segon ¼ s. I aC	6.26	A2						
Ca l'Arnau	Mitjans s. I aC- 40 aC	5.83	B1	B1	B1				
	Mitjans s. I aC- 40 aC	6.34			B2				
	Mitjans s. I aC- 20 dC	8.86	B3		B3			B3	
	40/30 aC – 20 dC	3.63	C1			C1		C1	
	Final s. I aC – 20 dC	11.11						C2	
	Final s. I aC – 20 dC	13.73						C3	
El Vilarenc	30/20 aC	15.44	ELV-1		ELV-1		ELV-1		ELV-1
	30/20 aC	16.80			ELV-3			ELV-3	
	30/20 aC	15.17			ELV-4				ELV-4
	30/10 aC	9.71	ELV-2					ELV-2	
	30/10 aC	12.75						ELV-5	
Princesa	Època d'August	8.33						PR	
Santa Caterina	Època d'August	2.76						SC-1	
		2.97						SCM-1	
		16.78						SC-2	
		12.14						SC-3	
		15.01						SC-4	
		9.74						SCM-2	
Barri Antic	20-30 dC	10.11						SBL-2	
	Mitjans del s. I dC	9.08						SBL-3 (<i>I. Aniceti</i>)	
	15/20-50 dC	12.08						SBL004 (<i>QVA</i>)	

ANNEX 3

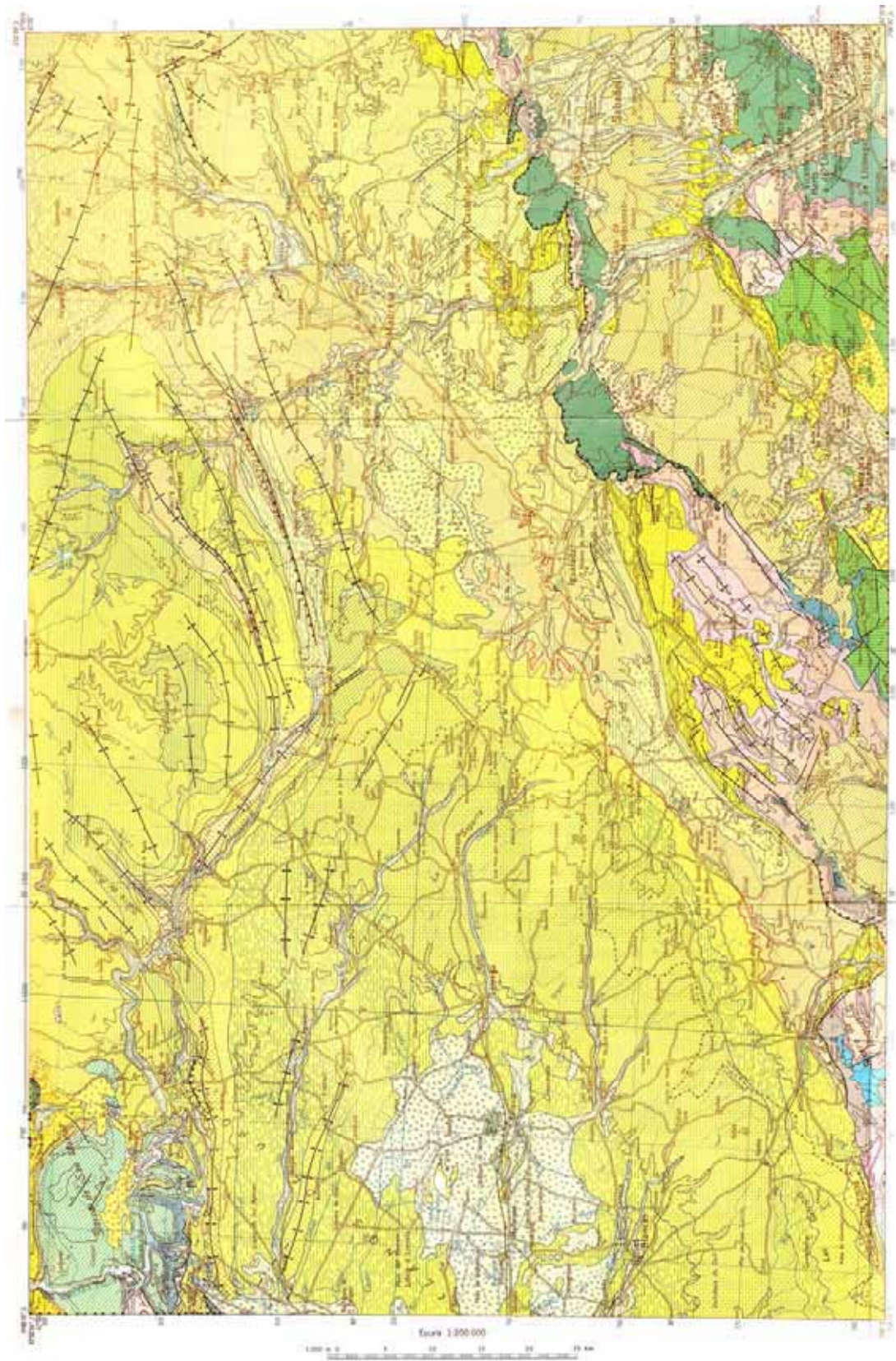
LÀMINES



Làmina 6.1. Mapa geològic de mapa geològic del territori al voltant de Mataró (ITGME, 1993, 393)



Làmina 6.1. Llegendra corresponent al mapa geològic de la vall del territori al voltant de Mataró (ITGME, 1993, 393)



Làmina 6.2. Mapa geològic de la vall del riu Llobregat (extret de IGME, 1980, 34)

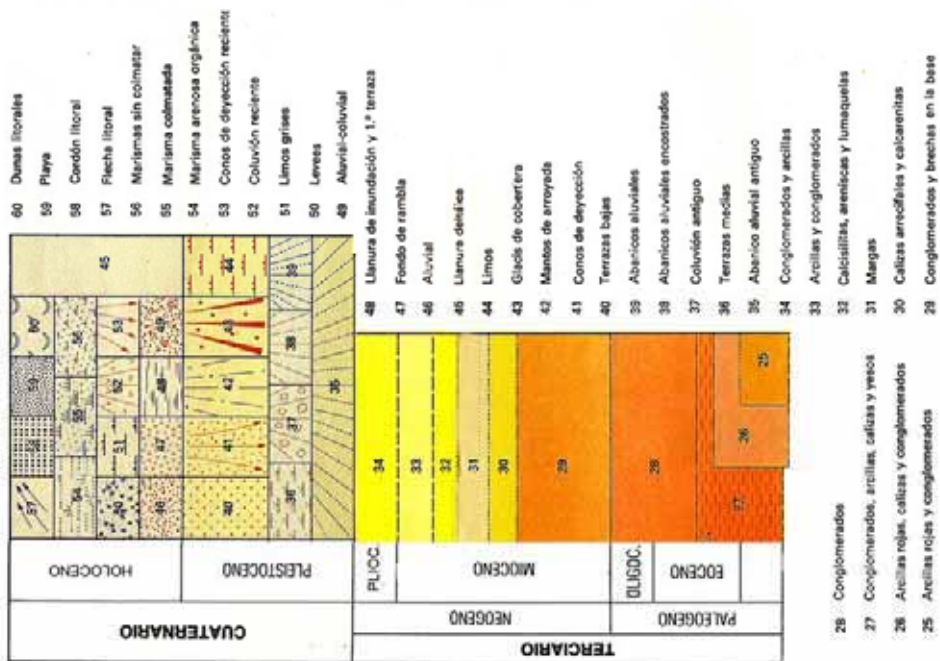
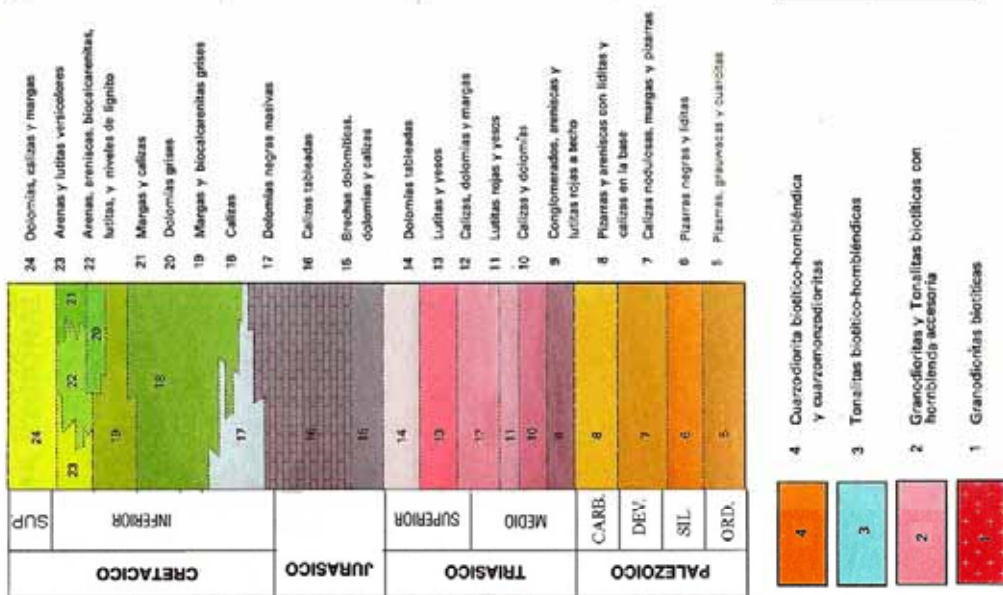
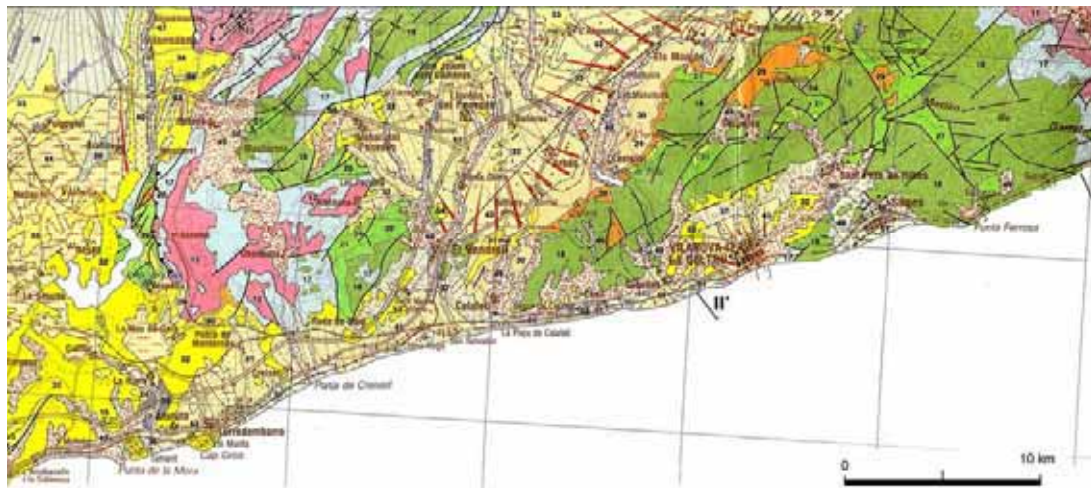


Lámina 6.3. Mapa geológico de la vall del Penedès (extret de IGME, 1987, 42)



Làmina 7.1. Forn de coccio d'àmfores de Ca l'Arnau a Cabrera de Mar (Maresme) (A. Martín)



Làmina 7.2. Fotografia del forn del carrer Princesa de Barcelona (Casas i Martínez, 2006)



Làmina 7. 3. Fotografia del dipòsit de decantació d'argiles i de l'enterrament infantil sobre l'estructura del forn del carrer Princesa (Casas i Martínez, 2006)



Làmina 7. 4. Material ceràmic del taller del carrer Princesa: Amfores Pascual 1, urna, gerres, pondera i teula



Lámina 7.5. Lit d'amfores, formant un dispositius de drenatge, recuperades per l'associació ANTEAS a Malard (Narbonna) (Falguern, 1993)



Lámina 7.6. Lit d'amfores, formant un dispositius de drenatge, recuperades per l'INRAP a Malard (Narbonna) (Chapon et al., 2006)



Lámina 7.7. Àmfores Pascual I de Malard I exposades als antics horrea de Narbona

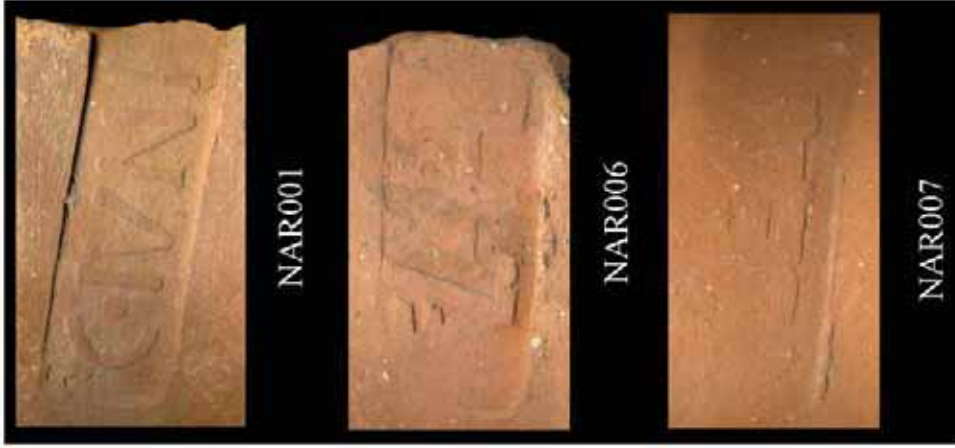


Lámina 7.8. Marques analitzades sobre àmfores de Port-La-Nautique (Narbona)

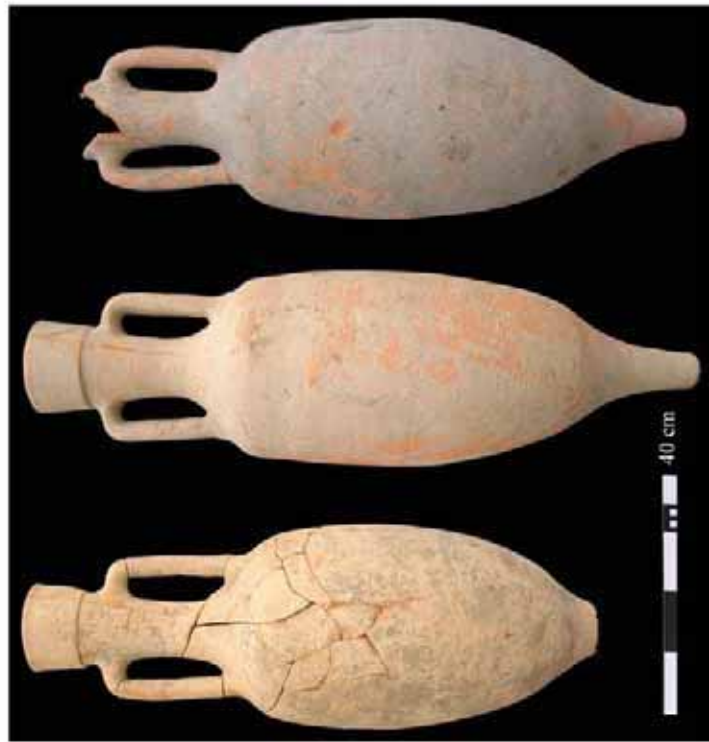


Lámina 7.9. Àmfores Pascual I de Malard I (Ph. Chapon)

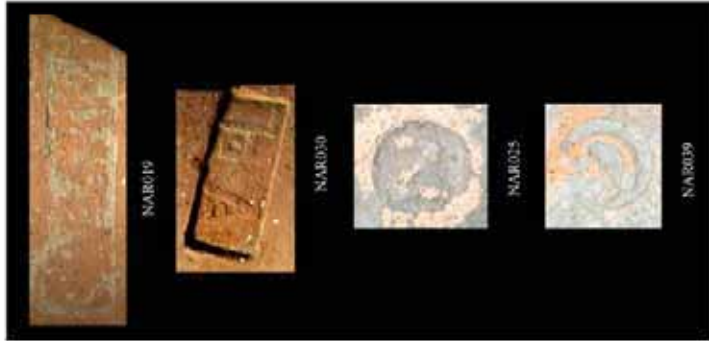
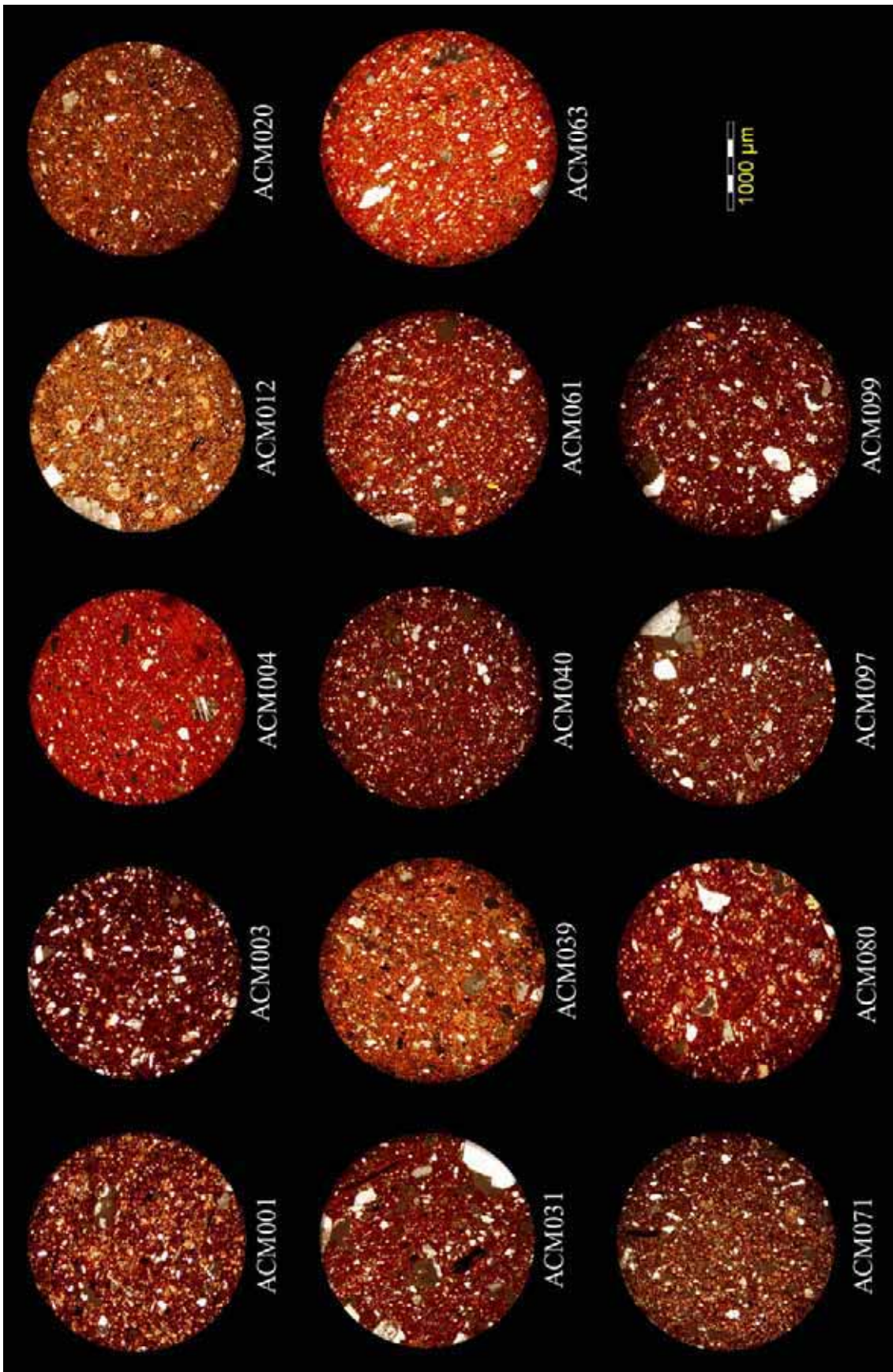


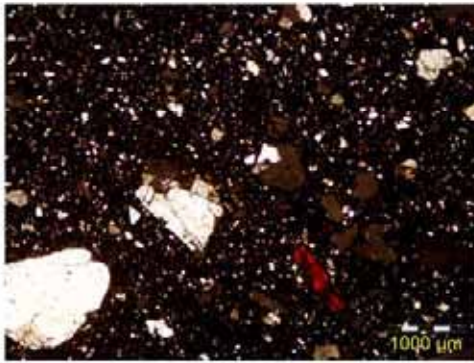
Lámina 7.10. Marques analitzades sobre àmfores de Malard (Narbona)



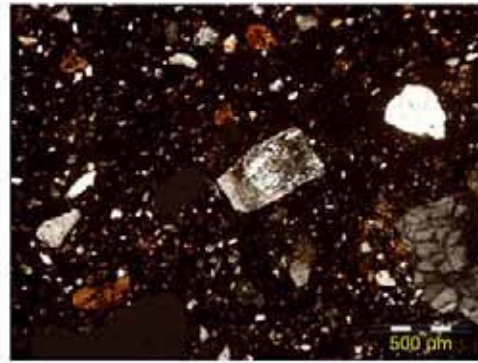
Lámina 7.11. Àmfora Pascual I procedent del sector 5/7 de Lattara (M. Py)



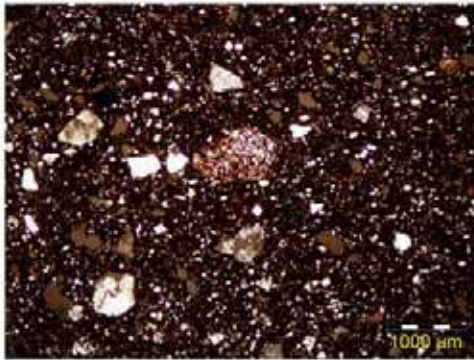
Làmina 8.1. Microfotografies de la matriu ceràmica dels individus amforals procedents de Ca l'Arnau (ACM001 a ACM071) i Can Pau Ferrer (ACM080, ACM097 i ACM099). Observació petrogràfica per làmina prima a 40X, nc, condensada



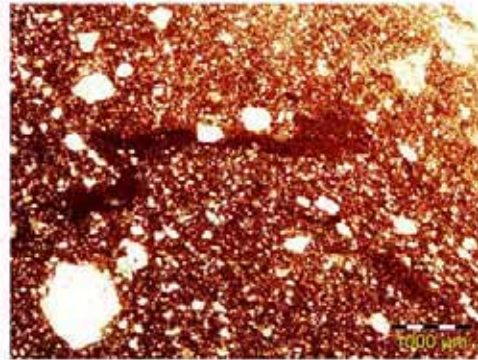
a: ACM097 40X nc



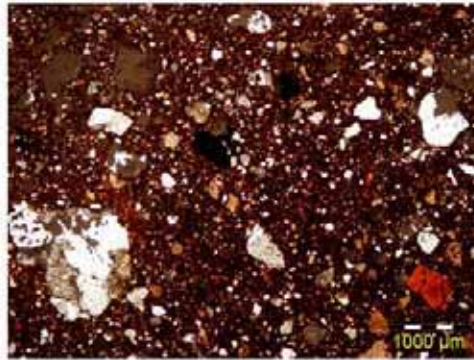
b: ACM099 40X nc



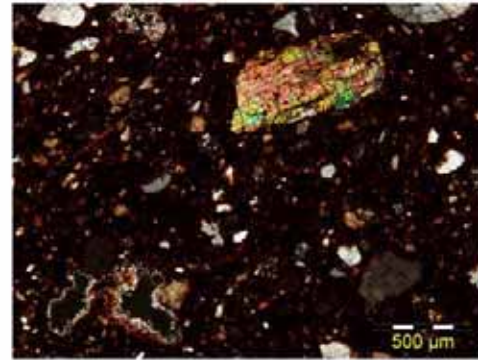
c: ACM097 40X nc



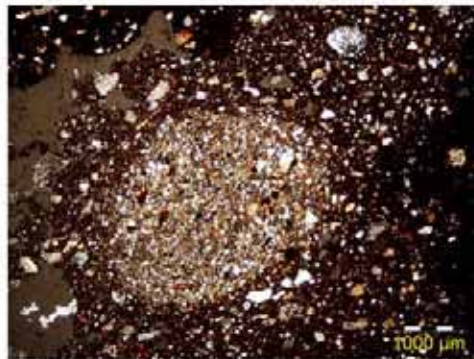
d: ACM099 40X np



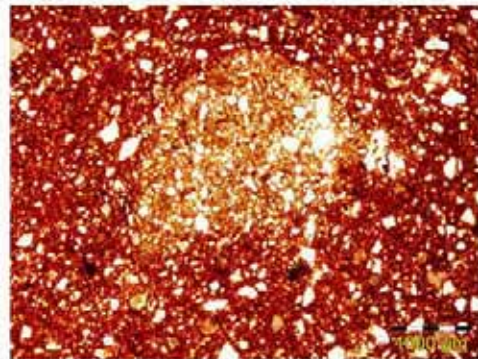
e: ACM080 40X nc



f: ACM080 100X nc

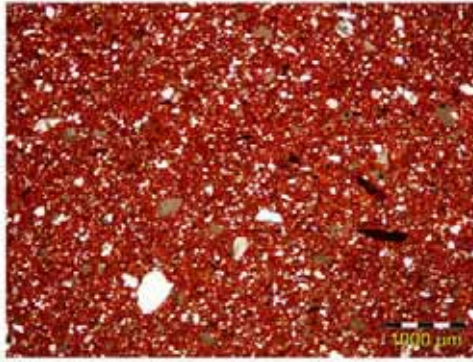


g: ACM080 40X nc



h: ACM080 40X np

Làmina 8.2. Microfotografies per làmina prima dels individus de les fàbriques petrogràfiques FP-ACM-A1 (a-d) i FP-ACM-A2 (e-h) de les àmfores Dressel 1 citerior de Can Pau Ferrer (Cabrera de Mar)



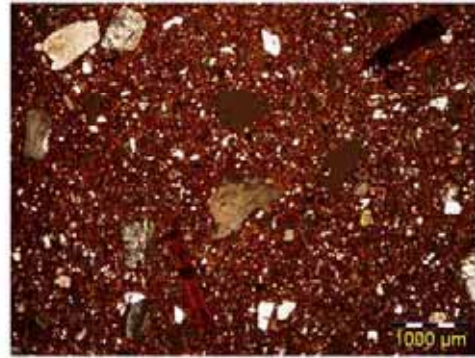
a: ACM004 40X ne



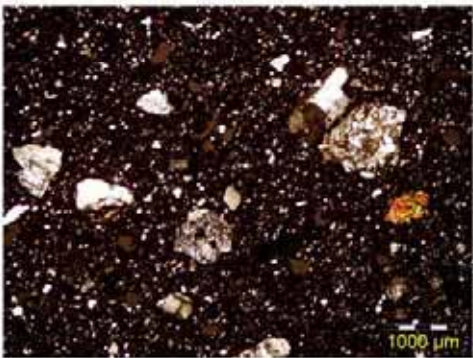
b: ACM004 40X ne



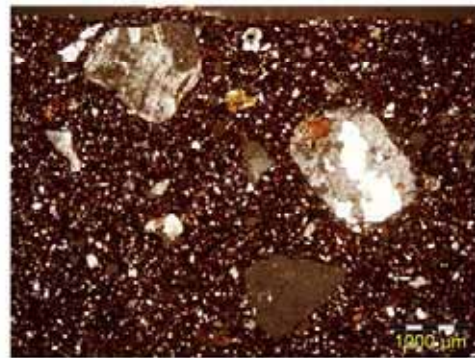
c: ACM063 40X ne



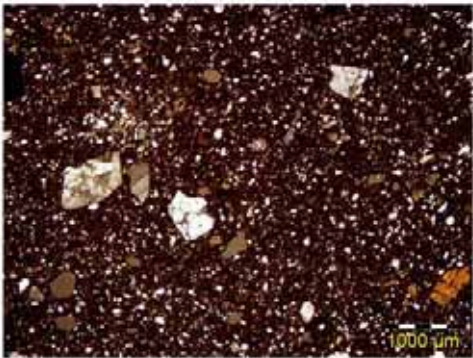
d: ACM039 40X ne



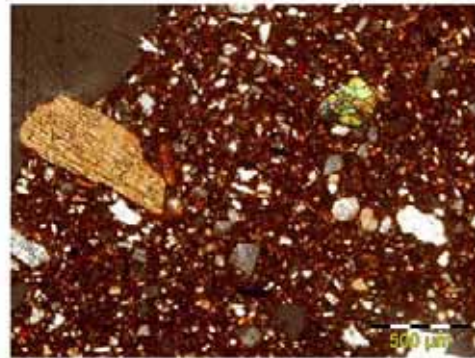
e: ACM040 40X ne



f: ACM061 40X ne

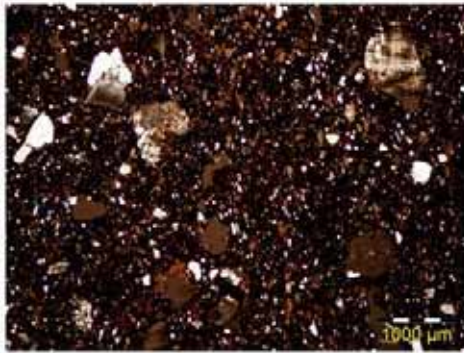


g: ACM040 40X ne

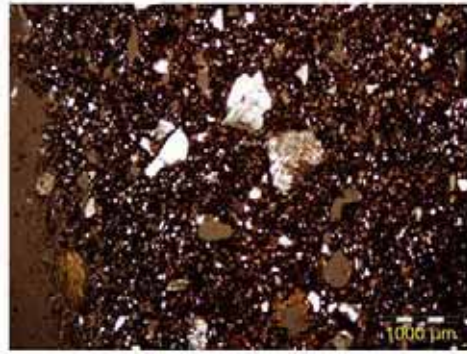


h: ACM061 100X ne

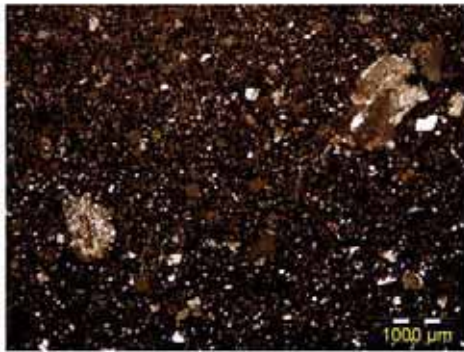
Làmina 8.3. Microfotografies per làmina prima dels individus de la fàbrica petrogràfica FP-ACM-1, poc calcària i cuita a baixa TCE de Ca l'Arnau (Cabrera de Mar)



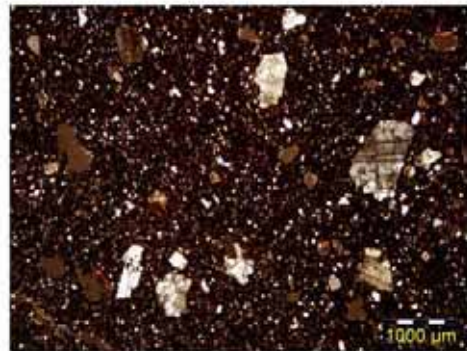
a: ACM001 40X ne



b: ACM001 40X ne

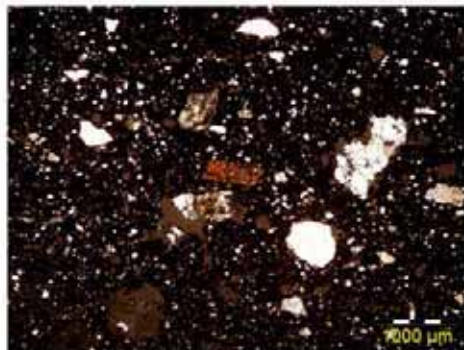


c: ACM0071 40X ne



d: ACM020 40X ne

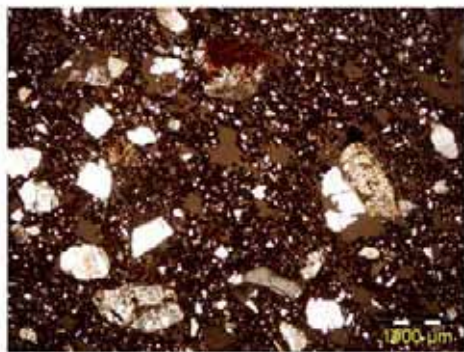
Làmina 8.4. Microfotografies per làmina prima dels individus de la fàbrica petrogràfica FP-ACM-2, de pasta calcària de Ca l'Arнау



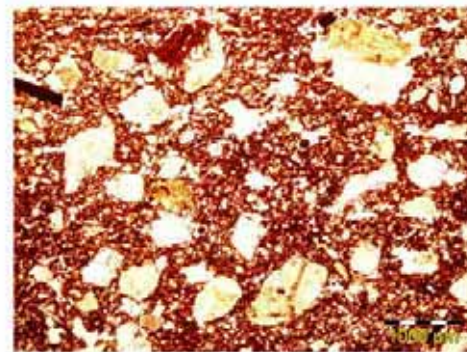
a: ACM003 40X ne



b: ACM003 40X ne



c: ACM031 40X ne

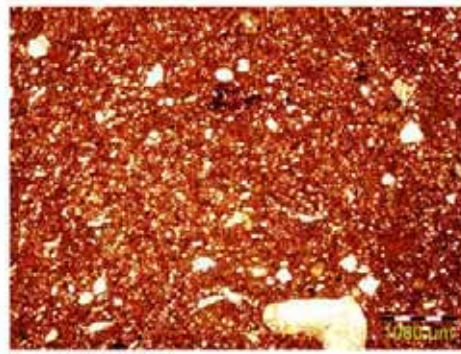


d: ACM031 40X np

Làmina 8.5. Microfotografies per làmina prima dels individus de la fàbrica petrogràfica FP-ACM-3, de pasta calcària de Ca l'Arнау



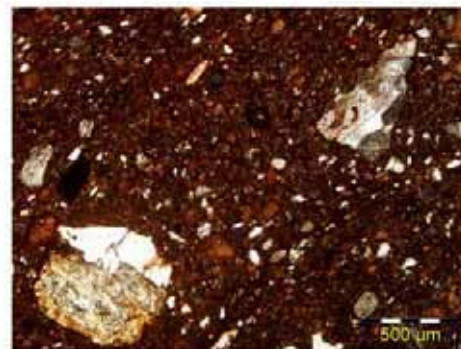
a: ACM012 40X nc



b: ACM012 40X np

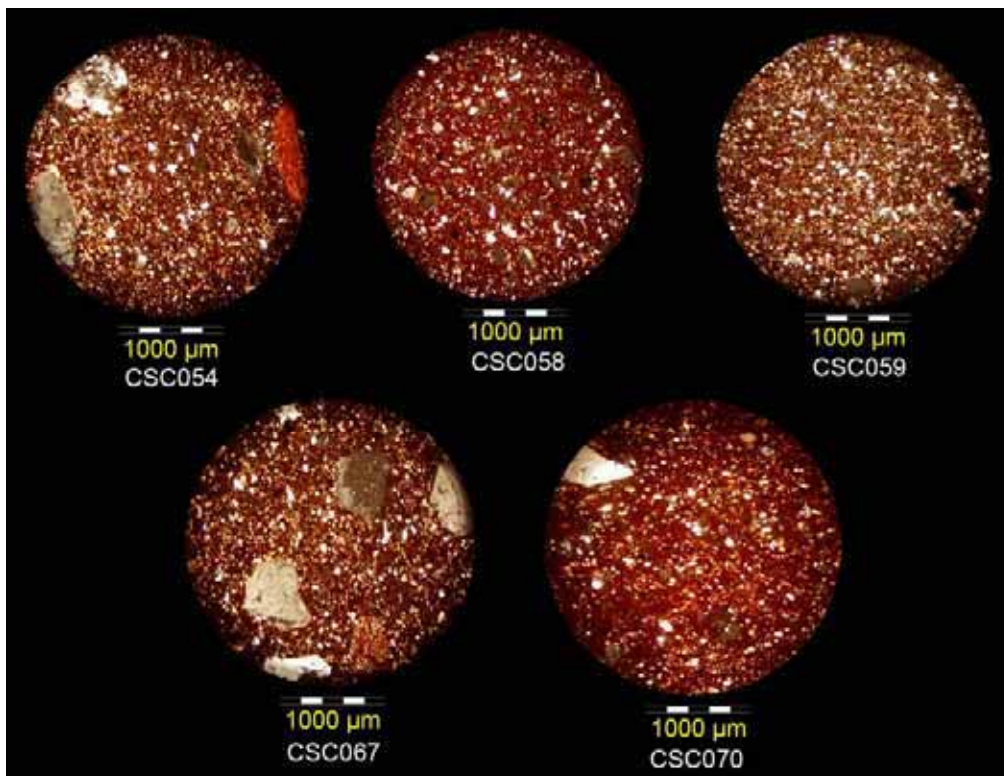


c: ACM012 40X nc

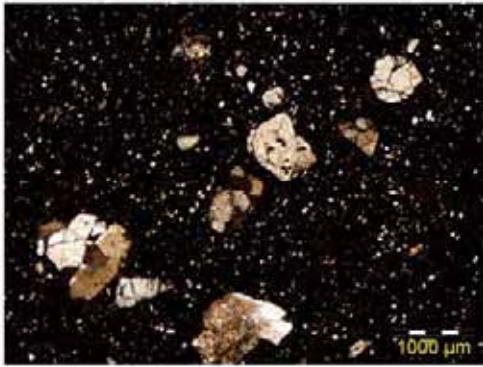


d: ACM012 100X nc

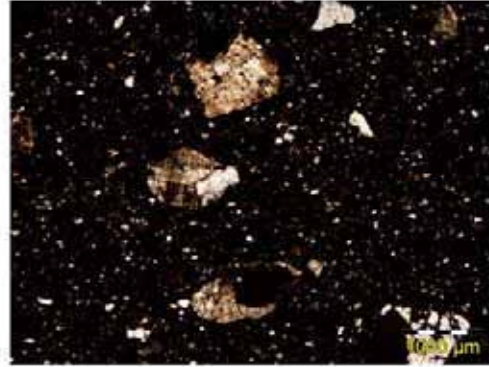
Làmina 8.6. Microfotografies per làmina prima dels individus de la fàbrica petrogràfica de pasta calcària FP-ACM-4 de Ca l'Arnau



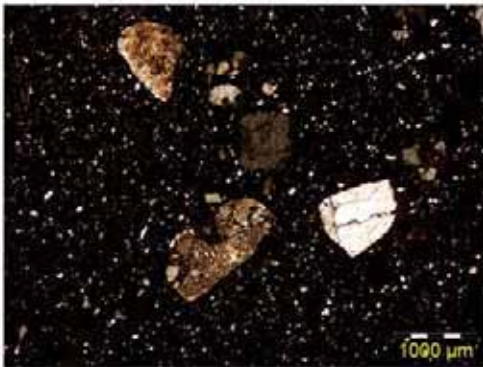
Làmina 8.7. Microfotografies per làmina prima de les matrius ceràmiques de les àmfores Pascual 1 del carrer Princesa (Barcelona)



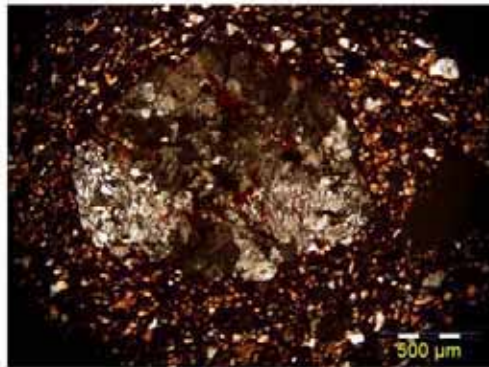
a: CSC059 40X ne



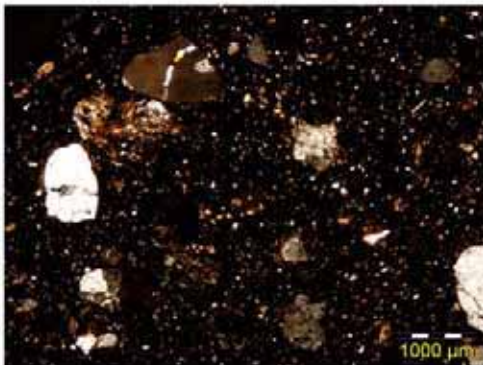
b: CSC067 40X ne



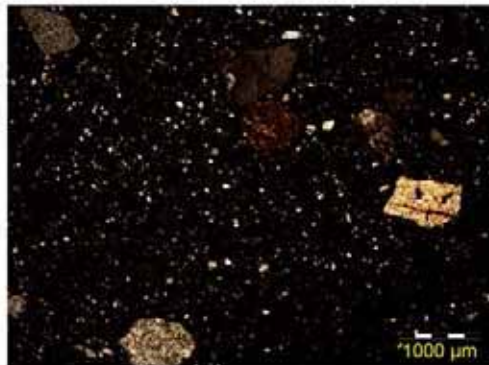
c: CSC059 40X ne



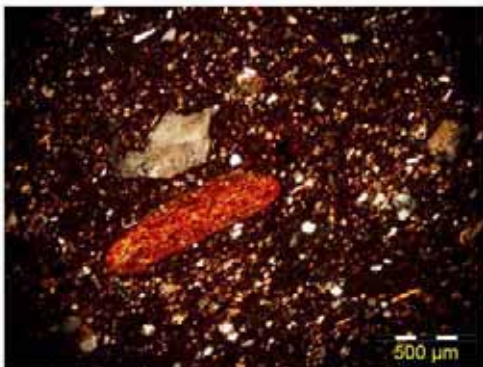
d: CSC067 100X ne



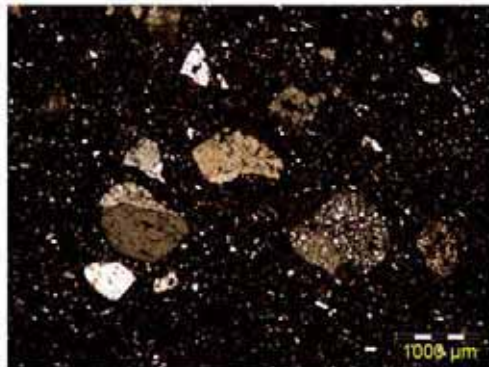
e: CSC070 40X ne



f: CSC054 40X ne

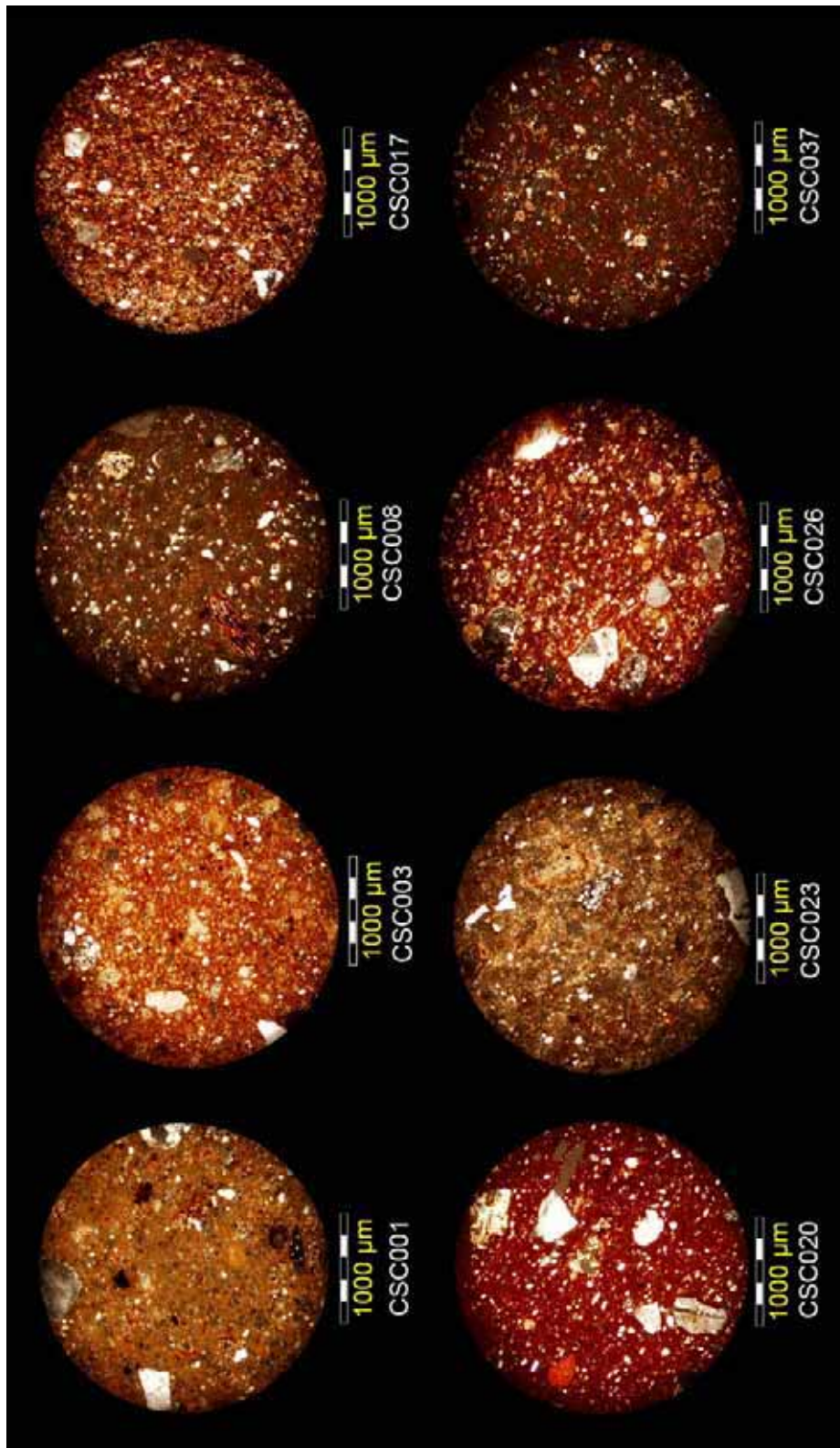


g: CSC054 100X ne

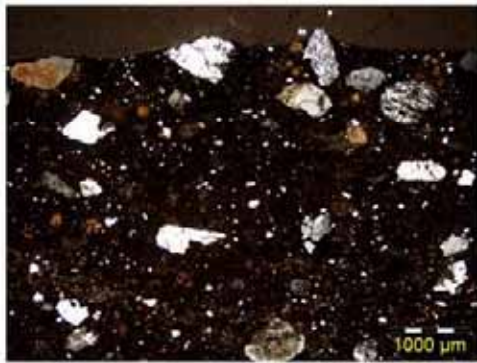


h: CSC067 40X ne

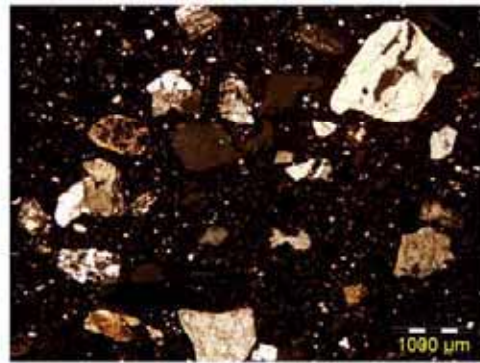
Làmina 8.8. Microfotografies per làmina prima dels individus de la fàbrica petrogràfica FP-PRINC-A



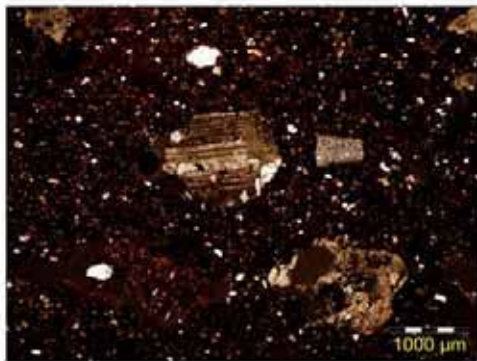
Làmina 8.9. Microfotografies de la matriu ceràmica dels individus amforals procedents del mercat de Santa Caterina. Observació petrogràfica per làmina prima a 40X, nc, condensada



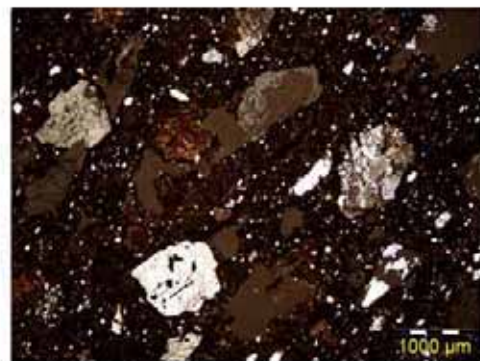
a: CSC001 40X nc



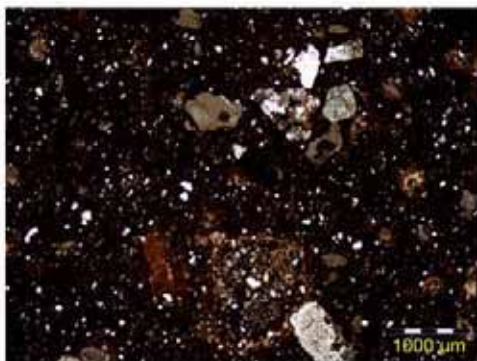
b: CSC017 40X nc



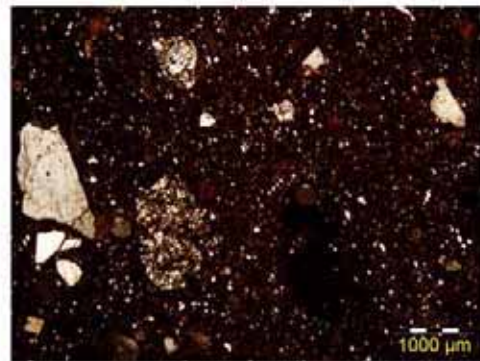
c: CSC017 40X nc



d: CSC023 40X cn



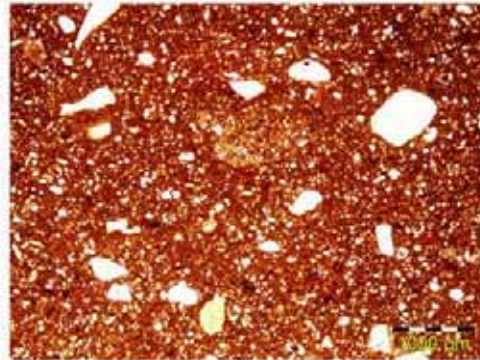
e: CSC037 40X nc



f: CSC026 40X nc

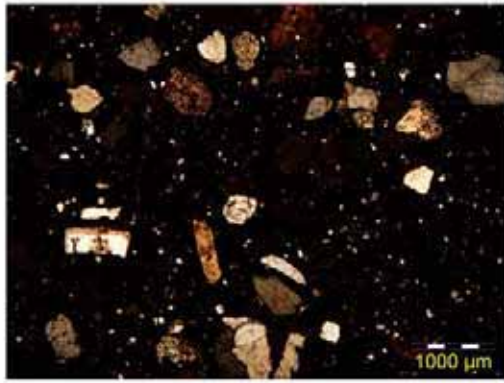


g: CSC008 40X nc

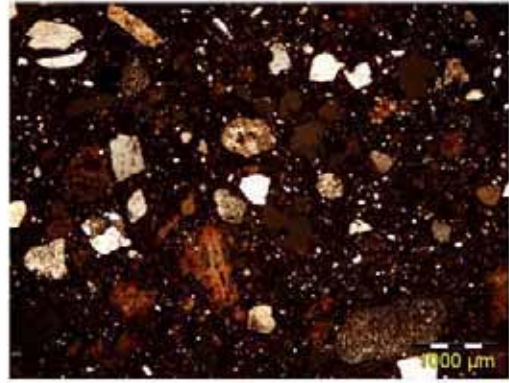


h: CSC008 40X np

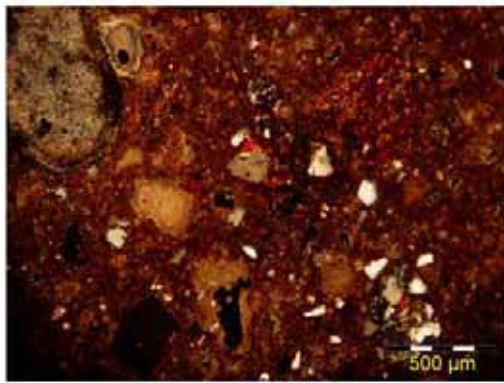
Làmina 8.10. Microfotografies per làmina prima dels individus de la fàbrica petrogràfica FP-CSC-A1



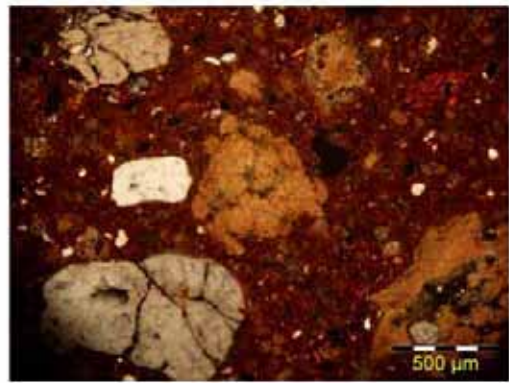
a: CSC003 40X nc



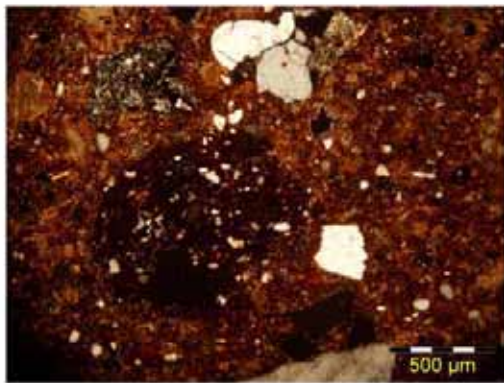
b: CSC003 40X nc



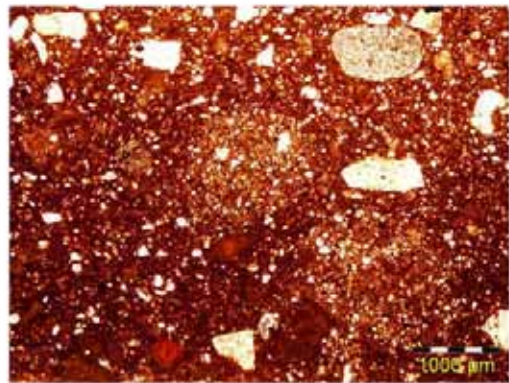
c: CSC003 100X nc



d: CSC003 100X nc

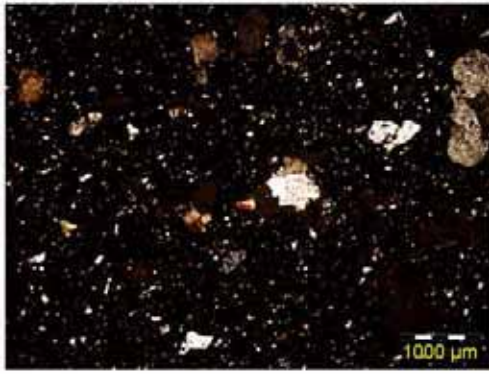


e: CSC003 100X nc



f: CSC003 40X np

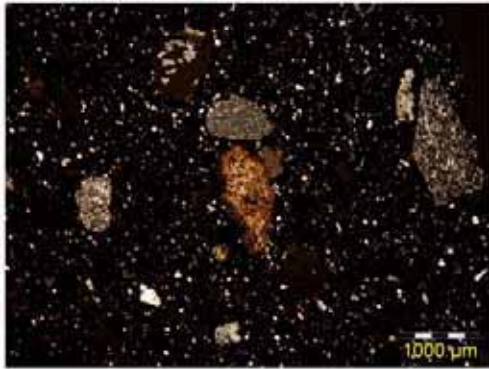
Làmina 8.11. Microfotografies per làmina prima dels individus de la fàbrica petrogràfica FP-CSC-A2



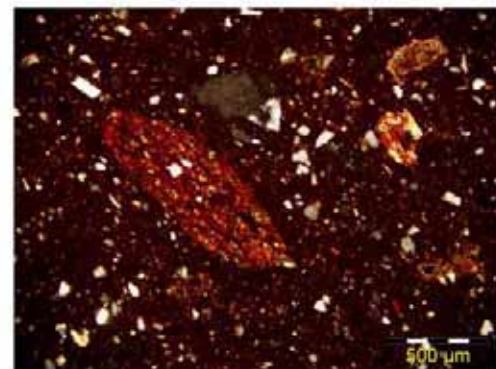
a: CSC020 40X nc



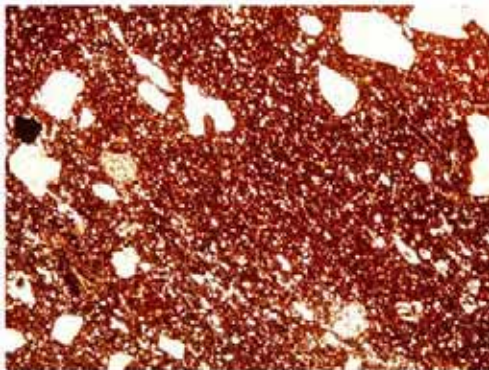
b: CSC020 40X nc



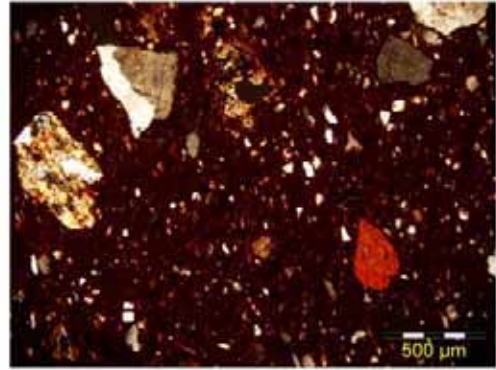
c: CSC020 40X nc



d: CSC020 100X nc



e: CSC020 40X np

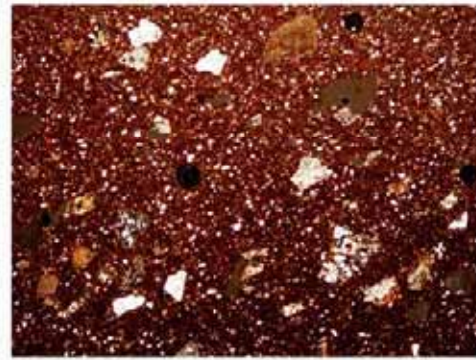


f: CSC020 100X nc

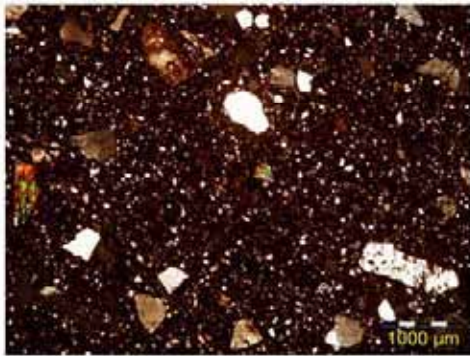
Làmina 8.12. Microfotografies per làmina prima dels individus de la fàbrica petrogràfica FP-CSC-B



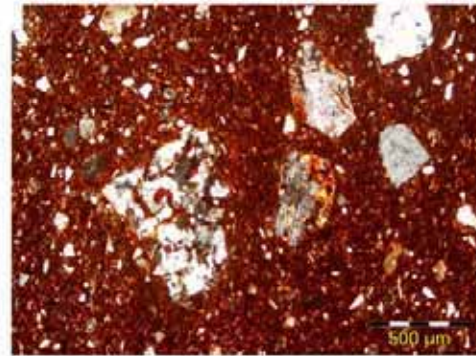
a: SBL006 40X nc



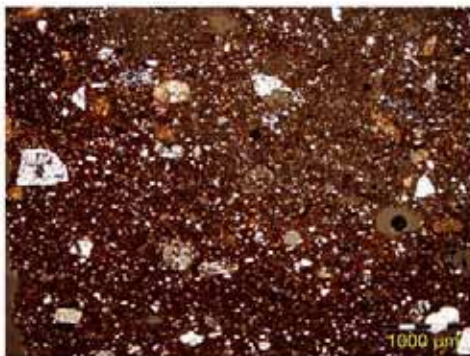
b: SBL028 40X nc



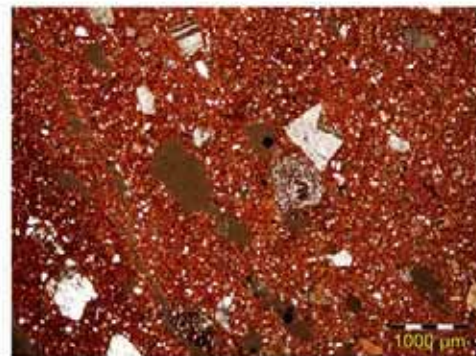
c: SBL006 40X nc



d: SBL028 100X nc



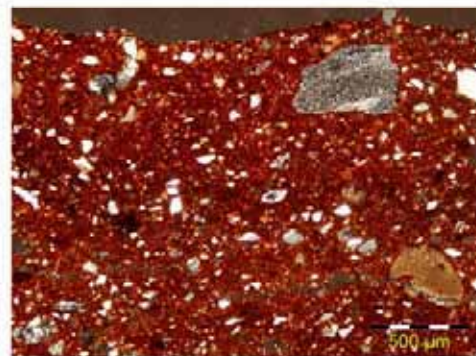
e: SBL006 40X nc



f: SBL028 40X nc

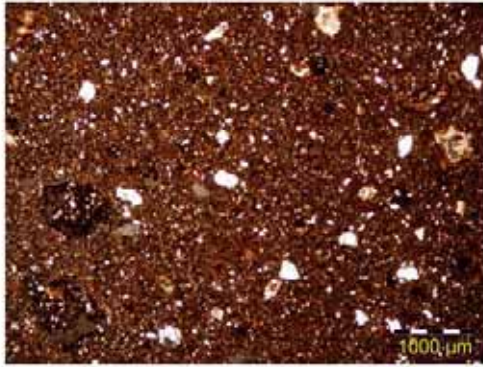


f: SBL006 40X np

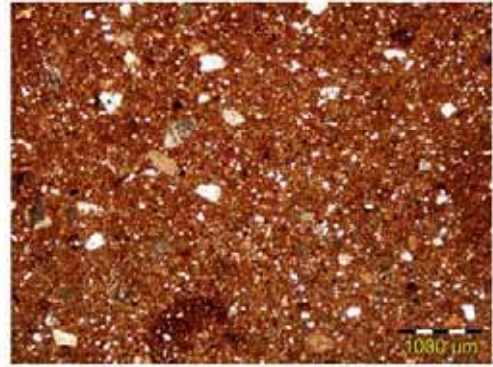


g: SBL028 100X nc

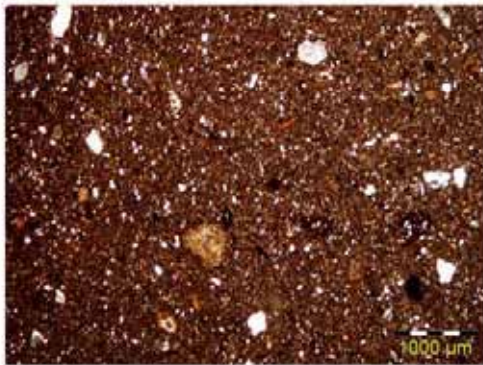
Làmina 8.13. Microfotografies per làmina prima dels individus de la fàbrica petrogràfica F-SBL-A



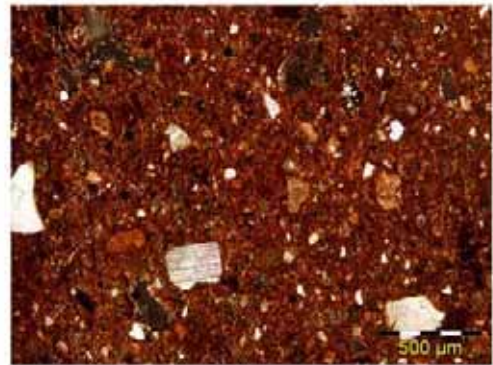
a: ELV019 40X nc



b: ELV007 40X nc



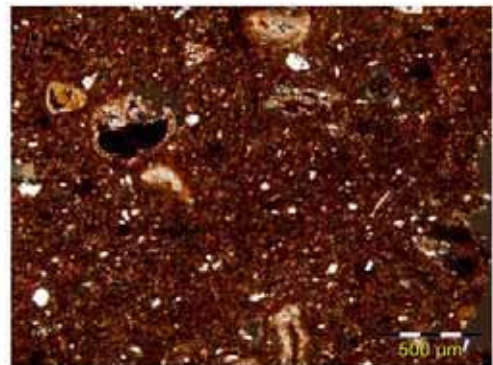
c: ELV019 40X nc



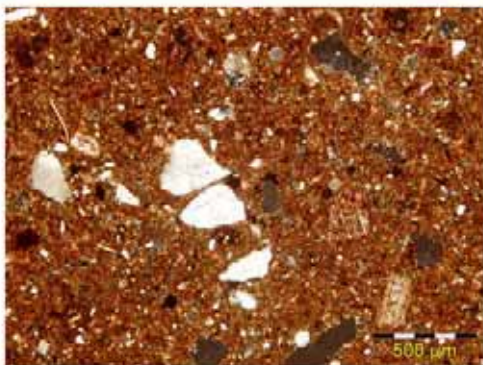
d: ELV007 100X nc



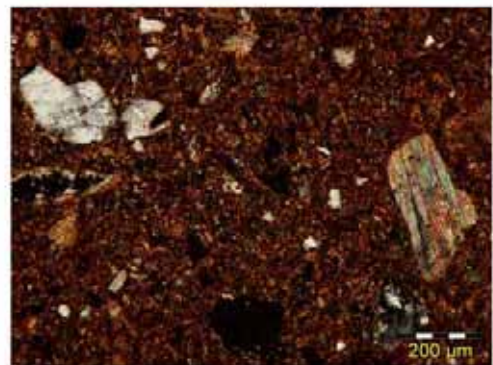
e: ELV007 100X nc



f: ELV019 100X nc



g: ELV007 100X nc



h: ELV007 200X nc

Làmina 8.14. Microfotografies per làmina prima dels individus de la fàbrica petrogràfica F-ELV-A